

新型転換炉実証炉核設計コードの計算精度解析(III)

—SUS制御棒反応度、重水中ボロン反応度及びキセノン反応度—

1989年8月

動力炉・核燃料開発事業団
大洗工学センター

複製又はこの資料の入手については、下記にお問い合わせください。

〒311-13 茨城県東茨城郡大洗町成田町4002

動力炉・核燃料開発事業団

大洗工学センター システム開発推進部・技術管理室

Enquires about copyright and reproduction should be addressed to: Technology Management Section O-arai Engineering Center, Power Reactor and Nuclear Fuel Development Corporation 4002 Narita-cho, O-arai-machi, Higashi-Ibaraki, Ibaraki-ken, 311-13, Japan

動力炉・核燃料開発事業団 (Power Reactor and Nuclear Fuel Development Corporation)

1989年8月

新型転換炉実証炉核設計コードの計算精度解析（Ⅲ）

— S U S 制御棒反応度、重水中ボロン反応度及びキセノン反応度 —

川太徳夫*、若林利男*

要　旨

D C A 実験データ、「ふげん」起動試験及び運転実績データに基づいてW I M S - A T R コードによるS U S 制御棒反応度価値、重水中ボロン反応度及びキセノン反応度の計算精度解析を実施した。

本検討で得られた主要な結果を以下に示す。

- (1) W I M S - A T R と L A Y M O N - 2 A コードによる D C A P u - U 2 領域炉心のチャンネル出力分布の計算精度の解析結果より、チャンネル出力分布のR M S は 4.8%，径方向ピーキング係数の相対誤差は +2.1% である。
- (2) W I M S - A T R と L A Y M O N - 2 A コードによる D C A 炉心の S U S 制御棒反応度の計算精度の解析結果より、S U S 制御棒反応度の計算誤差は -5.9 % であり、計算誤差である ±1% (C / E - 1) 以内である。
- (3) W I M S - A T R と L A Y M O N - 2 A コードによる “ふげん” 起動試験実績データに基づく重水中ボロン反応の計算精度の解析結果より、重水中ボロン反応度の計算誤差は -2.2% ~ +7.9% であり、設計誤差である ±10% 以内である。
- (4) W I M S - A T R と L A Y M O N - 2 A コードによる “ふげん” 運転実績データに基づくキセノン反応度の計算精度の解析結果より、キセノン反応度の計算誤差は -12.0% ~ +14.7% であり、設計誤差である ±20% 以内である。

* 大洗工学センター　技術開発部　プラント工学室

Aug. 1989

The Calculation Accuracy Analysis of the Core Design Code
for ATR (Advanced Thermal Reactor) Demonstration Plant
— Reactivity Worths of SUS Control Rod, Boron in D₂O and Xenon —

Norio Kawata*, Toshio Wakabayashi *

Abstract

The calculation accuracy evaluation of the SUS control rod reactivity worth, boron reactivity and Xenon reactivity were performed on the basis of DCA experimental data, "Fugen" start-up test data and "Fugen" operation data by using the WIMS-ATR code.

The main results obtained are as follows.

- (1) As is shown in the results of the calculation accuracy evaluation of the channel power distribution for DCA Pu-U two-region core by the WIMS-ATR code, the RMS(Root Mean Square) of the calculation error of the channel power distribution is 4.8% and the relative error of the radial peaking factor is +2.1%.
- (2) As is shown in the results of the calculation accuracy evaluation of the SUS control rods worths by the WIMS-ATR code, the calculation error of the SUS control rod worth is -5.9%, and the value satisfy the design margin ±8% (C/E-1).
- (3) As is shown in the results of the calculation accuracy evaluation of the boron (in the heavy water) reactivity based on "Fugen" start-up test data by the WIMS-ATR code / the LAYMON-2A code, the calculation error of the boron reactivity is -2.2% ~ +7.9%, and the value satisfies the design margin of ±10%.
- (4) As is shown in the results of the calculation accuracy evaluation of the Xenon reactivity based on "Fugen" operation data by the WIMS-ATR code/the LAYMON-2A code, the calculation error of the Xenon reactivity is -1.20% ~ +14.7%, and the value satisfies the design margin ±20%.

* Technical Development Division Plant Engineering Section,
Oarai Engineering Center, PNC.

目 次

1. 緒 言	1
2. D C A S U S 制御棒挿入炉心実験データに基づく S U S 制御棒反応度計算精度解析	2
2. 1 D C A P u - U 2 領域炉心チャンネル出力分布実験データに基づく 出力分布計算精度解析と炉心境界定数の検討	2
2. 2 新吸收面積法による S U S 制御棒反応度価値計算精度解析	3 3
3. 「ふげん」起動試験実験データに基づく重水中ボロン反応度計算精度解析	5 1
3. 1 重水中ボロン反応度計算精度解析	5 1
4. 「ふげん」運転データに基づくキセノン反応度計算精度解析	6 5
4. 1 出力変更時のキセノン反応度の推定	6 5
4. 2 W I M S - A T R コードに基づくキセノン反応度計算精度評価	6 6
5. 結 論	9 3
6. 謝 辞	9 4
7. 参考文献	9 5
8. 付 錄	9 6
8. 1 計算に使用した核定数	9 6
8. 2 W I M S - A T R コードとM E T H U S E L A H - II コードの キセノン反応度及びボロン反応度の比較	9 6
8. 3 D C A P u - U 2 領域炉心チャンネル出力分布実験データについて	9 7

表リスト

表 2.1 - 1 DCA燃料集合体の幾何形状と物性値	5
表 2.1 - 2 DCA Pu-U2領域炉心における径方向ピーキング係数、 チャンネル出力分布の計算精度比較	6
表 2.1 - 3 0.54wt%PuO ₂ -UO ₂ 燃料のMETHUSELAH-IIコードと WIMS-ATRコードとの核定数の比較	7
表 2.1 - 4 1.2wt%UO ₂ 燃料のMETHUSELAH-IIコードと WIMS-ATRコードとの核定数の比較	8
表 2.1 - 5 WIMS-ATR/LAYMON-2AコードによるDCAチャンネル 出力分布の解析精度	9
表 2.1 - 6 DCAチェスボードB炉心におけるチャンネル出力分布実験値と 各コードにおける計算値との比較	10
表 2.1 - 7 DCAチェスボードD炉心におけるチャンネル出力分布実験値と 各コードにおける計算値との比較	11
表 2.1 - 8 DCA一様分散(C2-0-3)炉心におけるチャンネル出力分布実験値と 各コードによる計算値との比較	12
表 2.2 - 1 DCA SUS 制御棒の幾何形状と物性値	38
表 2.2 - 2 DCA 制御棒引抜き高さにおける臨界重水水位と 重水水位反応度係数実験値	39
表 2.2 - 3 DCA 制御棒引抜き高さにおける臨界重水水位と反応度価値実験値	39
表 2.2 - 4 DCA 制御棒反応度の実験値	39
表 2.2 - 5 SUS 制御棒のC定数	40
表 2.2 - 6 SUS 制御棒のF定数	40
表 2.2 - 7 DCA 実験データに基づくSUS制御棒反応度価値の WIMS-ATRコードの計算精度	41
表 2.2 - 8 SUS 制御棒挿入周囲チャンネルのインポータンス	42
表 2.2 - 9 DCA 実験データに基づくSUS制御棒反応度価値の 各種解析手法の計算精度	43
表 2.2 - 10 制御棒反応度価値のWIMS-ATR/LAYMON-2Aコードの計算精度	44

表 3.1 - 1 ボロン反応度測定試験における臨界時データ (S. 53.5.19)(全炉心, 0%ボイド)	55
表 3.1 - 2 全炉心常温 100%ボイド時 M-rod積分反応度実測値 (S. 53.5.18) (FLC数え落し補正值)	56
表 3.1 - 3 ボロン反応度測定時の各炉心におけるMロッド残存ワース	57
表 3.1 - 4 ボロン反応度測定値(重水温度変化を含む)	58
表 3.1 - 5 温度補正後のボロン反応度測定値	59
表 3.1 - 6 WIMS-ATR/LAYMON-2Aコードによる重水中ボロン濃度変化時 実効増倍率と重水中ボロン反応度の計算値	60
表 3.1 - 7 「ふげん」起動試験実績データに基づく重水中ボロン反応度の WIMS-ATR/LAYMON-2Aコードの計算精度	61
表 3.1 - 8 「ふげん」起動試験実績データに基づく重水中ボロン反応度の METHUSELAH-II/CITATIONコードの計算精度	62
 表 4.1 - 1 (1) 制御棒位置の記録(実績データ)	68
表 4.1 - 1 (2) 制御棒位置の記録(実績データ)	69
表 4.1 - 2 (1) ポイズン除去記録(1/2)(2/2)	70
表 4.1 - 2 (2) ポイズン注入記録	72
表 4.1 - 3 キセノン反応度推定値算出に使用した反応度関連データ	73
表 4.1 - 4 キセノン反応度推定値算出に使用したキセノン関連データ	74
表 4.1 - 5 WIMS-ATRコード出力係数計算精度	75
表 4.1 - 6 WIMS-ATRコード減速材温度反応度係数計算精度	76
表 4.1 - 7 MSIV試験時出力降下時の各種反応度変化とキセノン反応度の推定値	77
表 4.1 - 8 通常停止時出力降下時の各種反応度変化とキセノン反応度の推定値	78
表 4.2 - 1 WIMS-ATR/LAYMON-2Aコードによる定格飽和時のキセノン反応	89
表 4.2 - 2 「ふげん」実績データに基づくキセノン反応度計算誤差 (WIMS-ATR/LAYMON-2Aコード)	90
 表 8.1 - 1 新吸収面積法によるLAYMON-2AコードB定数のまとめ (クラス3入力値)(1/1) DCA(0.54, 0.54, 0.54) PUO ₂ E=0(Gwd/t), ¹⁰ B=0 (ppm), VOID=0 (%)	98

表 8.1 - 2 新吸収面積法による LAYMON-2A コード B 定数のまとめ (クラス 3 入力値)(1/1) DCA(1.20, 1.20, 1.20) UO ₂ E=0(Gwd/t), ¹⁰ B=0 (ppm), VOID=0 (%)	99
表 8.1 - 3 LAYMON-2A コード B 定数のまとめ (クラス 3 入力値)(1/1) ふげん(0.80, 0.80, 0.55)APUO ₂ COLD E=0(Gwd/t), ¹⁰ B=12.34 (ppm), VOID=0 (%)	100
表 8.1 - 4 LAYMON-2A コード B 定数のまとめ (クラス 3 入力値)(1/1) ふげん(1.50, 1.50, 1.50)AUO ₂ COLD E=0(Gwd/t), ¹⁰ B=12.34 (ppm), VOID=0 (%)	101
表 8.1 - 5 LAYMON-2A コード B 定数のまとめ (クラス 3 入力値)(1/1) ふげん(0.80, 0.80, 0.55)APUO ₂ COLD E=0(Gwd/t), ¹⁰ B=12.615 (ppm), VOID=0 (%)	102
表 8.1 - 6 LAYMON-2A コード B 定数のまとめ (クラス 3 入力値)(1/1) ふげん(1.50, 1.50, 1.50)AUO ₂ COLD E=0(Gwd/t), ¹⁰ B=12.615 (ppm), VOID=0 (%)	103
表 8.1 - 7 LAYMON-2A コード B 定数のまとめ (クラス 3 入力値)(1/1) ふげん(0.80, 0.80, 0.55)APUO ₂ COLD E=0(Gwd/t), ¹⁰ B=12.86 (ppm), VOID=0 (%)	104
表 8.1 - 8 LAYMON-2A コード B 定数のまとめ (クラス 3 入力値)(1/1) ふげん(1.50, 1.50, 1.50)AUO ₂ COLD E=0(Gwd/t), ¹⁰ B=12.86 (ppm), VOID=0 (%)	105
表 8.1 - 9 (1) LAYMON-2A コード B 定数のまとめ (クラス 3 入力値)(1/3) ふげん(0.80, 0.80, 0.55)APUO ₂ HOT	106
表 8.1 - 9 (2) LAYMON-2A コード B 定数のまとめ (クラス 3 入力値)(2/3) ふげん(0.80, 0.80, 0.55)APUO ₂ HOT	107
表 8.1 - 9 (3) LAYMON-2A コード B 定数のまとめ (クラス 3 入力値)(3/3) ふげん(0.80, 0.80, 0.55)APUO ₂ HOT	108
表 8.1 - 10 LAYMON-2A コード B 定数のまとめ (クラス 35, 38, 43 入力値) ふげん(0.80, 0.80, 0.55)APUO ₂ -UO ₂ HOT	109
表 8.1 - 11(1) LAYMON-2A コード B 定数のまとめ (クラス 3 入力値)(1/3) ふげん(1.50, 1.50, 1.50)AUO ₂ HOT	110
表 8.1 - 11(2) LAYMON-2A コード B 定数のまとめ (クラス 3 入力値)(2/3) ふげん(1.50, 1.50, 1.50)AUO ₂ HOT	111

表 8.1 - 11(3) LAYMON-2AコードB定数のまとめ（クラス3入力値）(3/3)

ふげん(1.50, 1.50, 1.50)AU_{0.2} HOT 112

表 8.1 - 12 LAYMON-2AコードB定数のまとめ（クラス35, 38, 43入力値）

ふげん(1.50, 1.50, 1.50)AU_{0.2} HOT 113

表 8.1 - 13(1) LAYMON-2AコードB定数のまとめ（クラス3入力値）(1/3)

ふげん(2.50, 1.50)ASP HOT 114

表 8.1 - 13(2) LAYMON-2AコードB定数のまとめ（クラス3入力値）(2/3)

ふげん(2.50, 1.50)ASP HOT 115

表 8.1 - 13(3) LAYMON-2AコードB定数のまとめ（クラス3入力値）(3/3)

ふげん(2.50, 1.50)ASP HOT 116

表 8.1 - 14 LAYMON-2AコードB定数のまとめ（クラス35, 38, 43入力値）

ふげん(2.50, 1.50)ASP HOT 117

表 8.1 - 15(1) B定数におけるフィッティング式一覧表 118

表 8.1 - 15(2) (続き) 119

表 8.1 - 16 局所出力ピーキング係数(LPF)のフィッティング式 120

表 8.1 - 17 核分裂断面積(Σf)のフィッティング式 121

表 8.2 - 1 従来及び今回の定格飽和時キセノン反応度の解析法、計算結果の比較 123

表 8.2 - 2 METHUSELAH-IIコードで計算したキセノン及び
サマリウム反応度（「ふげん」初装荷炉心BOC） 124表 8.2 - 3 「ふげん」実績データに基づくMETHUSELAH-IIコードの
キセノン反応度計算誤差 125表 8.2 - 4 格子計算ベースでのMETHUSELAH-IIコードとWIMS-ATRコードの
キセノン反応度(δk_{xe})の比較 126表 8.2 - 5 格子計算ベースでのMETHUSELAH-IIコードとWIMS-ATRコードの
ボロン反応度(% ΔK_∞ /ppm)の比較(定格出力時) 127

図リスト

図 2.1 - 1	DCA 実験炉心径方向断面図(Pu-U2領域炉心)	13
図 2.1 - 2	DCA 28本クラスタ断面図	14
図 2.1 - 3	チャンネル出力分布の実験値と計算値(WIMS-ATR/LAYMON-2A)の比較	15
図 2.1 - 4	DCA Pu-U2領域炉心における実験値とWIMS-ATR/LAYMON-2A コード計算値との径方向出力分布の比較	16
図 2.1 - 5	チャンネル出力分布の実験値と計算値(WIMS-ATR/CITATION) の比較	17
図 2.1 - 6	チャンネル出力分布の実験値と計算値(METHUSELAH-II /LAYMON-2A) の比較	18
図 2.1 - 7	チャンネル出力分布の実験値と計算値(METHUSELAH-II /CITATION)の比較	19
図 2.1 - 8	DCA(Pu-U)2の領域炉心における実験値と計算値との 径方向出力分布の比較	20
図 2.1 - 9	DCA チェスボードB炉心	21
図 2.1 - 10	DCA チェスボードD炉心	22
図 2.1 - 11	DCA 一様分散(C2-0-3)炉心	23
図 2.1 - 12	DCAチェスボードB炉心におけるチャンネル出力分布実験値と LAYMON-2A との比較	24
図 2.1 - 13	DCAチェスボードD炉心におけるチャンネル出力分布実験値と LAYMON-2A との比較	25
図 2.1 - 14	DCA一様分散(C2-0-3)炉心におけるチャンネル出力分布実験値と LAYMON-2A との比較	26
図 2.1 - 15	DCAチェスボードB炉心におけるチャンネル出力分布実験値と CITATIONとの比較	27
図 2.1 - 16	DCAチェスボードD炉心におけるチャンネル出力分布実験値と CITATIONとの比較	28
図 2.1 - 17	DCA一様分散(C2-0-3)炉心におけるチャンネル出力分布実験値と CITATIONとの比較	29
図 2.1 - 18	DCAチェスボードB炉心におけるチャンネル出力分布実験値と 計算値との比較	30

図 2.1 - 19 DCA チェスボード D 炉心におけるチャンネル出力分布実験値と 計算値との比較	31
図 2.1 - 20 DCA 一様分散(C2-0-3)炉心におけるチャンネル出力分布実験値と 計算値との比較	32
図 2.2 - 1 DCA 実験炉心径方向断面図	45
図 2.2 - 2 SUS 制御棒の形状	46
図 2.2 - 3 制御棒軸方向荷載概略図	47
図 2.2 - 4 臨界重水水位と重水水位反応度係数	48
図 2.2 - 5 制御棒挿入割合と制御棒反応度	49
図 2.2 - 6 DCA SUS 制御棒反応度価値計算の解析モデル	50
図 3.1 - 1 液体ポイズン反応度測定試験時におけるポイズン除去塔通過 重水量と重水中の B^{10} 濃度の関係	63
図 3.1 - 2 ペリオド法による測定値から求めた全炉心ドライ クリティカル時 M-rod S 字曲線	64
図 4.1 - 1 主要弁類作動試験時における TPM 变化(S. 54. 5. 30 実績データ)	79
図 4.1 - 2 MSIV 試験のための出力降下時の運転実績	80
図 4.1 - 3 通常停止時の運転実績(S. 54. 6. 23)	81
図 4.1 - 4 2.55GWD/T における E ロッド 4 本の反応度曲線	82
図 4.1 - 5 ATROSTAR コードの計算出力軌跡(S. 54. 5. 30 MSIV 試験時)	83
図 4.1 - 6 ATROSTAR コードの計算出力軌跡(S. 54. 6. 23 通常停止時)	84
図 4.1 - 7 MSIV 試験時出力降下時のキセノン反応度推定値の変化	85
図 4.1 - 8 通常停止時出力降下時のキセノン反応度推定値の変化	86
図 4.1 - 9 「ふげん」 MSIV 試験時出力降下時の E ロッド位置及び キセノン濃度変化(S. 54. 5. 30)	87
図 4.1 - 10 「ふげん」通常停止時の E ロッド位置及びキセノン 濃度変化(S. 54. 6. 23)	88
図 4.2 - 1 MSIV 試験時出力降下時のキセノン反応度の計算値と推定値の比較	91
図 4.2 - 2 通常停止時出力降下時のキセノン反応度の計算値と推定値の比較	92
図 8.1 - 1 新吸收面積法における DCA(Pu-U)2 領域炉心の CITATION 3 群格子定数	122
図 8.3 - 1 DCA SUS 制御棒無挿入時の実験結果の出力分布	128
図 8.3 - 2 DCA 炉心の炉心中心からのチャンネル位置	129

1. 緒 言

新型転換炉実証炉合理化炉心では、標準燃料及び特殊燃料にガドリニア入り燃料棒を使用する。⁽¹⁾ ガドリニアは燃料要素36本のうち数本に混入するため、2次元格子計算を実施する必要性があることから、格子計算コードとしては従来のMETHUSELAH-IIコード⁽²⁾からWIMS-ATRコード⁽³⁾に切換えた方が設計の統一性がとれるうえ、従来のように一般的な格子特性をMETHUSELAH-IIで、非均質な効果（例えばGd入燃料の混入）をWIMSで行うと二度手間になり、WIMSのみで行った方が合理化が図れる。

このため、WIMS-ATRコードで計算した場合の計算精度を解析することとし、SUS制御棒反応度については臨界工学試験室（DCA）の実験データを、重水中ボロン反応度及びキセノン反応度についてはふげん発電所の起動試験実績データ及び運転実績データを用いて計算精度解析を実施する。

2. D C A S U S 制御棒挿入炉心実験データに基づく S U S 制御棒反応度価値計算精度解析

臨界工学試験室（D C A）S U S 制御棒挿入炉心の実験データ⁽⁴⁾に基づいて、W I M S - A T R コードを用いたS U S 制御棒の反応度価値の計算精度評価を設計手法に準じながら実施する。S U S 制御棒反応度価値の計算精度解析の先立ち、S U S 制御棒が入っていない状態でのチャンネル出力分布の計算精度解析を実施し、実験データとチャンネル出力分布が最も一致するようなL A Y M O N - 2 A コードの炉心径方向境界定数を求め、得られた炉心境界定数⁽⁵⁾を使用してS U S 制御棒の反応度価値計算精度解析を実施する。

2.1 D C A P u - U 2 領域炉心チャンネル出力分布実験データに基づく出力分布計算精度解析と炉心境界定数の検討

S U S 制御棒は、D C A P u - U 2 領域炉心の中央部に1本挿入されることから、S U S 制御棒の反応度価値はチャンネル出力分布の形状に大きく左右されることが予想される。すなわち、炉心中央部で凸の分布であれば反応度価値が大きくなり、平坦化すれば小さくなることから、反応度価値の計算精度はチャンネル出力分布の計算精度に大きな影響を与えると考えられる。

そこで、D C A P u - U 2 領域炉心のS U S 制御棒未挿入炉心でチャンネル出力分布の計算精度解析を実施し、L A Y M O N - 2 A コードの計算値がチャンネル出力分布実験データと最も一致するような炉心境界定数を検討する。

(1) D C A 実験体系

図2.1-1にD C A P u - U 2 領域炉心の燃料配置を、図2.1-2に装荷したD C A 燃料集合体の断面図を示す。図2.1-1に示すように、D C A P u - U 2 領域炉心は中央領域にP u O₂-U O₂ 燃料を25体、外側領域にU O₂ 燃料72体を 250mmの格子ピッチで配置する炉心である。

燃料集合体は、図2.1-2に示すごとく28本クラスタであり、表2.1-1に示す幾何形状と物性値をもつ0.54wt% P u O₂-U O₂* 及び1.2wt% U O₂**を燃料として使用している。

* U O₂ の中に0.54wt%のP u O₂ を添加した燃料

** 1.2% ²³⁵U濃縮を含むU O₂ 燃料

(2) 出力分布計算精度解析と炉心境界定数

WIMS-ATRコードを使用して(1)で示した燃料の核定数(B定数)を作成し、出力分布解析用設計コードLAYMON-2Aに入力し、チャンネル出力分布を解析し、DCA Pu-U2領域炉心のチャンネル出力分布実験値と最も一致するように、即ち計算値と実験値との差の平均2乗根(RMS)が最小となるように炉心径方向境界定数(α_H)をサーチして決定した。決定した α_H は0.743であり、この時のRMSは4.8%である。

炉心径方向境界定数が0.743の時のWIMS-ATR/LAYMON-2Aコードによるチャンネル出力分布の計算値と実験値の比較を図2.1-3及び図2.1-4に示す。図2.1-3、図2.1-4より計算値と実験値は比較的良好く一致していると云える。しかし、図2.1-3に示すごとく炉心境界近傍では絶対値が小さいため相対誤差としては比較的大きな値を示している。又、炉心中央部では実験値と比べ計算値は若干凸状の分布を示す。この原因は(3)で考察する。

(3) 各種解析手法との比較

(2)では、現設計手法であるWIMS-ATRコード/LAYMON-2Aコードにより出力分布計算精度解析を実施したが、ここでは従来の設計手法であったMETHUSELAH-IIコード/LAYMON-2Aコードによる解析手法及び詳細拡散コードCITATION⁽⁶⁾を使用したWIMS-ATR/CITATION、METHUSELAH-II/CITATIONによる解析手法により出力分布計算精度解析を実施し、WIMS-ATR/LAYMON-2Aによる解析結果を比較する。

図2.1-5、図2.1-6及び図2.1-7にWIMS-ATR/CITATION、METHUSELAH-II/LAYMON-2A及びMETHUSELAH-II/CITATIONによるチャンネル出力分布の実験値と計算値の比較を示す。これらの結果をまとめて、各種解析手法の径方向出力分布の計算結果を比較したものを図2.1-8に、計算精度を比較したものを表2.1-2に示す。

表2.1-2より、径方向ピーピング係数計算誤差及びチャンネル出力分布平均2乗誤差とも、WIMS-ATRコード/CITATIONコードの解析手法が～12%と比較的大きな計算誤差を示す。他の解析手法は比較的良好な精度で実験値と一致する。図2.1-8からわかるように、WIMS-ATR/CITATIONの解析手法の計算誤差が他の解析手法と比べ大きいのはPuO₂-UO₂燃料を25体装荷した炉心中央領域で出力を高く、UO₂燃料を72体装荷した炉心外側領域で出力を低く評価するためである。この原因を調べるために、CITATIONコードの計算に使用したWIMS-ATRコード及びMETHUSELAH-IIコードの3群核定数を比較した。PuO₂-UO₂

燃料及び UO_2 燃料に対する核定数の比較結果を表2.1-3及び表2.1-4に示す。表2.1-3及び表2.1-4より、METHUSELAH-IIコードと比べWIMS-ATRコードは PuO_2-UO_2 燃料、 UO_2 燃料ともどの核定数でも同程度の割合で小さく評価する傾向を示すことがわかるが原因がはっきりしない。そこで、これらの

核定数より形 K^∞ 及び $K^{\infty*}$ ($\equiv \frac{\nu \sum f_{\text{thermal}}}{\sum a_{\text{thermal}}}$) を作成し、両コードを比較して

みると PuO_2-UO_2 燃料ではWIMSの方が K^∞ で0.24% ΔK^∞ 、 $K^{\infty*}$ で0.48% $\Delta K^{\infty*}$ 程度小さ目に過ぎないが UO_2 燃料ではWIMSの方が K^∞ で1.79% ΔK^∞ 、 $K^{\infty*}$ で2.34% $\Delta K^{\infty*}$ と大きく過小評価する傾向を示す。したがって、WIMS-ATRコード/CITATIONコードで計算した出力分布が PuO_2-UO_2 燃料領域で過大評価、 UO_2 燃料領域で過小評価する原因は UO_2 燃料の K^∞ 、 $K^{\infty*}$ がMETHUSELAH-IIコードよりも過小評価するためである。3群核定数で云うと UO_2 燃料の $\nu \sum f_{\text{thermal}}$ が小さいためと考えられる。しかし、ATR実証炉は全MOX燃料装荷炉心のためこの計算誤差は発生しないと考えられる。又、WIMS-ATR/LAYMON-2Aで計算した出力分布が比較的実証値と良く合うのは計算した出力分布が実験値と良く合うようにLAYMON-2Aコードの径方向境界定数を求めているためと考えられる。

(4) チェスボード炉心との比較

今回実施した $Pu-U2$ 領域炉心と前回実施したチェスボード炉心⁽⁷⁾ の出力分布計算精度を比較する。

WIMS-ATR/LAYMON-2Aコードによるチャンネル出力分布の計算精度の比較結果を表2.1-5にまとめて示す。表2.1-5に示すごとくチャンネル出力分布の平均誤差はチェスボード炉心では2~3%であるが $Pu-U2$ 領域炉心では(3)に示す原因により~5%と若干大きくなる。しかし、ATR実証炉の炉心は $Pu-U2$ 領域炉心ではなく、出力ピーキング係数の大きな取替炉心はチェスボード炉心であることから、設計手法によるチャンネル出力分布の平均誤差は2~3%，ピーキング係数の誤差は~±1%程度とよく合っていると考えられる。

参考のために前回実施したチェスボード炉心の炉心構成を図2.1-9、図2.1-10、図2.1-11に、チャンネル出力分布の実験値とLAYMON-2Aによる設計値との比較を図2.1-12、図2.1-13、図2.1-14に、CITATIONによる計算値との比較を図2.1-15、図2.1-16、図2.1-17に示す。又、各解析手法での計算精度の比較を表2.1-6、表2.1-7、表2.1-8に示す。

表 2.1-1 DCA燃料集合体の幾何形状と物性値

(a) 燃料棒

燃 料	元 素	外 径 (cm)	元 素	密 度 (g/cm ³)
0.54 wt% PuO ₂ -UO ₂	ペレット	1.469	PuO ₂ -UO ₂	10.17
	ギャップ	1.506	Helium	—
	被 覆 管	1.668	Zry-2	6.523
1.2 wt% UO ₂	ペレット	1.480	UO ₂	10.36
	ギャップ	1.503	Helium	—
	被 覆 管	1.673	Al-Mg alloy	2.674

(b) 構造材

元 素	内 径 (cm)	厚 さ (cm)	元 素	密 度 (g/cm ³)
圧 力 管	11.68	0.2	Al-Mg alloy	2.674
ギャップ	12.08	0.59	Air	—
カランドリア管	13.25	0.2	Al-Mg alloy	2.674
減 速 材	13.65	—	99.45 mol% D ₂ O	1.1045

(c) 燃料組成

ペレット	物性値	割 合 (wt%)		原子数密度 (×10 ²⁴ /cm ³)
		Pu	whole	
0.54 wt% PuO ₂ -UO ₂ **	U-235	—	0.6214	0.0001620
	U-238	—	86.782	0.02233
	Pu-238	0.021	0.000102	0.000000026
	Pu-239	90.360	0.4304	0.0001103
	Pu-240	8.640	0.04115	0.0000105
	Pu-241	0.915	0.004359	0.000001108
	Pu-242	0.064	0.000303	0.000000077
	O-16	—	1212	0.04640
1.2 wt% UO ₂	U-235	—	1.057	0.0002806
	U-238	—	86.793	0.02275
	O-16	—	12150	0.04738

*DCA実験レポート⁽¹³⁾より引用
**Data of analysis : 23 August 1971

表2.1-2 DCAP u-U2領域炉心における径方向ピーキング係数、チャンネル出力分布の計算精度比較

解 析 手 法 (格子計算コード／出力分布計算コード)	径方向ピーキング係数			チャンネル出力分布 平均2乗誤差 RMS(%)
	実験値(E)	計算値(C)	相対誤差 (C/E-1)×100(%)	
WIMS-ATR/LAYMON-2A	2.417	2.468	+2.1	4.8
WIMS-ATR/CITATION	2.417	2.699	+11.7	11.6
METHUSELAH-II/LAYMON-2A	2.417	2.429	+0.5	3.8
METHUSELAH-II/CITATION	2.417	2.399	-0.7	5.3

表 2.1 - 3 0.54wt% PuO₂-UO₂燃料のMETHUSELAH-IIコードと
WIMS-ATRコードとの核定数の比較

群数 （エネルギー群）	コード	METHUSELAH-II	WIMS-ATR	WIMS-ATR
				METHUSELAH-II
D	1	1.5022	1.4202	0.945
	2	1.2578	1.2423	0.988
	3	8.9511 -1	8.4986 -1	0.949
Σa	1	1.4948 -3	1.1935 -3	0.798
	2	3.8967 -3	3.8281 -3	0.982
	3	9.0010 -3	8.5164 -3	0.946
Σr	1 → 2	2.8468 -2	2.7061 -2	0.951
	2 → 3	2.4197 -2	2.3685 -2	0.979
$\nu \Sigma f$	1	1.9193 -3	1.6588 -3	0.864
	2	1.2561 -3	1.1839 -3	0.943
	3	1.2677 -2	1.1954 -2	0.943
Σf	1	7.4260 -4	5.9272 -4	0.798
	2	4.7260 -4	4.5366 -4	0.960
	3	4.7591 -3	4.4860 -3	0.943
K^∞		1.2591	1.2567	-0.24 *
$\frac{\phi_{\text{thermal}}}{\phi_{\text{fast}}}$		1.1676	1.1905	1.020
K^∞	$\left[\equiv \frac{\nu \Sigma f_{\text{thermal}}}{\Sigma a_{\text{thermal}}} \right]$	1.4084	1.4036	-0.48 *

* (%) ΔK^∞ (WIMS - METHUSELAH)

表 2.1 - 4 1.2wt %UO₂燃料のMETHUSELAH-IIコードと
WIMS-ATRコードとの核定数比較

群数 左斜 核定数	コード	METHUSELAH-II	WIMS-ATR	WIMS-ATR
				METHUSELAH-II
D	1	1.5054	1.4264	0.948
	2	1.2624	1.2481	0.989
	3	8.9181 -1	8.4653 -1	0.949
Σa	1	1.4797 -3	1.2209 -3	0.825
	2	3.4888 -3	3.4835 -3	0.998
	3	8.2111 -3	7.7925 -3	0.949
Σr	1 → 2	2.8455 -2	2.6990 -2	0.949
	2 → 3	2.4242 -2	2.3896 -2	0.986
$\nu \Sigma f$	1	1.9545 -3	1.6879 -3	0.864
	2	1.1281 -3	1.1735 -3	1.040
	3	1.0901 -2	1.0163 -2	0.932
Σf	1	7.5951 -4	6.0803 -4	0.801
	2	4.5897 -4	4.8209 -4	1.050
	3	4.4861 -3	4.1816 -3	0.932
K ∞		1.2075	1.1896	-1.79 *
$\frac{\phi_{\text{thermal}}}{\phi_{\text{fast}}}$		1.2768	1.3014	1.019
K_{∞}^*	$\left(\equiv \frac{\nu \Sigma f_{\text{thermal}}}{\Sigma a_{\text{thermal}}} \right)$	1.3276	1.3042	-2.34 *

* (%) ΔK_{∞} (WIMS-METHUSELAH)

表 2.1 - 5 WIMS-ATR/LAYMON-2 A コードによる DCA チャンネル出力分布の解析精度

DCA 炉心	計算誤差 チャンネル出力分布 平均誤差 R M S (%)	径方向ピーピング 係数相対誤差 (C/E-1) (%)	備 考
Pu-U2 領域炉心	4.8	+ 2.1	
チエスボードB炉心	3.0	- 1.3	
チエスボードD炉心	2.0	- 0.6	
一様分散C2-0-3炉心	2.4	+ 0.2	

表2.1-6 DCAチェスボードB炉心におけるチャンネル出力分布実験値と各コードにおける計算値との比較

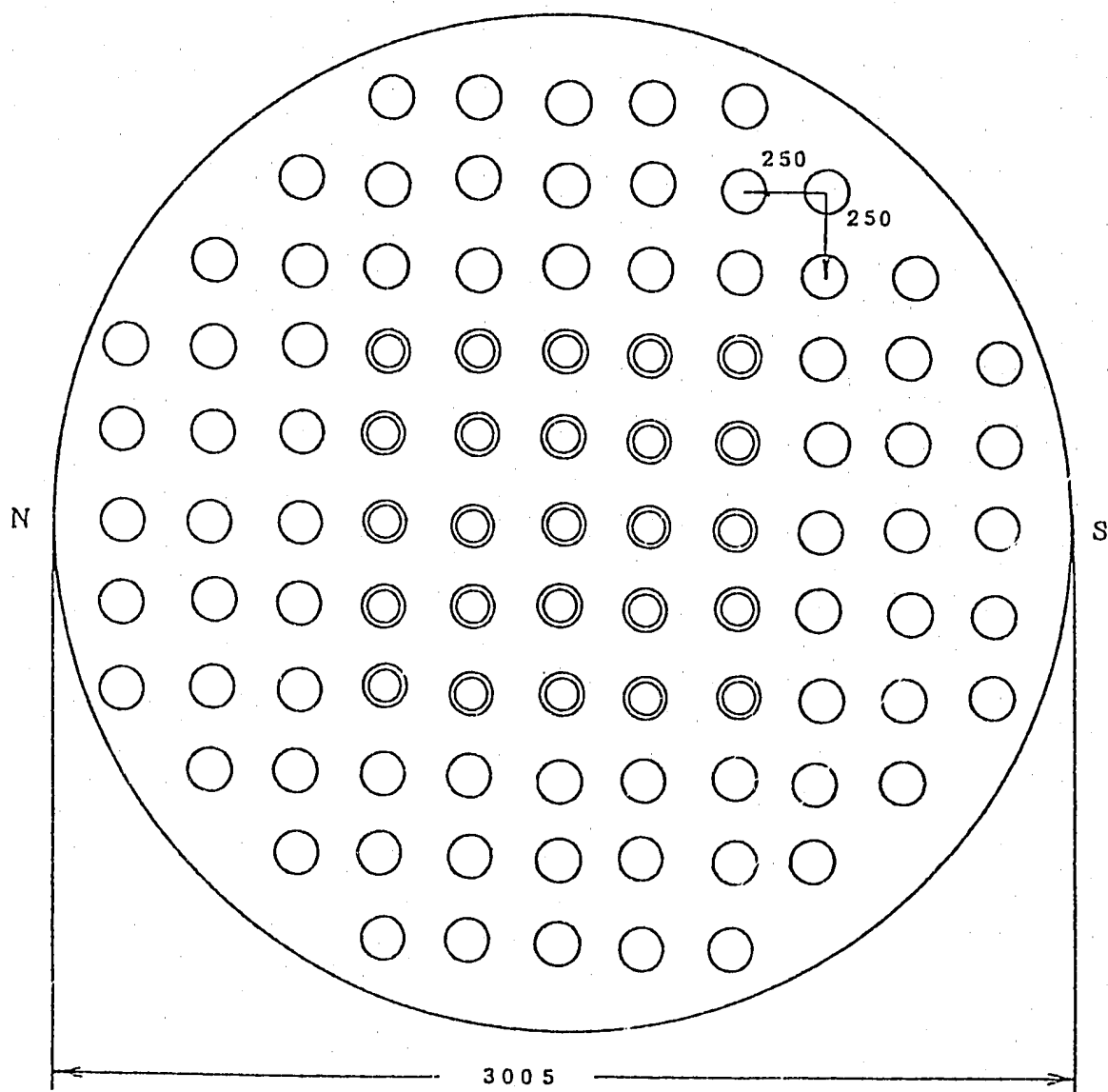
		径方向出力 分布誤差 RMS (%)	(I, J) チャンネル出力及び出力ミスマッチ								
			(8.6) (1.2%U)	(9.6) (1.2%U)	(8.6) (9.6)	(6.5) (1.2%U)	(7.5) (0.7%U)	(6.5) (7.5)	(6.8) (1.5%U)	(7.7) (0.7%U)	(6.8) (7.7)
実験値 (E)		基 準	1.60	1.26	1.27	1.22	0.92	1.33	1.52	1.06	1.43
MET-II / LAYMON-2A	計算値 (C)	—	1.61	1.25	1.29	1.25	0.91	1.37	1.61	1.03	1.56
	誤 差 (C/E-1) × 100%	3.6	0.6	-0.8	1.6	2.5	-1.1	3.0	5.2	-2.8	9.1
WIMS-D / LAYMON-2A	計算値 (C)	—	1.58	1.24	1.27	1.24	0.90	1.38	1.58	1.00	1.58
	誤 差 (C/E-1) × 100%	3.0	-1.3	-1.6	0.0	1.6	-2.2	3.8	3.9	-5.7	10.5
WIMS-D / CITATION	計算値 (C)	—	1.55	1.24	1.25	1.24	0.90	1.38	1.55	1.01	1.53
	誤 差 (C/E-1) × 100%	2.6	-3.1	-1.6	-1.6	1.6	-2.2	3.8	2.0	-4.7	7.0

表2.1-7 DCAチエスボードD炉心におけるチャンネル出力分布実験値と各コードにおける計算値との比較

		径方向出力 分布誤差 RMS (%)	(I, J) チャンネル出力及び出力ミスマッチ								
			(8.6) (1.5%U)	(9.6) (1.2%U)	(8.6) (9.6)	(6.6) (1.5%U)	(7.6) (1.2%U)	(6.6) (7.6)	(4.6) (1.5%U)	(4.5) (1.2%U)	(4.6) (4.5)
実験値 (E)		基 準	1.53	1.26	1.21	1.54	1.40	1.10	1.11	0.84	1.32
MET-II / LAYMON-2A	計算値 (C)	—	1.54	1.22	1.26	1.53	1.40	1.09	1.13	0.86	1.31
	誤 差 (C/E-1)×100%	2.0	0.7	-3.2	4.1	0.7	0.0	-0.9	1.8	2.4	-0.8
WIMS-D / LAYMON-2A	計算値 (C)	—	1.53	1.22	1.25	1.53	1.41	1.09	1.13	0.87	1.30
	誤 差 (C/E-1)×100%	2.0	0.0	-3.2	3.3	-0.6	0.7	-0.9	1.8	-3.6	-1.5
WIMS-D / CITATION	計算値 (C)	—	1.53	1.21	1.26	1.53	1.40	1.09	1.12	0.86	1.30
	誤 差 (C/E-1)×100%	1.9	0.0	-4.0	4.1	-0.6	0.0	-0.9	0.9	2.4	-1.5

表 2.1 - 8 DCA一様分散(C2-0-3)炉心におけるチャンネル出力分布実験値と各コードによる計算値との比較

		径方向出力 分布誤差 R M S (%)	(I, J) チャンネル出力及び出力ミスマッチ								備 考
			(1, 1) (0.87%Pu)	(1, 2) (1.2%U)	(1, 1) (1, 2)	(5, 1) (0.87%Pu)	(5, 2) (1.2%U)	(5, 1) (5, 2)	(2, 2) (0.54%Pu)	(1, 1) (2, 2)	
実 驗 値 (E)		基 準	2.055	1.752	1.173	1.153	0.965	1.195	1.729	1.189	
MET-II	LAYMON-2A	計算値 (C)	—	2.052	1.771	1.159	1.136	0.965	1.177	1.713	1.198
		誤 差 (C/E-1)×100%	2.1	-0.2	1.1	-1.2	-1.5	0.0	-1.5	-0.9	0.8
WIMS-D	LAYMON-2A	計算値 (C)	—	2.060	1.749	1.178	1.146	0.958	1.196	1.715	1.201
		誤 差 (C/E-1)×100%	2.4	0.2	-0.2	0.4	-0.6	-0.7	0.1	-0.8	1.0
WIMS-D	CITATION	計算値 (C)	—	2.101	1.722	1.220	1.156	0.937	1.234	1.756	1.196
		誤 差 (C/E-1)×100%	3.6	2.2	-1.7	4.0	0.3	-2.9	3.3	1.6	0.6



- 1.2 wt% UO_2
(72チャンネル)
- ◎ 0.54 wt% PuO_2
- UO_2 (25チャンネル)
- G/R ○ 制御棒(SUS)

図 2.1 - 1 DCA実験炉心径方向断面図(Pu-U2領域炉心)
(DCA実験レポート⁽¹³⁾より引用)

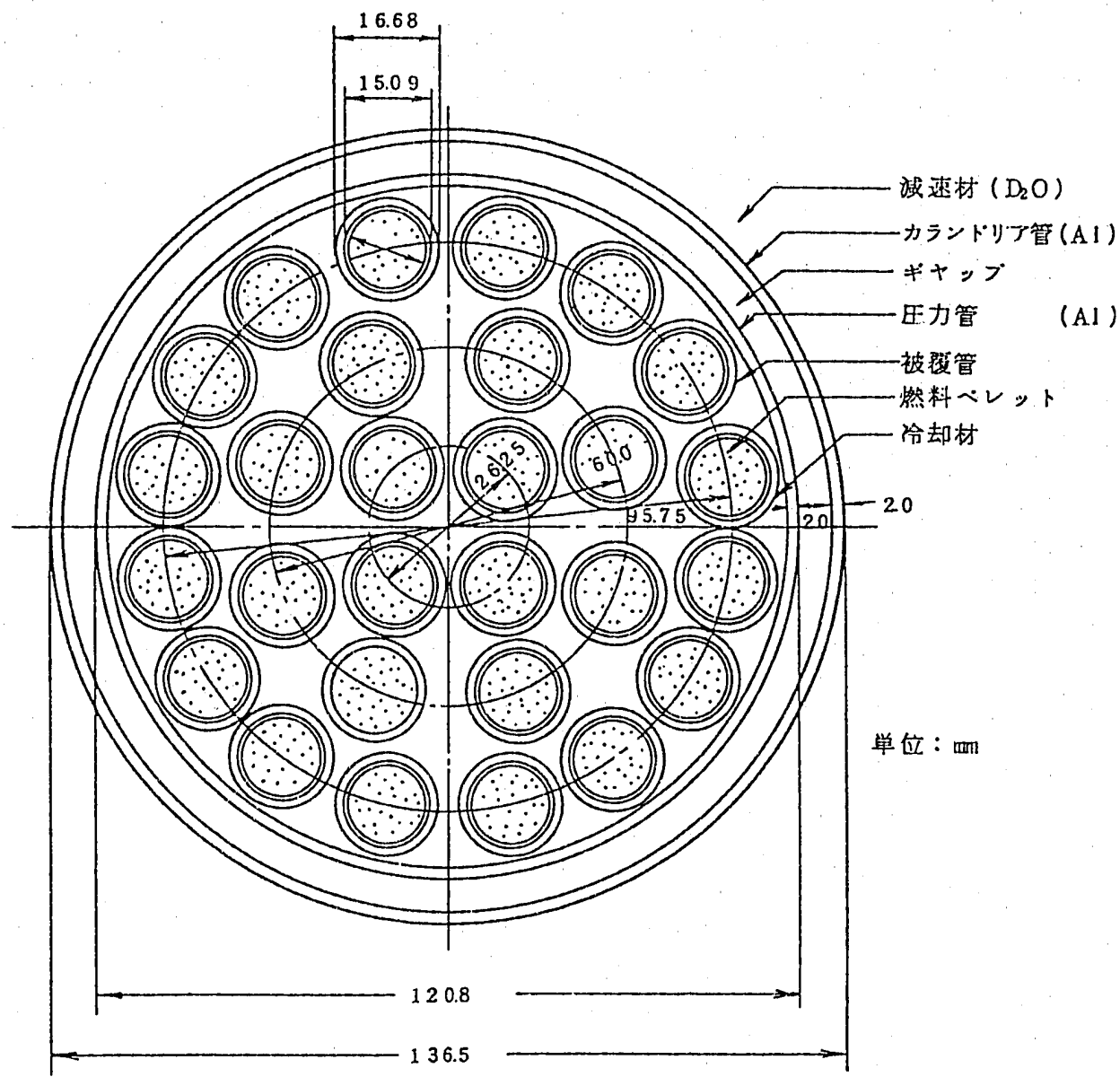


図 2.1 - 2 DCA28本クラスタ断面図
(DCA実験レポート⁽¹³⁾より引用)

	0.277	0.380	0.413	0.380	0.277				
	0.237	0.349	0.381	0.349	0.235				
	16.9	8.9	8.4	8.9	17.9				
	0.359	0.587	0.735	0.787	0.735	0.587	0.359		
	0.388	0.611	0.763	0.793	0.713	0.611	7.388		
	-7.5	-3.9	-3.7	-0.8	-3.7	-3.9	-7.5		
	0.359	0.668	0.979	1.192	1.268	1.192	0.979	0.668	0.359
	0.388	0.693	1.079	1.295	1.344	1.295	1.079	0.675	0.365
	-7.5	-3.6	-9.3	-8.0	-5.7	-8.0	-9.3	-1.0	-1.6
0.277	0.587	0.979	1.473	1.795	1.907	1.795	1.473	0.979	0.587
0.235	0.611	1.079	1.458	1.837	1.905	1.837	1.471	1.024	0.577
17.9	-3.9	-9.3	1.0	-2.3	0.1	-2.3	0.1	-4.4	1.7
0.380	0.735	1.192	1.795	2.187	2.323	2.187	1.795	1.192	0.735
0.349	0.763	1.295	1.837	2.168	2.270	2.161	1.756	1.230	0.719
8.9	-3.7	-8.0	-2.3	0.9	2.3	1.2	2.2	-3.1	2.2
0.413	0.787	1.268	1.907	2.323	2.468	2.323	1.907	1.268	0.787
0.381	0.793	1.344	1.905	2.270	2.417	2.222	1.821	1.276	0.748
8.4	-0.8	-5.7	0.1	2.3	2.1	4.5	4.7	-0.6	5.2
0.380	0.735	1.192	1.795	2.187	2.323	2.187	1.795	1.192	0.735
1.349	0.763	1.295	1.837	2.161	2.222	2.153	1.756	1.230	0.719
8.9	-3.7	-8.0	-2.3	1.2	4.5	1.6	2.2	-3.0	2.2
0.277	0.587	0.979	1.473	1.795	1.907	1.795	1.473	0.979	0.587
0.235	0.611	1.079	1.471	1.756	1.821	1.756	1.484	1.024	0.577
17.9	-3.9	-9.3	0.1	2.2	4.7	2.2	-0.7	-4.4	1.7
0.359	0.668	0.979	1.192	1.268	1.192	0.979	0.668	0.359	
0.388	0.675	1.024	1.230	1.271	1.230	1.024	0.658	0.365	
-7.5	-1.0	-4.4	-3.1	-0.6	-3.1	-4.4	1.5	-1.6	
	0.359	0.587	0.735	0.787	0.735	0.587	0.359		
	0.365	0.577	0.719	0.748	0.719	0.577	0.365		
	-1.6	1.7	2.2	5.2	2.2	1.7	-1.6		
	0.277	0.380	0.413	0.380	0.277				
	0.227	0.329	0.359	0.329	0.221				
	25.3	15.5	15.0	15.5	25.3				

 α_H : 0.743

RMS : 4.8

○ : SUS 制御棒全引抜

C

C : 計算値 (WIMS-ATR/LAYMON-2A)

E

E : 実験値

R

R : $(C/E - 1) \times 100 (\%)$

図 2.1-3 チャンネル出力分布の実験値と計算値(WIMS-ATR/LAYMON-2A)の比較

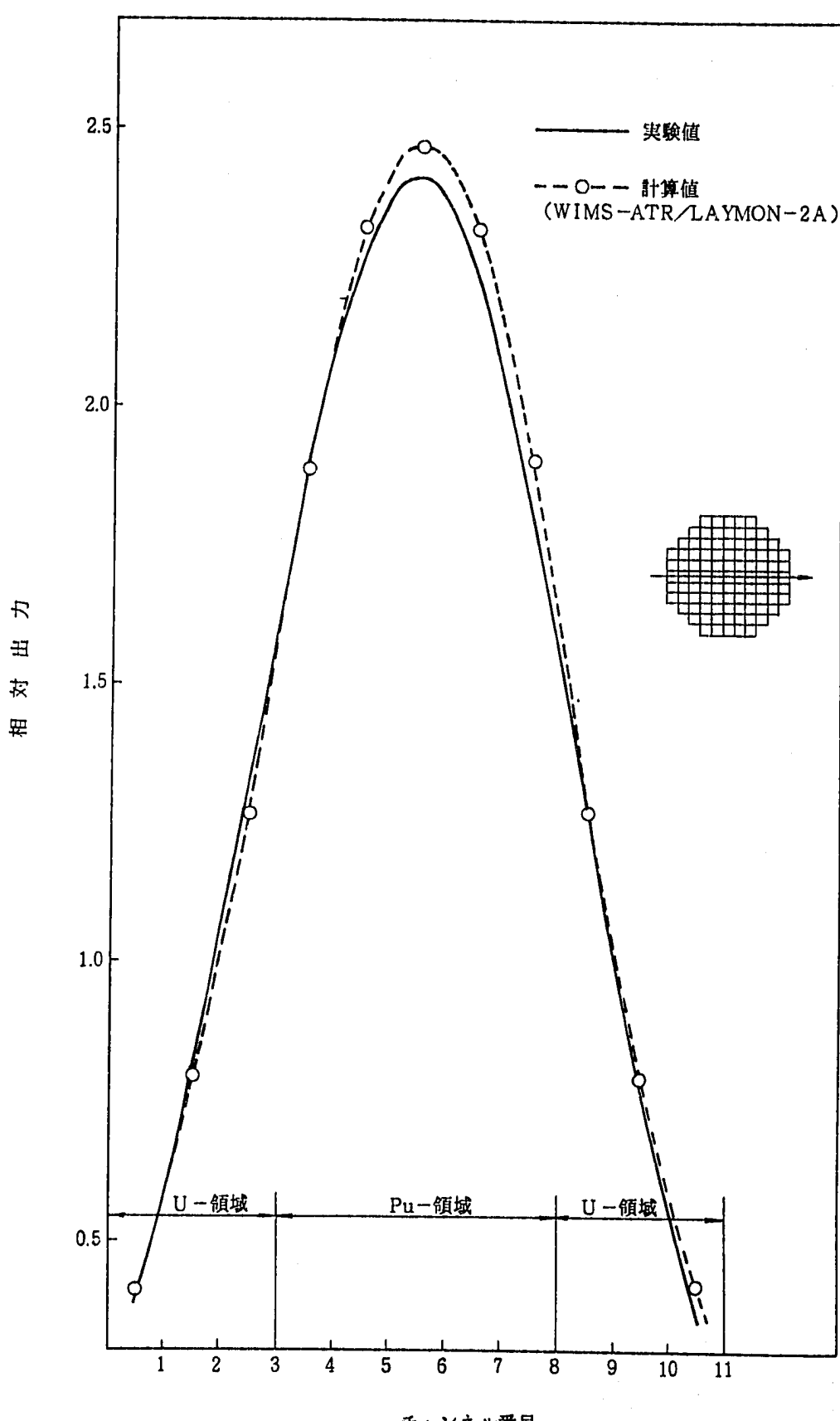


図 2.1-4 DCA Pu-U2領域炉心における実験値と WIMS-ATR/LAYMON-2A コード
計算値との径方向出力分布の比較

	0.249	0.322	0.346	0.322	0.249				
	0.237	0.349	0.381	0.349	0.235				
	5.1	-7.7	-9.2	-7.7	6.0				
	0.326	0.553	0.692	0.740	0.692	0.553	0.326		
	0.388	0.611	0.763	0.793	0.763	0.611	0.388		
	-16.0	-9.5	-9.3	-6.7	-9.3	-9.5	-16.0		
	0.326	0.571	0.921	1.137	1.214	1.137	0.920	0.570	0.326
	0.388	0.693	1.079	1.295	1.344	1.295	1.079	0.675	0.365
	-16.0	-17.6	-14.6	-12.2	-9.7	-12.2	-14.7	-15.6	-10.7
0.249	0.553	0.921	1.550	1.914	2.043	1.914	1.549	0.920	0.552
0.235	0.611	1.079	1.458	1.837	1.905	1.837	1.471	1.024	0.577
6.0	--9.5	-14.6	6.3	4.2	7.2	4.2	5.3	-10.2	-4.3
0.322	0.692	1.137	1.914	2.369	2.528	2.368	1.913	1.136	0.691
0.349	0.763	1.295	1.837	2.168	2.270	2.161	1.756	1.230	0.719
--7.7	--9.3	-12.2	4.2	9.3	11.4	9.6	8.9	-7.6	-3.9
0.346	0.740	1.214	2.043	2.528	2.699	2.527	2.041	1.212	0.739
0.381	0.793	1.344	1.905	2.270	2.417	2.222	1.821	1.276	0.748
--9.2	--6.7	-9.7	7.2	11.4	11.7	13.7	12.1	-5.0	-1.2
0.322	0.692	1.137	1.914	2.368	2.527	2.367	1.912	1.136	0.691
0.349	0.763	1.295	1.837	2.161	2.222	2.153	1.756	1.230	0.719
--7.7	--9.3	-17.2	4.2	9.6	13.7	9.9	8.9	-7.6	-3.9
0.249	0.553	0.920	1.549	1.913	2.041	1.912	1.547	0.919	0.552
0.235	0.611	1.079	1.471	1.756	1.821	1.756	1.484	1.024	0.577
6.0	--9.5	-14.7	5.3	8.9	12.1	8.9	4.2	-10.3	-4.3
0.326	0.570	0.920	1.136	1.212	1.136	0.919	0.569	0.326	
0.388	0.675	1.024	1.230	1.276	1.230	1.024	0.658	0.365	
-16.0	--15.6	-10.2	-7.6	-5.0	-7.6	-10.3	-13.5	-10.7	
	0.326	0.552	0.691	0.739	0.691	0.552	0.326		
	0.365	0.577	0.719	0.748	0.719	0.577	0.365		
	--10.7	-4.3	-3.9	-1.2	-3.9	-4.3	-10.7		
RMS : 11.6	0.249	0.321	0.346	0.321	0.249				
	0.221	0.329	0.359	0.329	0.221				
	12.7	-2.4	-3.6	-2.4	12.7				

C	C : 計算値 (WIMS-ATR/CITATION)
E	E : 実験値
R	R : $(C/E - 1) \times 100 (\%)$

図2.1-5 チャンネル出力分布の実験値と計算値(WIMS-ATR/CITATION) の比較

	0.259	0.368	0.402	0.368	0.259			
	0.237	0.349	0.381	0.349	0.235			
	9.2	5.4	5.5	5.4	10.2			
	0.342	0.592	0.751	0.806	0.751	0.592	0.342	
	0.388	0.611	0.763	0.793	0.763	0.611	0.388	
	-11.9	-3.1	-1.6	1.6	-1.6	-3.1	-11.9	
	0.342	0.675	0.998	1.217	1.294	1.217	0.998	0.675
	0.388	0.693	1.079	1.295	1.344	1.295	1.079	0.675
	-11.9	-2.6	-7.5	-6.0	-3.7	-6.0	-7.5	-6.3
0.259	0.592	0.998	1.477	1.790	1.898	1.790	1.477	0.998
0.235	0.611	1.079	1.458	1.837	1.905	1.837	1.471	1.024
10.2	-3.1	-7.5	1.3	-2.6	-0.4	-2.6	0.4	-2.5
0.368	0.751	1.217	1.790	2.163	2.292	2.163	1.790	1.217
0.349	0.763	1.295	1.837	2.168	2.270	2.161	1.756	1.230
5.4	-1.6	-1.0	-2.6	-0.2	1.0	0.1	1.9	-1.1
0.402	0.806	1.294	1.898	2.292	2.429	2.292	1.898	1.294
0.381	0.793	1.344	1.905	2.270	2.417	2.222	1.821	1.276
5.5	1.6	-3.7	-0.4	1.0	0.5	3.2	4.2	1.4
0.368	0.751	1.217	1.790	2.163	2.292	2.163	1.790	1.217
0.349	0.763	1.295	1.837	2.161	2.222	2.153	1.756	1.230
5.4	-1.6	-6.0	-2.6	0.1	3.2	0.5	1.9	-1.1
0.259	0.592	0.998	1.477	1.790	1.898	1.790	1.477	0.998
0.235	0.611	1.079	1.471	1.756	1.821	1.756	1.484	1.024
10.2	-3.1	-7.5	0.4	1.9	4.2	1.9	-0.5	-2.5
0.342	0.675	0.998	1.217	1.294	1.217	0.998	0.675	0.342
0.388	0.675	1.024	1.230	1.276	1.230	1.024	0.658	0.365
-11.9	0.0	-2.5	-1.1	1.4	-1.1	-2.5	2.6	-6.3
	0.342	0.592	0.751	0.806	0.751	0.592	0.342	
	0.365	0.577	0.719	0.748	0.719	0.577	0.365	
	-6.3	2.6	4.5	7.6	4.5	2.6	-6.3	
α_H	: 0.866							
RMS	: 3.8							
\bigcirc	: SUS 制御棒全引抜							
C	C : 計算値 (METHUSELAH-II/LATMON-2A)							
E	E : 実験値							
R	R : $(C/E - 1) \times 100 (\%)$							

図 2.1-6 チャンネル出力分布の実験値と計算値(METHUSELAH-II/LATMON-2A) の比較

		0.291	0.342	0.362	0.342	0.291		
		0.237	0.349	0.381	0.349	0.235		
		22.8	-2.0	-5.0	-2.0	23.8		
		0.488	0.655	0.776	0.819	0.776	0.655	0.489
		0.388	0.611	0.763	0.793	0.763	0.611	0.388
		25.8	7.2	1.7	3.3	1.7	7.2	26.0
		0.488	0.777	1.057	1.253	1.322	1.253	1.057
		0.388	0.693	1.079	1.295	1.344	1.295	1.079
		25.8	12.1	-2.0	-3.2	-1.6	-3.2	-2.0
		0.291	0.655	1.057	1.506	1.795	1.896	1.794
		0.235	0.611	1.079	1.458	1.837	1.905	1.837
		23.8	7.2	-2.0	2.3	-2.3	-0.5	-2.3
		0.342	0.776	1.253	1.795	2.146	2.268	2.145
		0.349	0.763	1.295	1.837	2.168	2.270	2.161
		-2.0	1.7	-3.2	-2.3	-1.0	-0.1	-0.7
		0.362	0.819	1.322	1.896	2.268	2.399	2.268
		0.381	0.793	1.344	1.905	2.270	2.417	2.222
		-5.0	3.3	-1.6	-0.5	-0.1	-0.7	2.1
		0.342	0.776	1.253	1.794	2.145	2.268	2.144
		0.349	0.763	1.295	1.837	2.161	2.222	2.153
		-2.0	1.7	-3.2	-2.3	-0.7	2.1	-0.4
		0.291	0.655	1.057	1.506	1.794	1.895	1.793
		0.235	0.611	1.079	1.471	1.756	1.821	1.756
		23.8	7.2	-2.0	2.4	2.2	4.1	2.1
		0.488	0.777	1.057	1.252	1.321	1.252	1.056
		0.388	0.675	1.024	1.230	1.276	1.230	1.024
		25.8	15.1	3.2	1.8	3.5	1.8	3.1
		0.488	0.655	0.776	0.818	0.775	0.654	0.487
		0.365	0.577	0.719	0.748	0.719	0.577	0.365
		33.7	13.5	7.9	9.4	7.8	13.3	33.4
	RMS : 5.3 (%)	0.291	0.342	0.361	0.342	0.290		
		0.221	0.329	0.359	0.329	0.221		
		31.7	4.0	0.6	4.0	31.2		

(○) : SUS 制御棒全引抜

C
E
R

C : 計算値 (METHUSELAH-II/CITATION)

E : 実験値

R : (C/E - 1) × 100 (%)

図 2.1-7 チャンネル出力分布の実験値と計算値(METHUSELAH-II / CITATION)の比較

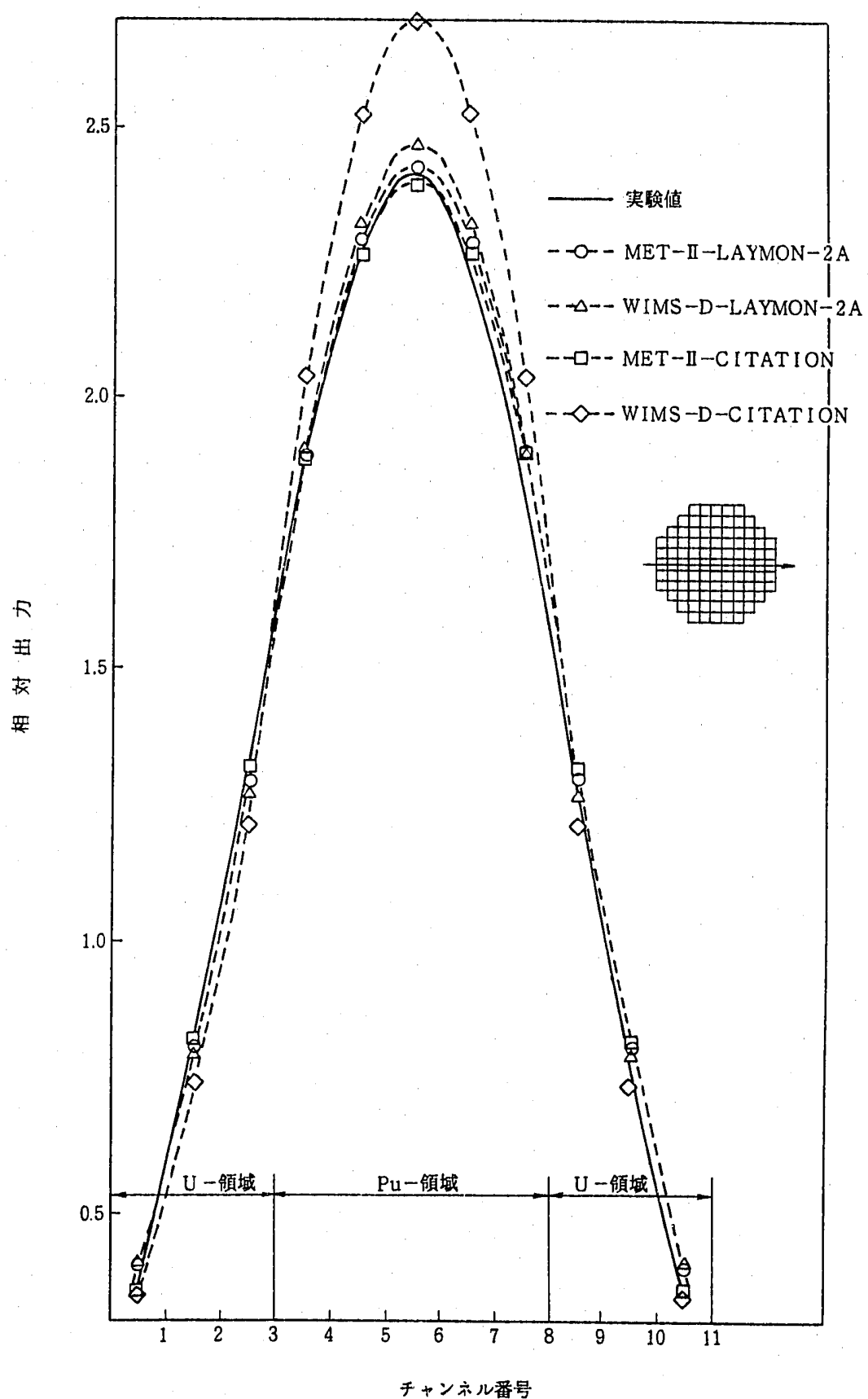
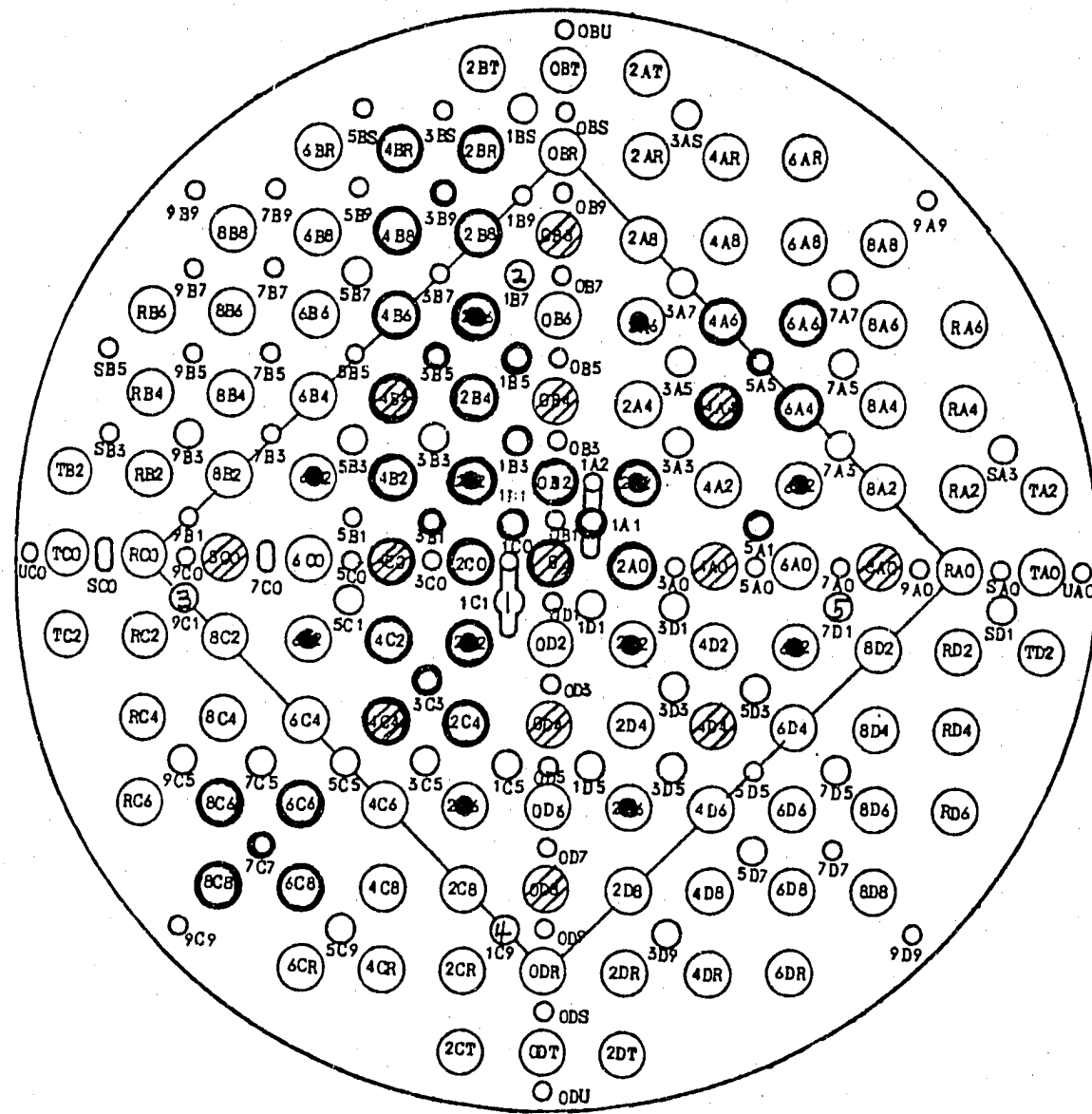


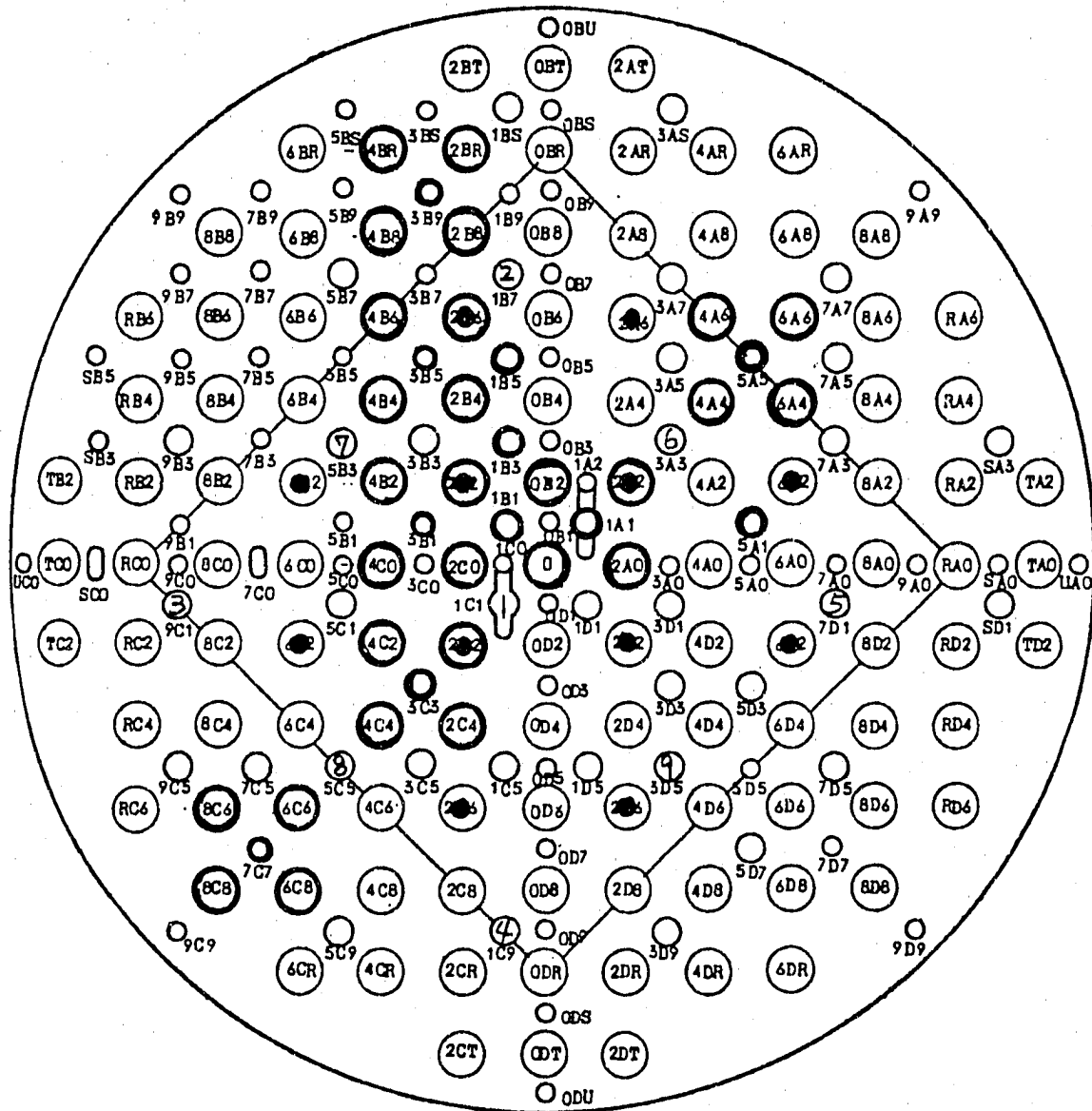
図 2.1-8 DCA(Pu-U)2の領域炉心における実験値と計算値との径方向出力分布の比較



- 0.7% EU - 0% Void (13 体)
 - 1.2% EU - 0% Void (96 体)
 - 1.5% EU - 0% Void (12 体)
 - Channels of Cuwires being inserted

図2.1-9 DCAチェスボードB炉心

「チェスボード炉心実験」⁽¹⁴⁾より引用



- 1.2% EU - 0% Void (109 体)
- 1.5% EU - 0% Void (12 体)
- Channels of Cu wires being inserted

図 2.1-10 DCA チェスボード D 炉心

「チェスボード炉心実験」⁽¹⁴⁾より引用

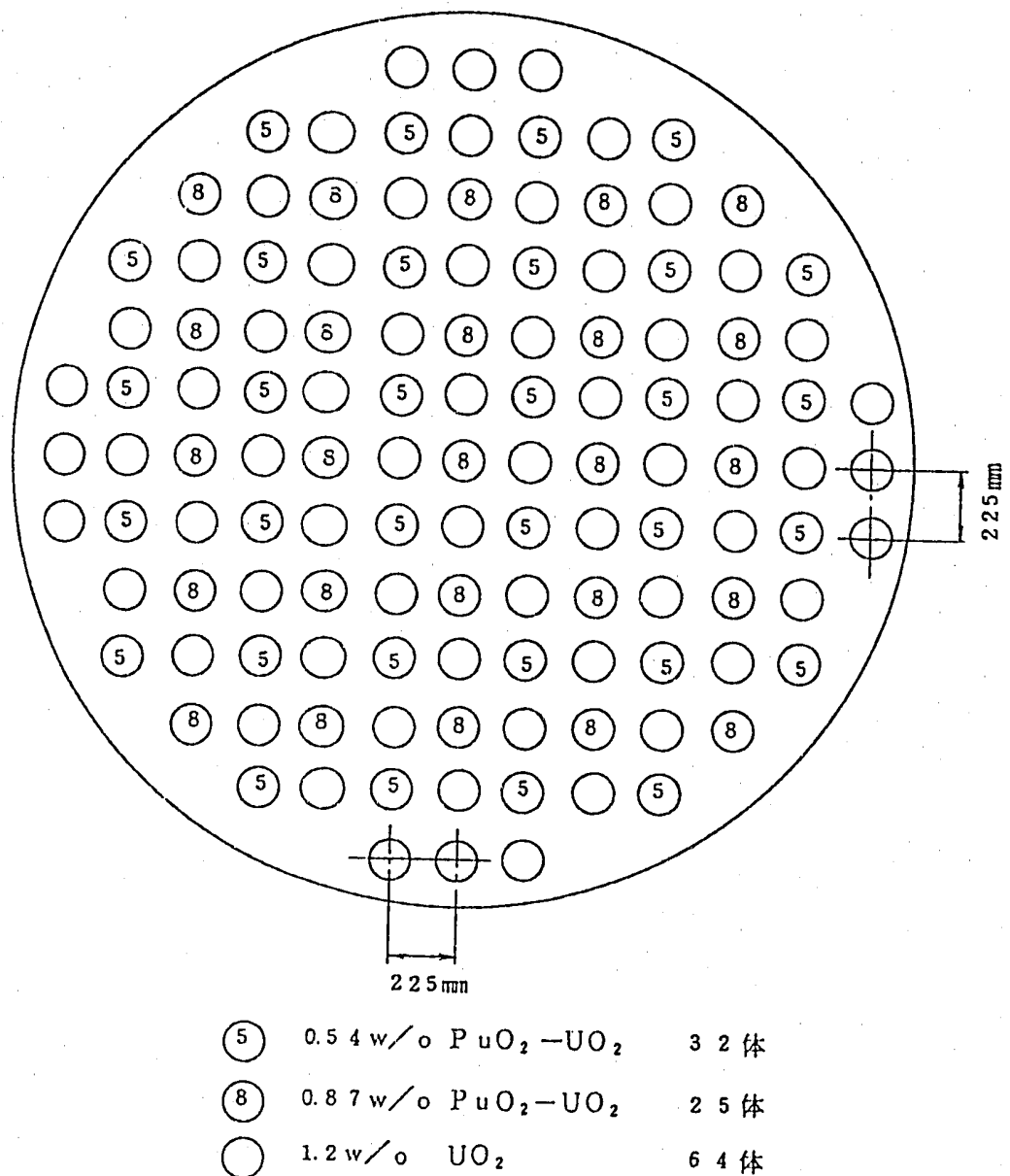


図 2.1-11 DCA—様分散(C2-0-3)炉心

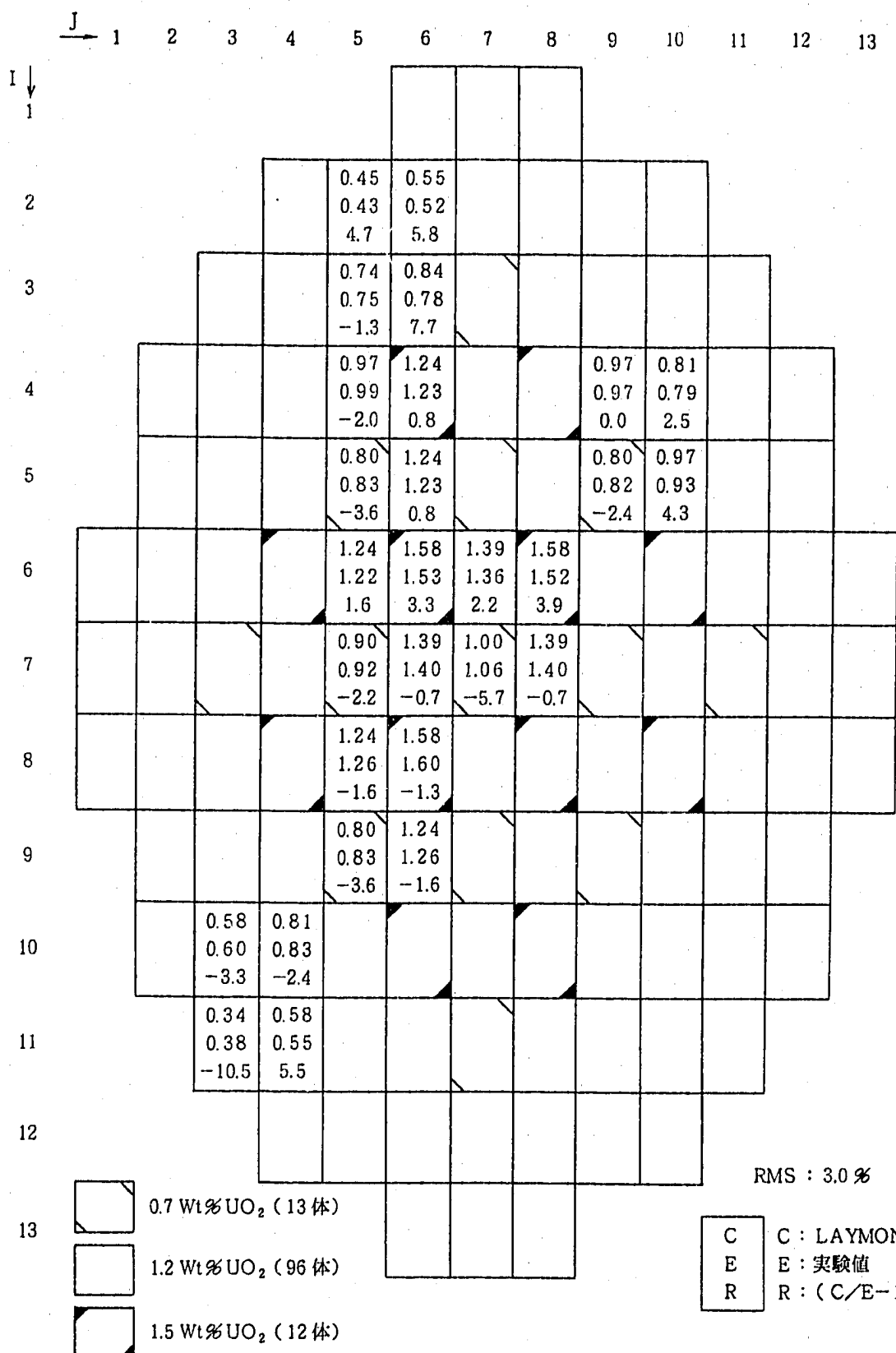


図 2.1 - 12 DCA チェスボード B 炉心におけるチャンネル出力分布実験値と
LAYMON-2A との比較

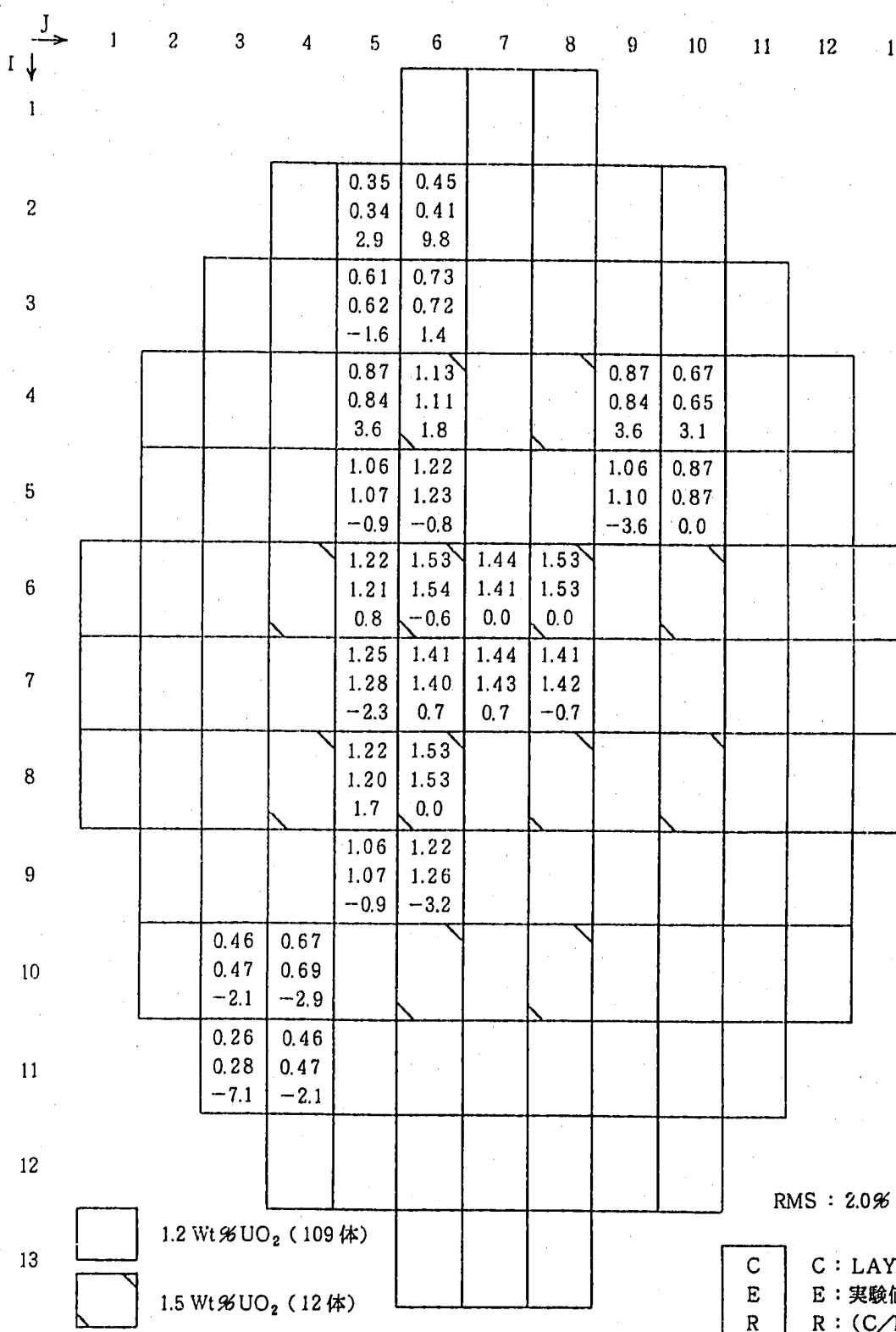
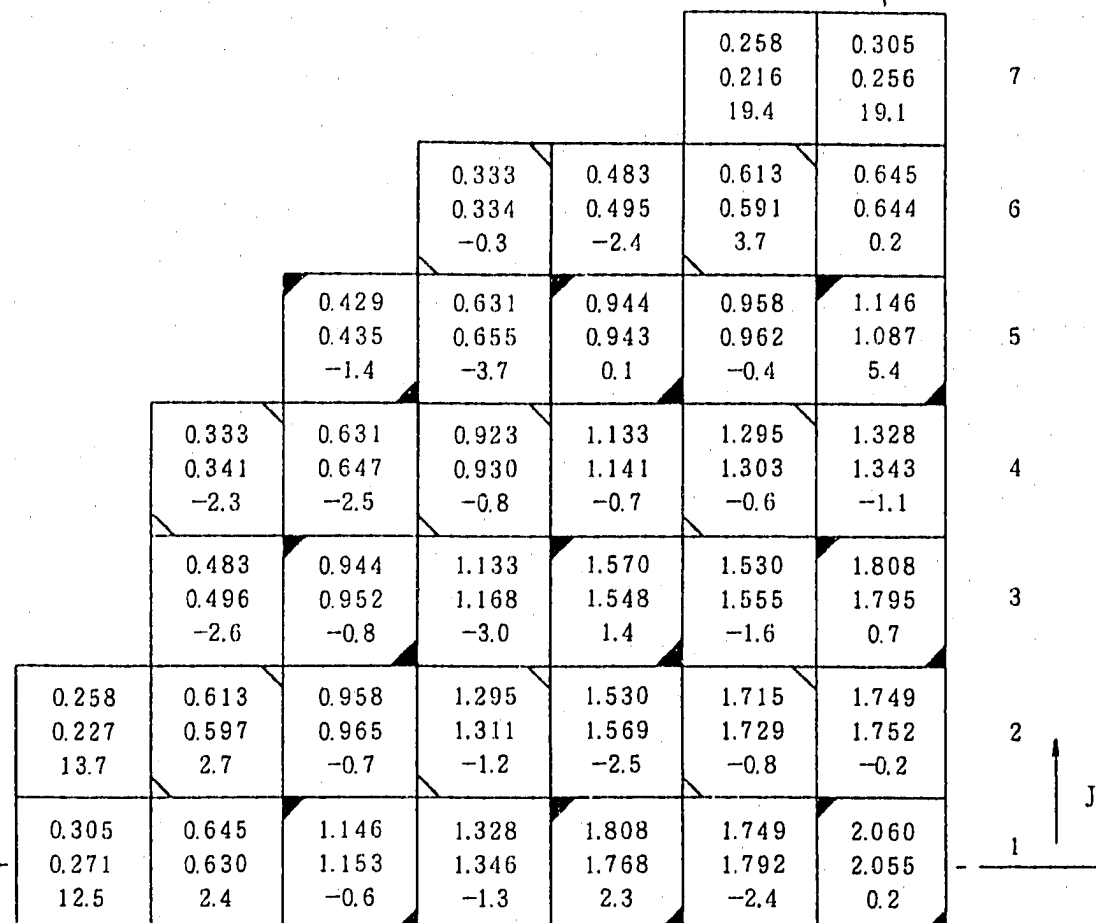


図 2.1 - 13 DCA チェスボード D 炉心におけるチャンネル出力分布実験値と
LAYMON-2Aとの比較



7

6

5

4

3

2

1

I

J

C

E

R

C : LAYMON-2A

E : 実験値

RMS : 2.4%

1.2 Wt% UO₂ (64 体)

0.54 Wt% Pu (32 体)



0.87 Wt% Pu (25 体)

図 2.1 - 14 DCA一様分散(C2-0-3)炉心におけるチャンネル出力分布実験値と
LAYMON-2Aとの比較

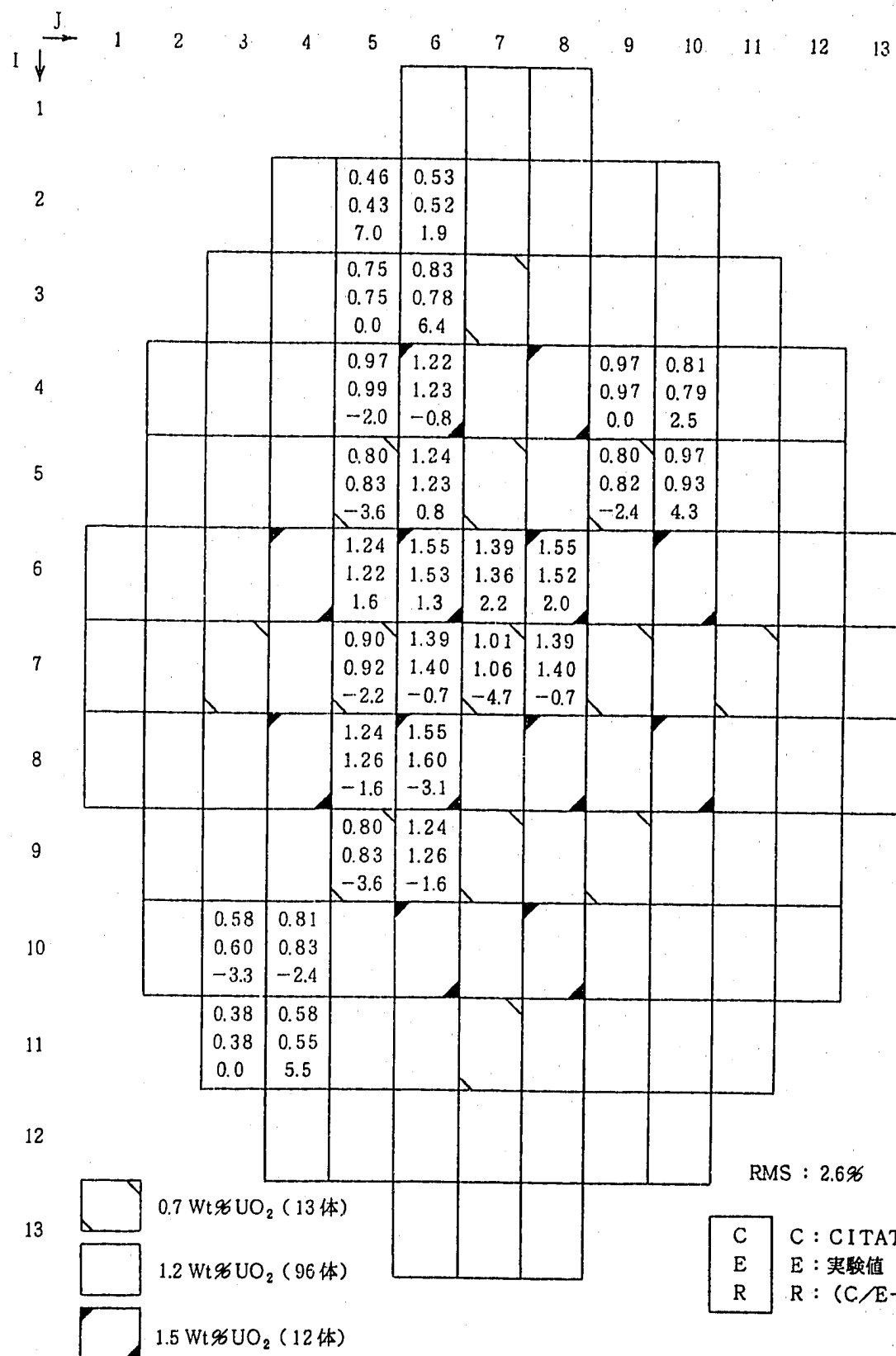


図 2.1-15 DCA チェスボード B 炉心におけるチャンネル出力分布実験値と CITATIONとの比較

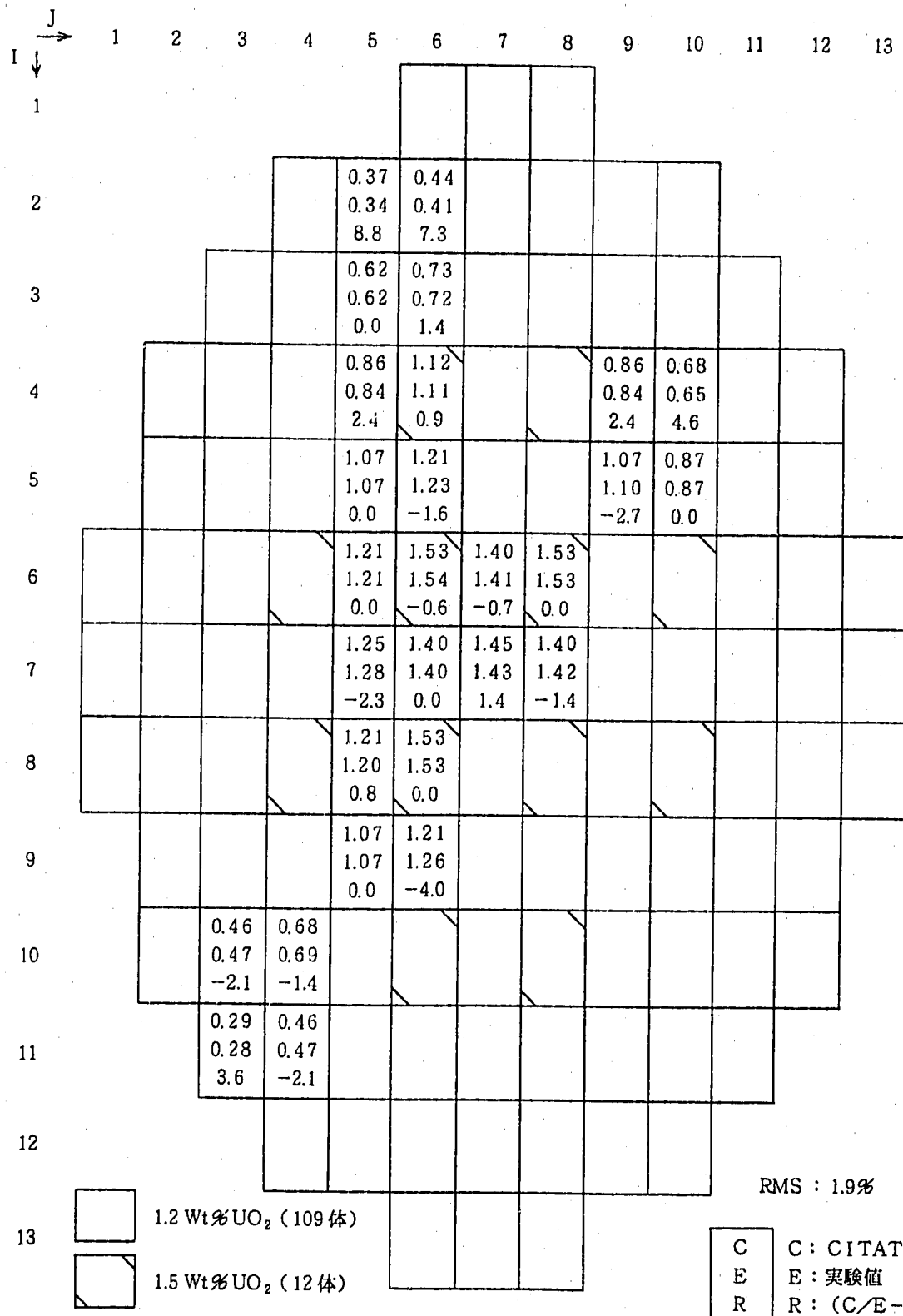
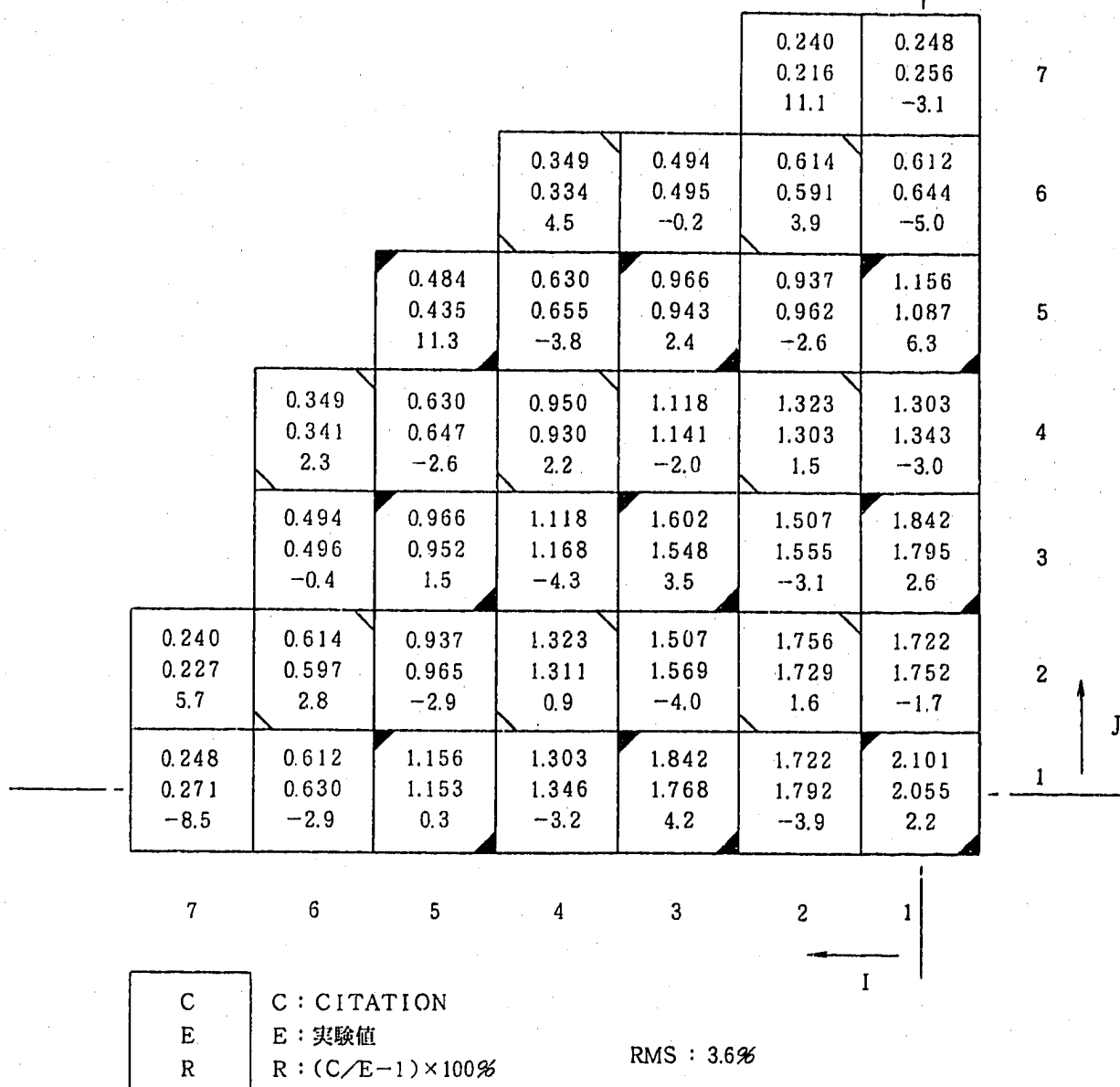


図 2.1-16 DCA チェスボード D 炉心におけるチャンネル出力分布実験値と
CITATIONとの比較



C

C : CITATION

E

E : 実験値

R

R : $(C/E - 1) \times 100\%$

RMS : 3.6%

1.2 Wt% UO₂ (64 体)

0.54 Wt% Pu (32 体)



0.87 Wt% Pu (25 体)

図 2.1-17 DCA一様分散(C2-0-3)炉心におけるチャンネル出力分布実験値と
CITATIONとの比較

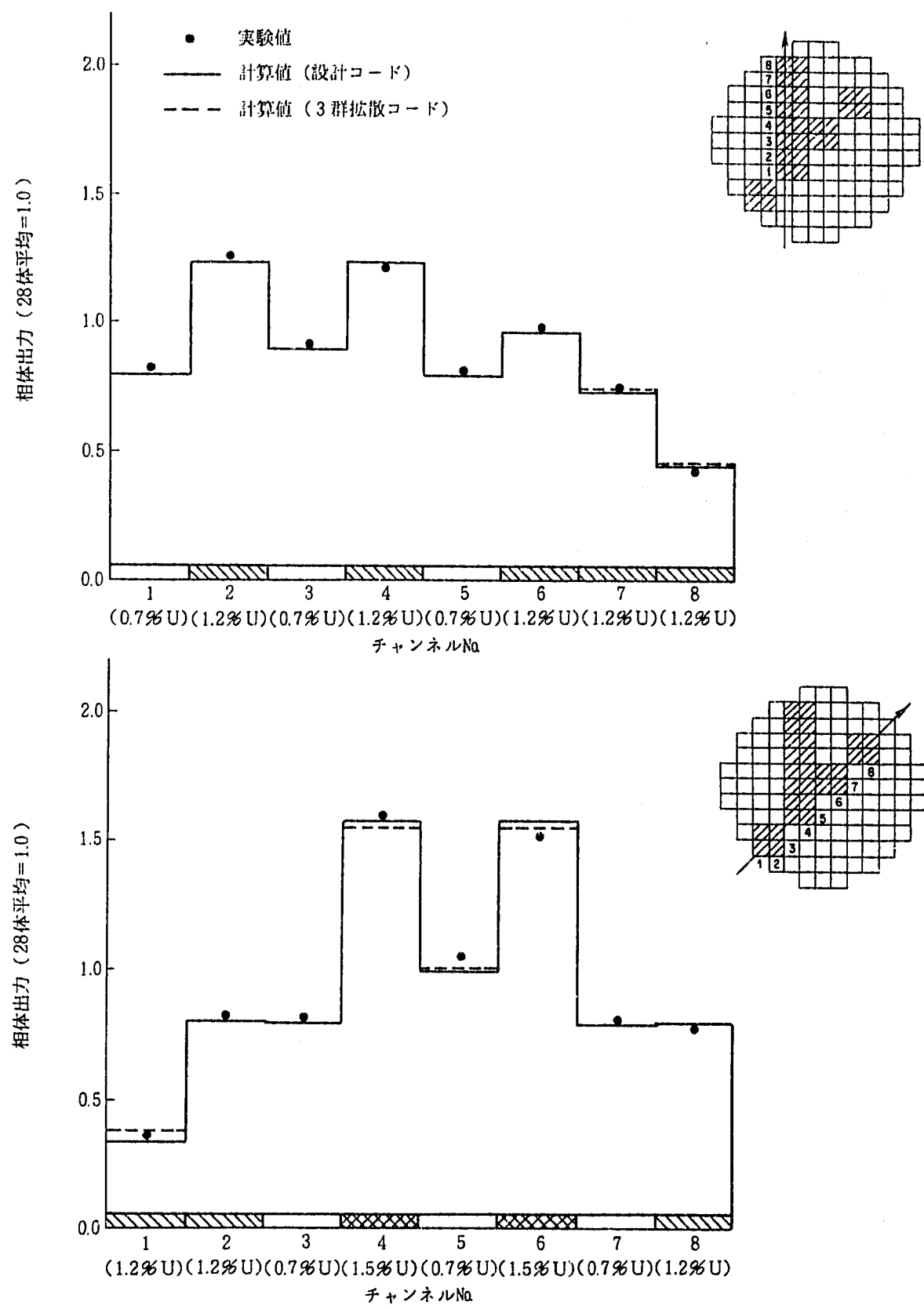


図 2.1-18 DCA チェスボード B 炉心におけるチャンネル出力分布実験値と計算値との比較

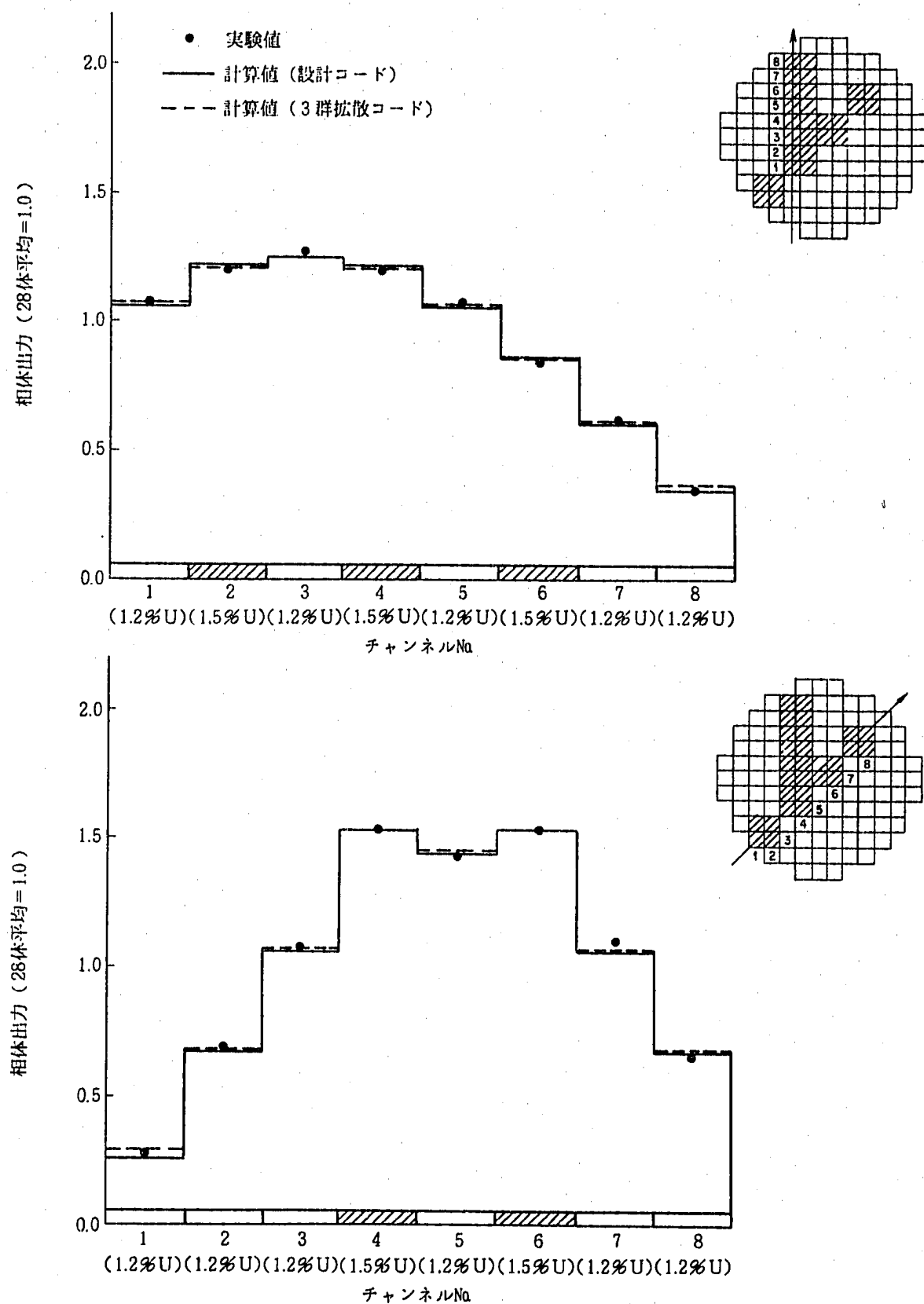


図 2.1-19 DCA チェスボード D 炉心におけるチャンネル出力分布実験値と計算値との比較

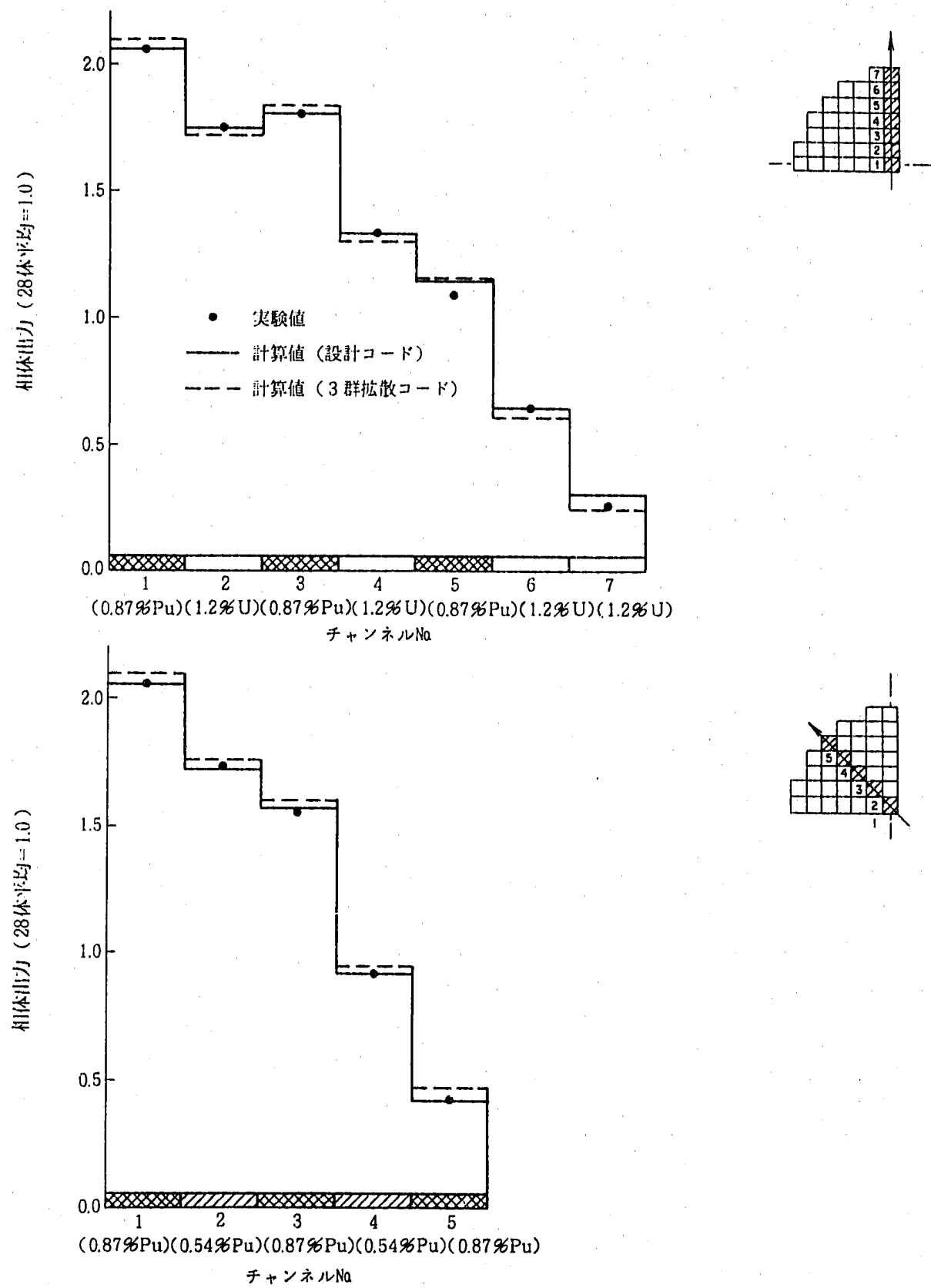


図 2.1-20 DCA一様分散(C2-0-3)炉心におけるチャンネル出力分布実験値と計算値との比較

2.2 新吸収面積法によるSUS制御棒反応度価値計算精度解析

WIMS-ATRコードにより求めた新吸収面積法⁽⁷⁾に基づくSUS制御棒定数と2.1節で求めた境界定数を使用してLAYMON-2AコードによりSUS制御棒反応度価値を解析し、解析結果と実験データを比較することにより、計算精度を評価する。又、計算精度の評価に当っては、WIMS-ATRコードにより求めた3群格子定数（新吸収面積法に基づく制御格子定数も含む）を用いたCITATIONコードによる3群解析も実施し、LAYMON-2Aコードによる解析結果と比較する。

(1) DCA実験体系

図2.2-1に計算精度解析を実施したSUS制御棒入りDCA炉心を示す。SUS制御棒が炉心に挿入されていることを除いて使用する燃料及びその配置は2.1節(1)で示した通りである。即ち、Pu-U2領域炉心であり、中央領域にPuO₂-UO₂燃料25体、外側領域にUO₂燃料72体を250mmの格子ピッチで配置する炉心である。

SUS制御棒は、図2.2-1に示すように炉心のほぼ中央の減速材重水領域に1本挿入されている。制御棒の構造を図2.2-2に示す。制御棒は、図2.2-3に示すように支持具により上部グリッド板から炉心内に吊り下げられている。

制御棒反応度価値の測定値は、制御棒挿入臨界炉心から制御棒を完全に引抜いたときに炉心に投入される正の反応度により求められる。臨界重水々位および近傍での水位反応度係数の測定値を表2.2-2に示す。測定した重水々位と水位反応度係数を図2.2-4に示す。また、このときの制御棒挿入長の変化により求められた制御棒の反応度価値を表2.2-3及び図2.2-5に、%ΔK/K単位で表わした制御棒反応度価値の実験値を表2.2-4に示す。

(2) 解析方法

SUS制御棒反応度価値の解析は、WIMS-ATRコードより求めた新吸収面積法に基づくSUS制御棒定数と核定数及び2.1節で求めた境界定数を使用して設計コードであるLAYMON-2Aにより実施する。又、併せてWIMS-ATRコードにより求めた3群格子定数を用いたCITATIONコードによる3群解析も実施する。

新吸収面積法に基づくLAYMON-2Aコードの制御棒反応度δK_{cr}の計算法は次の通りである。

δK_{cr}は次式で定義される。

$$\delta K_{cr} \equiv \left\{ K_{\infty}^+ (E, 100) - K_{\infty}^- (E, 100) \right\} / K_{\infty}^- (E, 100) \quad (1)$$

ここで、 $K_{\infty}^- (E, 100)$, $K_{\infty}^+ (E, 100)$ は出力 100%, 燃焼度 E 時の制御棒未挿入, 制御棒挿入時の無限増倍率 (K_{∞}) である。

中性子 3 群無限体系における中性子拡散方程式より, 制御棒挿入時の K_{∞}^- は次式で表される。

$$K_{\infty}^- = \frac{1}{\Sigma_{r1} + \Sigma_{a1}} \left\{ \nu \sum f_1 + \frac{\Sigma_{r1}}{\Sigma_{r2} + \Sigma_{a2}} \cdot F_2 \cdot \nu \sum f_2 + \frac{\Sigma_{r1}}{\Sigma_{r2} + \Sigma_{a2}} \cdot \frac{\Sigma_{r2}}{\Sigma_{a3}} \cdot F_2 \cdot F_3 \cdot \nu \sum f_3 \right\} \quad (2)$$

$$K_{\infty}^- = \frac{1}{\Sigma_{r1} + \Sigma_{a1}} \left\{ \nu \sum f_1 + \frac{\Sigma_{r1}}{\Sigma_{r2} + \Sigma_{a2}} \cdot \nu \sum f_2 + \frac{\Sigma_{r1}}{\Sigma_{r2} + \Sigma_{a2}} \cdot \frac{\Sigma_{r2}}{\Sigma_{a3}} \cdot \nu \sum f_3 \right\} \quad (3)$$

ここで,

$\nu \sum f_1$, $\nu \sum f_2$, $\nu \sum f_3$: 1 群, 2 群, 3 群のマクロ中性子生成断面積

Σ_{a1} , Σ_{a2} , Σ_{a3} : 1 群, 2 群, 3 群のマクロ中性子吸収断面積

Σ_{r1} , Σ_{r2} : 1 群, 2 群, 3 群のマクロ中性子除去断面積

であり, 格子計算コード内で計算される。

(2), (3)式で計算される K_{∞}^+ , K_{∞}^- を (1) 式に代入することにより δK_{CR} が計算される。

又, (2), (3)式中の F_2 , F_3 は吸収面積法により求められる制御棒定数であり, 次式を WIMS-ATR コード内に組込むことにより計算される。

$$\left. \begin{aligned} F_2 &= \frac{A_c - A_2}{A_c} \\ F_3 &= \frac{A_c - A_3}{A_c} \end{aligned} \right\} \quad (4)$$

ここで, A_2 , A_3 は熱外, 熱中性子の吸収面であり, 次式により計算される。

$$A_2 = \frac{2 \pi r_0}{k_2 \xi} [I_1(k_2 R_0) K_1(k_2 r_0) - I_1(k_2 r_0) K_1(k_2 R_0)] \quad (5)$$

$$A_3 = \frac{2\pi r_0 \xi^{-1} k_2}{k_3^2 - k_1^2} [I_1(k_2 R_0) K_1(k_2 r_0) - I_1(k_2 r_0) K_1(k_2 R_0)] \\ + \frac{2\pi r_0 \zeta}{k_3 \eta} [I_1(k_3 R_0) K_1(k_3 r_0) - I_1(k_3 r_0) K_1(k_3 R_0)] \quad (6)$$

(4)式中のA cは次式で計算される。

$$A_c = \pi R_0^2 \quad (7)$$

(5), (6), (7)式中の各パラメータは次式で計算される。

$$\left. \begin{array}{l} k^2_2 = (\sum a_2 + \sum r_2) / D_2 \\ k^2_3 = \sum a_3 / D_3 \end{array} \right\} \quad (8)$$

$$\xi = [I_0(k_2 r_0) K_1(k_2 R_0) + I_1(k_2 R_0) K_0(k_2 r_0) \\ + k_2 d_2 \{ I_1(k_2 R_0) K_1(k_2 r_0) - I_1(k_2 r_0) K_1(k_2 R_0) \}] \quad (9)$$

$$\zeta = 1 - \frac{\xi^{-1}}{1 - (k_2/k_3)^2} [I_1(k_2 R_0) \cdot K_0(k_2 r_0) + I_0(k_2 r_0) \\ \cdot K_1(k_2 R_0) + k_2 d_3 \{ I_1(k_2 R_0) K_1(k_2 r_0) \\ - I_1(k_2 r_0) K_1(k_2 R_0) \}] \quad (10)$$

$$\eta = I_1(k_3 R_0) K_0(k_3 r_0) + I_0(k_3 r_0) K_1(k_3 R_0) \\ + k_3 d_3 \{ I_1(k_3 R_0) K_1(k_3 R_0) - I_1(k_3 r_0) K_1(k_3 R_0) \} \quad (11)$$

$$\left. \begin{array}{l} d_2 = 3 C_2 \cdot D_2 \\ d_3 = 3 C_3 \cdot D_3 \end{array} \right\} \quad (12)$$

ここで、各(8)～(12)式中の各記号は

D_2, D_3 : 2群、3群の拡散係数

C_2, C_3 : 2群、3群の制御棒定数 (=外挿距離の係数)

d_2, d_3 : 2群、3群の制御棒表面の中性子外挿距離

である。

ここで、これまでの吸収面積法では経験的に(12)式の拡散係数 D_2, D_3 をセル定数ではなく重水の拡散係数 D_{20}, D_{30} を使用している。

すなわち、(12)式は

$$\left. \begin{aligned} d_2 &= 3 C_2 \cdot D_2 \\ d_3 &= 3 C_3 \cdot D_3 \end{aligned} \right\} \quad (13)$$

を使用している。

しかし、今回使用する新吸収面積法では(12)式のまま、すなわち拡散係数 D_2, D_3 はセル定数を使用する。

(13)式に使用する S U S 制御棒の C 定数 (C_2, C_3) は、表 2.2-5 に示す値を使用し、最終的に(4)式で吸収面積法の F 定数 (F_2, F_3) が計算される。計算された F_2, F_3 を表 2.2-6 に示す。LAYMON-2A コードでは、表 2.2-6 に示す F_2, F_3 を使用して(1)式に基づき制御棒反応度 δK_{CR} が計算され、使用される。一方、CITATION コードでは F_2, F_3 で補正された 3 群格子定数がそのまま使用される。CITATION コードによる炉心解析体系を図 2.2-6 に示す。

計算で得られた実効増倍係数 (k_{eff}) から制御棒反応度計算値 (ρc) は、制御棒挿入前の臨界炉心の k_{eff} (k_1) と制御棒挿入後の未臨界炉心の k_{eff} (k_2) を使用して、

$$\rho c = 1 - \frac{k_2}{k_1}$$

で算出される。

本式は、臨界実験より得られる ρ が上式に対応する⁽⁸⁾ ことから前回の B+C 制御棒にも使用した。

(3) 解析結果

(1)に示した実験体系、実験条件にて、(2)で示す解析方法で WIMS-ATR/LAYMON-2A コード及び WIMS-ATR/CITATION コードで S U S 制御棒反応度価値の解析を実施し、実験データと比較することによって計算精度を評価した。

結果を表 2.2-7 に示す。

表 2.2-7 より、S U S 制御棒反応度価値の計算値は、LAYMON-2A コードで 0.953% $\Delta K/K$ 、CITATION コードで 1.160% $\Delta K/K$ と LAYMON-2A コードと比べ CITATION コードの方が約 20% 大きな値を示す。これは、2.1 節で示したごとく WIMS-ATR/CITATION コードで計算した出力分布が図 2.1-8 に示すごとく実験値及び WIMS-ATR/LAYMON-2A の計算値と比べ S

U S 制御棒が挿入される炉心中央部で大きな値を示し、その結果、中央部に挿入される S U S 制御棒の反応度価値が過大評価されるためである。これを、インポータンスを使用してより定量的に考えてみると、一般に制御棒反応度価値は挿入される予定の周囲 4 チャンネルの平均インポータンスに比例することが経験的に判っているので、表 2. 2 - 8 に示すごとく実験値、L A Y M O N - 2 A の計算値及びC I T A T I O N の計算値のインポータンスを比較してみた。表 2. 2 - 8 より、L A Y M O N - 2 A のインポータンスは実験値と比較的良く一致するが、C I T A T I O N のインポータンスは実験値と比べ約25%，L A Y M O N - 2 A と比べ約20%大きな値を示すことがわかる。それゆえ、L A Y M O N - 2 A と比べC I T A T I O N が制御棒反応度価値を約20%大きく評価する原因是約20%インポータンスを大きく評価しているためである。インポータンス、即ち出力分布を中央部でC I T A T I O N が大きく評価する原因是、即に2. 1 節(3)で考察したのでここでは触れないことにする。

この結果、S U S 制御棒反応度価値の計算誤差は、表 2. 2 - 7 に示すごとくW I M S - A T R / L A Y M O N - 2 A コードでは- 5. 6 %と従来の設計誤差である±10%以内に入り、比較的良く実験値と一致するが、W I M S - A T R / C I T A T I O N コードでは+ 14. 9 %と過大評価する。しかし、この誤差の原因は、上述したようにP u - U 2 領域炉心のP u 領域で出力分布を過大評価することにあり、実証炉のようなM O X (P u) 全装荷炉心ではこのような誤差は発生しないものと思われる。実際、L A Y M O N - 2 A コードで境界定数を調整し、出力分布が実験値とよく一致するような状態で解析すると、S U S 制御棒反応度価値の計算誤差は表 2. 2 - 7 に示すごとく- 5. 6 %と比較的小さな値を示し、制御棒反応度価値計算手法そのものは±10%以内の精度有していると云える。

参考のために、表 2. 2 - 9 に他の解析手法との精度比較を表 2. 2 - 10 に前回実施したB、C 制御棒反応度価値の計算精度比較を併せて示す。表 2. 2 - 10 より、設計手法であるW I M S - A T R / L A Y M O N - 2 A コードによる制御棒反応度価値の計算精度は100%ボイド時を除く±10% (C/E-1) 以内と云える。

表 2.2 - 1 DCA SUS制御棒の幾何形状と物性値・

制御棒	領域	元素	密度 (g / cm ³)
SUS	吸収材 案内管	SUS 304	7.93

実験制御棒	領域	物性値	組成 (wt%)
SUS	吸収材 (SUS 304)	Fe Cr Ni Mn Si Ca P S	7.036 18.36 9.00 1.80 0.39 0.05 0.03 0.01

*DCA 実験レポート⁽¹³⁾より引用

表 2.2-2 DCA制御棒引抜き高さにおける臨界重水水位と重水水位反応度係数実験値・

装荷燃料：0.54wt% PuO₂-UO₂燃料25体 & 1.2wt% UO₂燃料72体
制御棒位置：1C1 (PuO₂-UO₂領域)

制御棒	引抜き高さ (mm)	冷却材水位 (mm)	臨界重水水位 (mm)	重水水位反応度係数 (ϕ/cm)
—	全引抜	920	920.2	55.7 ± 2.4
SUS	605	930	930.8	49.4 ± 2.0
	505	935	938.4	50.6 ± 2.0
	0	960	956.4	46.6 ± 2.0

*参考文献 DCA実験レポート⁽¹³⁾より引用

表 2.2-3 DCA制御棒引抜き高さにおける臨界重水水位と反応度価値実験値・

装荷燃料：0.54wt% PuO₂-UO₂-25&1.2wt% UO₂-72

制御棒位置：1C1(PuO₂-UO₂ region)

制御棒	引抜き高さ (mm)	挿入割合 (%)	臨界重水水位 (mm)	臨界重水水位相対値 (mm)	反応度価値 (\\$)
—	—	0	920.2	0.0	—
SUS	605	35	930.8	10.6	0.55 ± 0.07
	505	46	938.4	18.2	0.94 ± 0.07
	0	100	956.4	36.2	1.82 ± 0.07

*参考文献 DCA実験レポート⁽¹³⁾より引用

表 2.2-4 DCA制御棒反応度の実験値^{*}

制御棒	炉心底部から の制御棒 位置 (mm)	制御棒反応度	
		\$	%ΔK/K * 2
SUS	605	0.55 ± 0.07	0.30 ± 0.04
	505	0.94 ± 0.07	0.52 ± 0.04
	0	1.82 ± 0.07	1.01 ± 0.04

*1 ; DCA実験レポート⁽¹³⁾より引用

* 2 ; $\beta_{eff} = 0.00553$

尚、 β_{eff} の値は、DCA使用値を用いた。

表2.2-5 S U S制御棒のC定数

燃 料	C ₂	C ₃
0.54W/OPuO ₂ -UO ₂	50.78	3.12

表2.2-6 S U S制御棒のF定数

燃 料	コ ー ド	F ₂	F ₃	F ₂ F ₃
0.54W/OPuO ₂ -UO ₂	WIMS-ATR	9.978-1	9.287-1	9.267-1
	METHUSELAH-II	9.978-1	9.291-1	9.271-1

表 2.2 - 7 DCA実験データに基づくSUS制御棒反応度価値の
WIMS-ATRコードの計算精度

解 析 コ ー ド	反応度価値 (% $\Delta K / K$)		計算誤差 (%) $(C/E-1) \times 100$
	実験値 (E)	計算値 (C)	
L A Y M O N - 2 A	1. 0 1	0. 9 5 3	- 5. 6
C I T A T I O N	1. 0 1	1. 1 6 0	1 4. 9

表 2.2-8 S U S 制御棒挿入周囲チャンネルのインポータンス

解 析 コ ー ド	S U S 制御棒挿入 周囲 4 チャンネルの 平均インポータンス*	計算値／実験値
実 驗 値	5. 1 5 0 5	1. 0
L A Y M O N - 2 A 計 算 値	5. 4 1 6 7	1. 0 5 2
C I T A T I O N 計 算 値	6. 4 1 1 7	1. 2 4 5

* $\sum_{i=1}^4 P_i^2 / 4$; P_i : S U S 制御棒挿入周囲
4 チャンネルの出力
(但し、S U S 制御棒全引抜時)

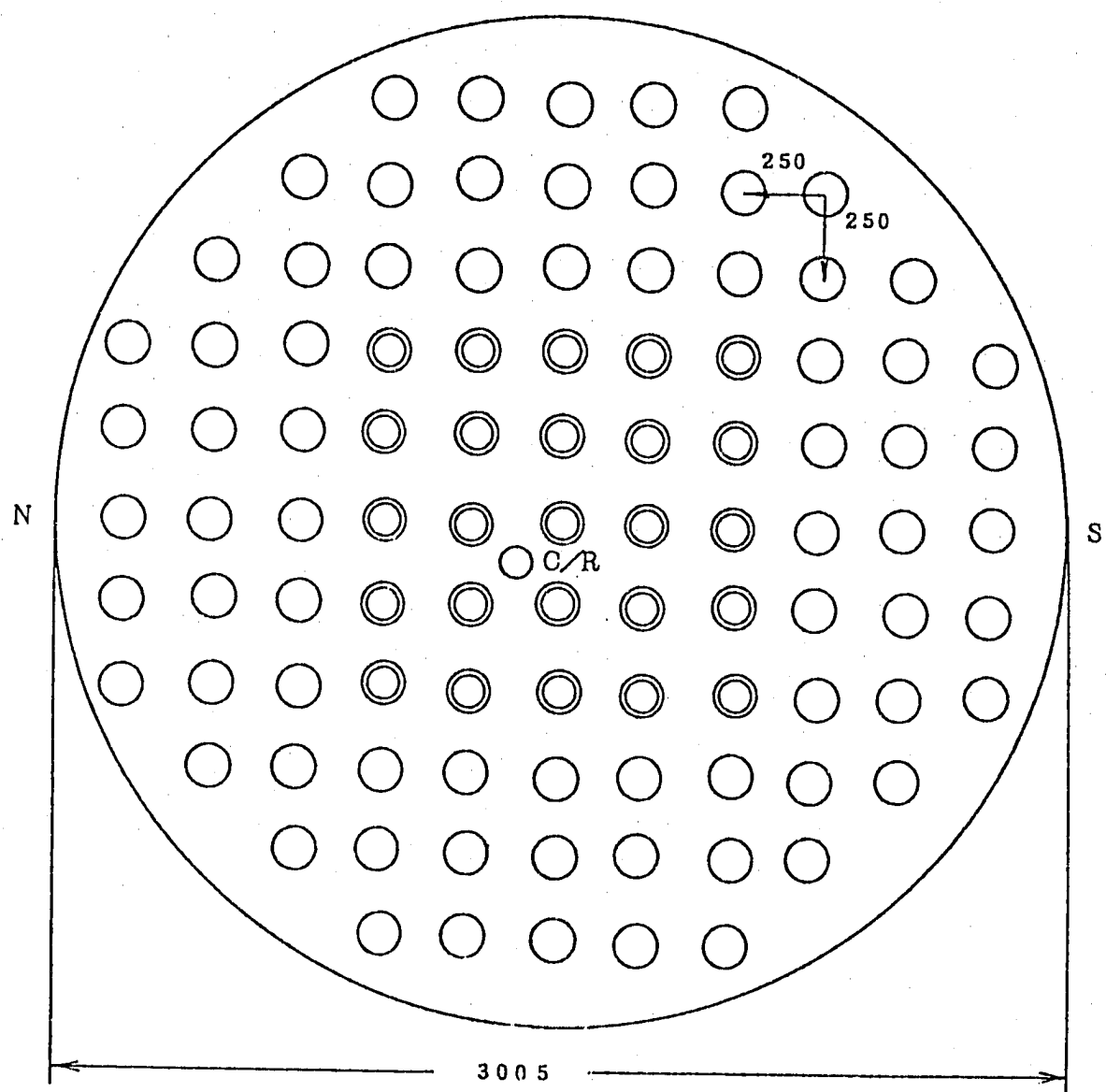
表2.2-9 DCA実験データに基づくSUS制御棒反応度価値の各種解析手法の計算精度

解 析 手 法 (格子計算コード／反応度価値計算コード)	反応度価値 (% ΔK/K)		計算誤差(%) (C/E-1) × 100
	実験値 (E)	計算値 (C)	
WIMS-ATR/LAYMON-2A	1.01	0.953	-5.6
WIMS-ATR/CITATION	1.01	1.160	14.9
METHUSELAH-II/LAYMON-2A	1.01	0.918	-9.1
METHUSELAH-II/CITATION	1.01	0.902	-10.7

表 2.2-10 制御棒反応度価値のWIMS-ATR/LAYMON-2Aコードの計算精度

解析コード	制御棒材質	プラント	炉心	制御棒挿入パターン	ボイド率(%)	実測値(E)(%ΔK/K)	計算値(C)(%ΔK/K)	計算誤差(C/E-1)(%)	
WIMS-ATR/ LAYMON-2A	SUS	B,C	0.54wt%PuO ₂ -1.2wt%UO ₂ 2領域炉心,格子ピッチ25cm	中央 1 本	0	1.01	0.95	-5.9	
					0	3.599	3.541	-1.6	
	DCA		1.2wt%UO ₂ , 1領域炉心, 格子ピッチ22.5cm	5A1+1B5+5C1+1D5	30	3.450	3.714	7.7	
					70	3.967	4.036	1.7	
					100	5.174	4.414	-14.7	
			0.54wt%PuO ₂ -1.2wt% UO ₂ , 2領域炉心, 格子ピッ チ22.5cm	5A1+1B5+5C1+1D5	0	4.171	3.939	-5.6	
					100	5.490	4.621	-15.8	
	ふげん		零出力炉心*, クリーンコールド, ボロン濃度12ppm	Mロッド(Eロッドで補償)	0	0.453	0.473	4.4	
				Mロッド[C, B, A, G ロッドで補償]	0	0.502	0.515	2.6	
				1Lロッド[Eロッドで 補償]	0	0.381	0.407	6.8	

* 解析に使用したLAYMON-2Aコードの径方向境界定数は定格出力時(第1BOC)の実績値(0.443)を使用



○ 1.2 wt% UO_2
(72チャンネル)
○ 0.54 wt% PuO_2
— UO_2 (25チャンネル)
C/R ○ 制御棒(SUS)

図2.2-1 DCA実験炉心径方向断面図

(DCA実験レポート⁽¹³⁾より引用)

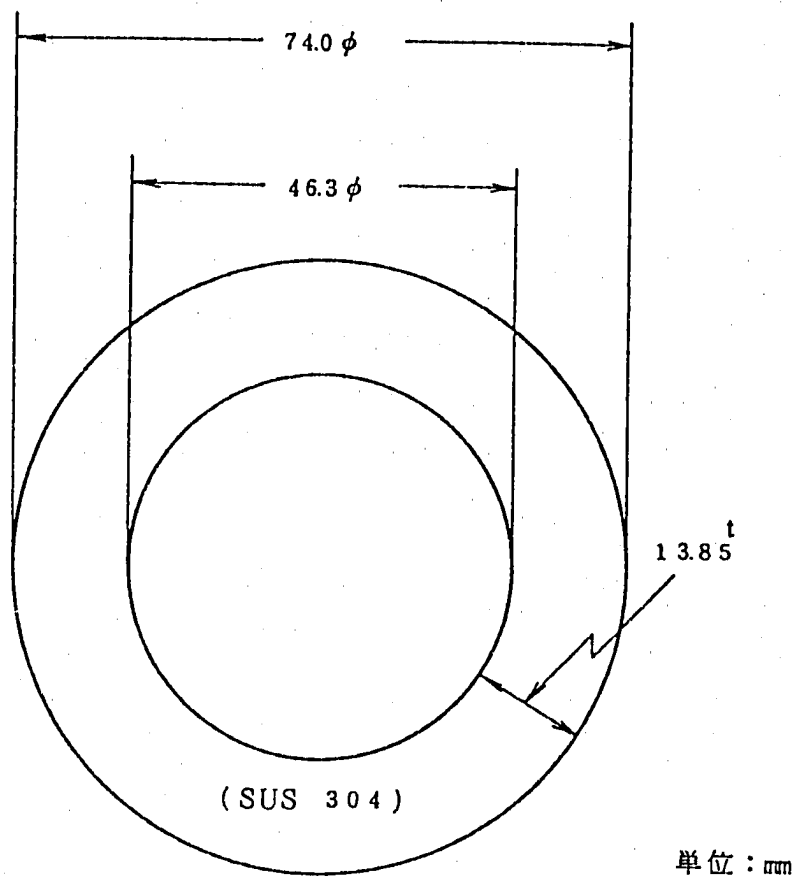


図 2.2-2 SUS制御棒の形状

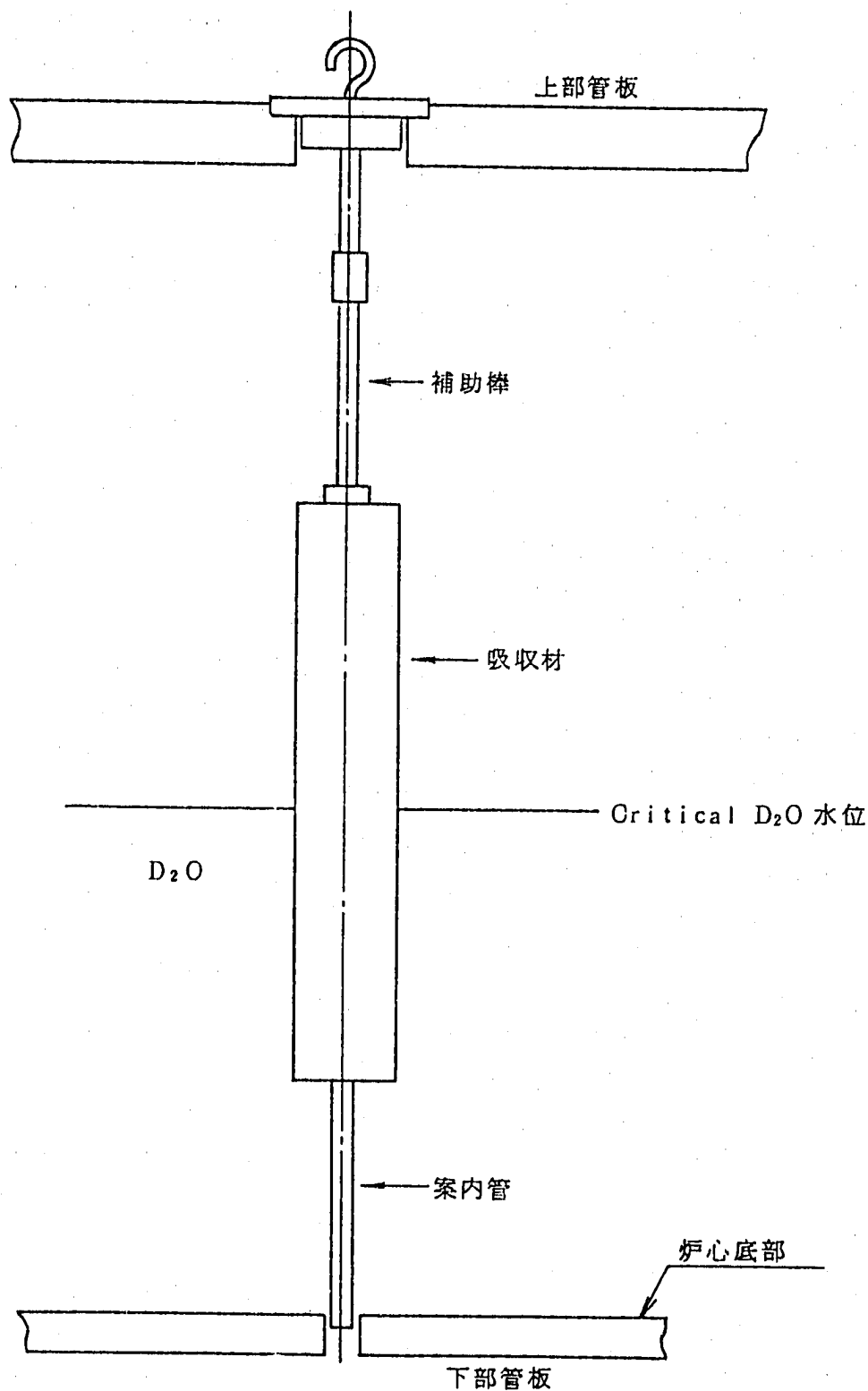


図2.2-3 制御棒軸方向装荷概略図

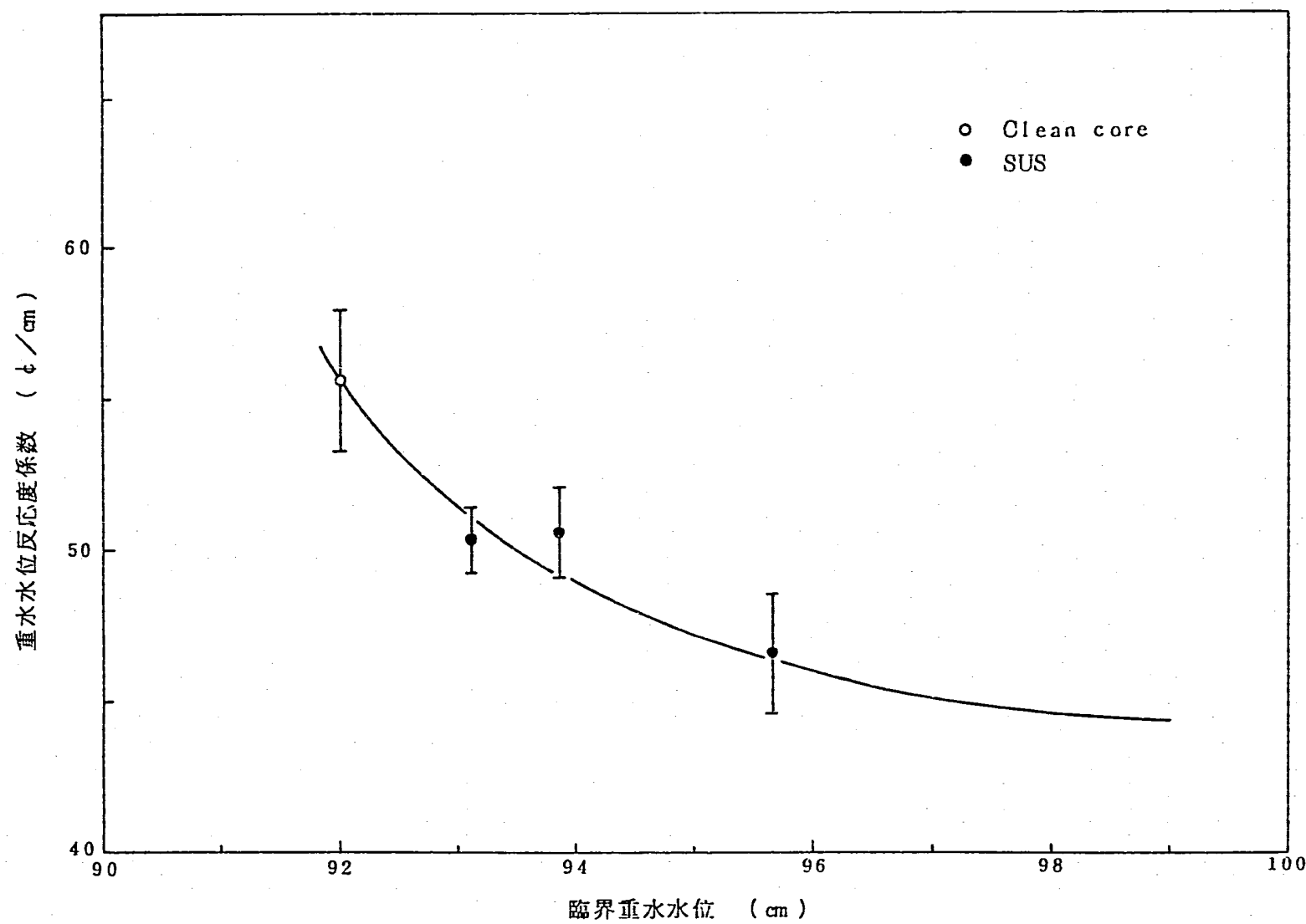


図 2.2-4 臨界重水水位と重水水位反応度係数
(DCA実験レポート⁽¹³⁾より引用)

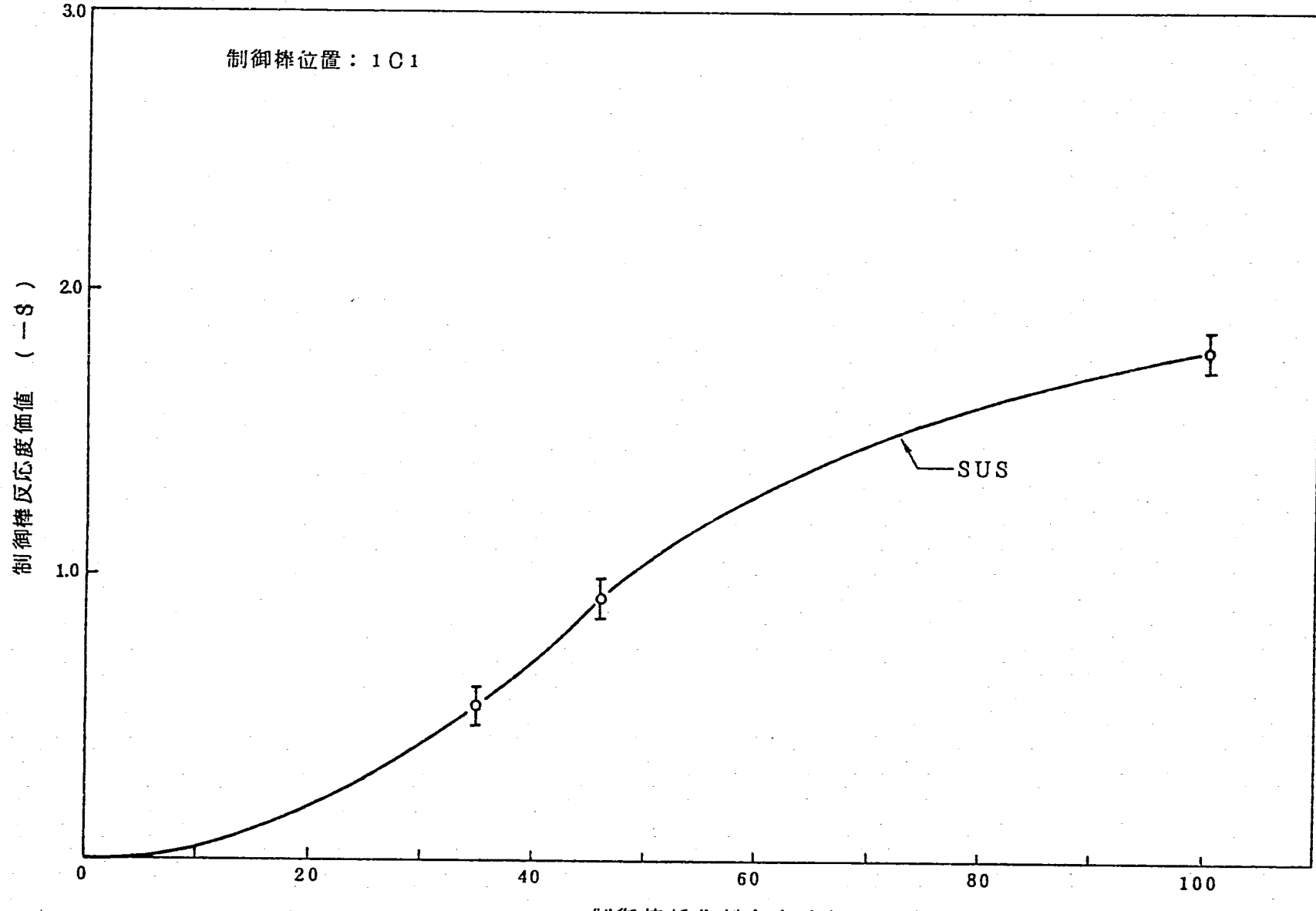


図 2.2-5 制御棒挿入割合と制御棒反応度
(DCA実験レポート⁽¹³⁾より引用)

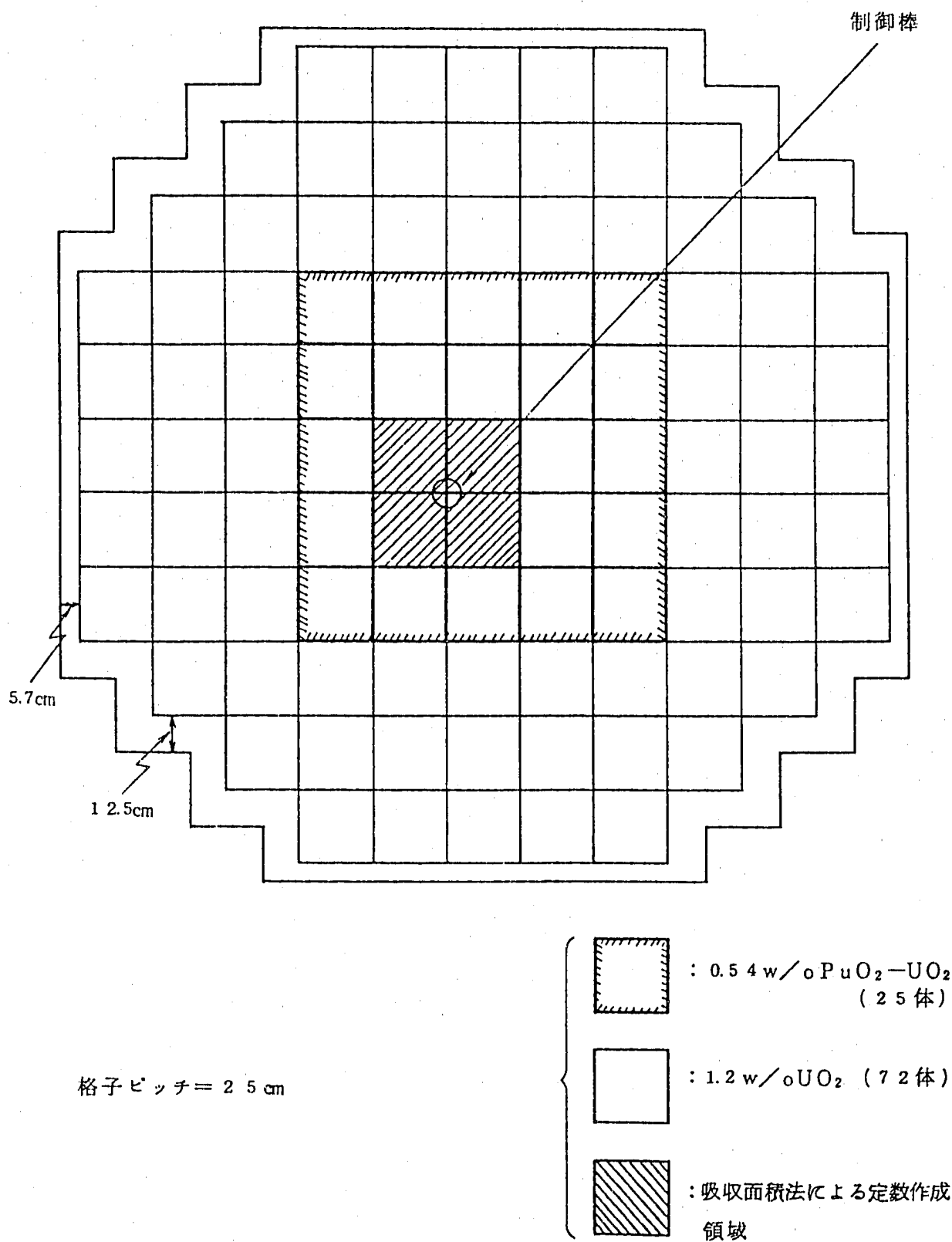


図 2.2-6 DCA SUS 制御棒反応度価値計算の解析モデル

3. 「ふげん」起動試験実績データに基づく重水中 ボロン反応度計算精度解析

WIMS-ATRコードにより核定数を作成し、これを用いて重水中ボロン反応度を解析し、解析結果と起動試験実測データを比較することにより、計算精度解析を行う。

3.1 重水中ボロン反応度計算精度解析

WIMS-ATRコードにより核定数を作成し、これを用いて LAYMON-2A コードで重水中反応度を解析し、解析結果と起動試験実測データを比較することにより、計算精度解析を実施する。

(1) 起動試験実測データ

重水中ボロン反応度計算精度解析に使用する起動試験実測データとして、昭和53年5月19日に測定された“ふげん”常温、0%ボイド炉心におけるボロン濃度調整時の臨界炉心データを⁽¹⁾ 使用する。以下に実測データ及び測定条件を示す。

(a) ボロン(¹⁰B)濃度調整時の臨界炉心データ

ボロン反応度測定のベースとなる炉心として、表3.1-1に示す3つの炉心が試験時に形成された。形成手順は表3.1-1のNo.1の炉心を基準として、¹⁰Bを除去し、¹⁰B除去に伴なう正の投入反応度を炉心中心部のMロッドを挿入することにより補償したものである。

また、図3.1-1には表3.1-1で示したポイズン除去塔通過重水流量と¹⁰B濃度との関係をグラフ化したもので、同図には昭和53年5月9日および11日に測定されたそれらの値も参考のため示した。

(b) ドライクリティカル時Mロッド校正データ

(a)のデータより、ボロン反応度を求めるためには、MロッドのS字反応度曲線が必要である。そのようなデータとして、昭和53年5月18日実施された全炉心ドライクリティカル炉心におけるMロッド校正データを表3.1-2に示す。又、同表には(P-T)テーブルを用い、炉周期Tより反応度ρを求めた値も示す。

次に、各Mロッド引抜位置に対するこれらの値を内外挿することにより、全炉心ドライクリティカル時のMロッドS字曲線が求められる。結果を表3.1-2及び図3.1-2に示す。なお、このMロッドのS字曲線は¹⁰B濃度の補償により求めた値であるので、干渉効果のないMロッドのS字曲線に相当する。

(c) 測定データに基づくボロン反応度

(a)及び(b)で述べた臨界炉心はデータとMロッドS字曲線を使用して、ボロン反

応度の“測定値”は次のようにして求められている。

(i) 測定データに基づくボロン反応度

0%ボイド状態の全炉心に対して、他制御棒全引抜時のMロッド校正試験は行われていないので、以下の仮定を設け、ボロン反応度の測定値が求められている。

(イ) 0%ボイド炉心における干渉効果のない他制御棒全引抜時のMロッドS字曲線は図3.1-2で示したドライクリティカル時のMロッドS字曲線(干渉効果なし)と一致する。

(ロ) 0%ボイド炉心におけるMロッドワースの測定値と解析値(METHUSEL AH-II/CITATION)は良く一致しているので、干渉効果のないMロッドワースとして解析値 0.449%Δkを使用する。

以上(イ)(ロ)の仮定を基にして求めた表3.1-1に示した各炉心のMロッドの残存ワース3.1-3に示す。

次に、次式に基づきボロン反応度(%Δk/ppm)を計算した時の結果を表3.1-4に示す。

この結果、重水温度変化も含んだボロン反応度の測定値は0.84%Δk/ppmとなる。

$$\text{ボロン反応度} = \frac{\text{Mロッドのワース変化} (\% \Delta k)}{\text{ボロン} (^{10}\text{B}) \text{濃度変化} (\text{ppm})}$$

(ii) 重水温度補正後のボロン反応度測定値

表3.1-1からわかるように、使用データは重水減速材の温度が異なっているため表3.1-4に示したボロン反応度は減速温度反応度を含んでいると考えられる。そこで、減速材温度反応度係数の計算値を用いて、ボロン反応度を補正することによって、ボロン反応度測定値が求められている。

温度補正量は、次式によって計算される。

$$\Delta^T \left(\frac{\partial k}{\partial c} \right) = \left(\frac{\partial k}{\partial T} \right) \cdot \frac{T_1 - T_2}{C_1 - C_2}$$

ここで

$$\Delta^T \left(\frac{\partial k}{\partial c} \right) : \text{反応度に対する温度補正量} (\% \Delta k / \text{ppm B}^{10})$$

$$\left(\frac{\partial k}{\partial c} \right) : \text{減速材温度係数} (\% \Delta k / ^\circ\text{C})$$

T_1, T_2 : ポイズン除去前及び除去後の減速材温度 (°C)

C_1, C_2 : " 重水中の B^{10} 濃度 (ppm)

表 3.1 - 5 に、表 3.1 - 1 に示したデータに基づいて計算されたボロン反応度の温度補正後の“測定値”を示す。したがって、解析値との比較は温度補正後の測定値で実施する。

(2) 計算精度解析

(1) で示した測定時の炉心状態を用い、Mロッドが全引抜と全挿入の場合について実行増倍係数を計算し、重水中ボロン反応度を算出し、測定値と比較することによって WIMS - ATR / LAYMON - 2A コードによる重水中ボロン反応度の計算精度を評価する。

(a) 解析条件

(i) 燃焼度 0, $X_e, S_m = 0$ のクリーン炉心

(燃料は A 779)

(ii) 減速材温度 (カランドリア管、炉内構造物を含む)

..... 16.5°C

(iii) 冷却材温度 (燃料、圧力管含む)

..... 20.0°C

(iv) 重水中ボロン (B^{10}) 濃度：各温度での計測値の平均値

..... 12.86, 12.615, 12.34 ppm

(v) 制御棒 (Mロッド) パターン：各ボロン濃度に対して Mロッド全挿入及び全引抜の 2 ケースの解析を実施

(vi) 使用解析コード：核定数作成 WIMS - ATR

炉心計算 LAYMON - 2A

(b) 解析結果

(a) の条件に基づいて、WIMS - ATR / LAYMON - 2A コードで解析した重水中ボロン濃度変化時の実行増倍率と重水中ボロン反応度を表 3.1 - 6 に示す。

表 3.1 - 6 より、今測定しているボロン濃度範囲では B^{10} 1 ppm 当りのボロン反応度は計算値の平均で約 0.92% $\Delta k / ppm$ である。又、Mロッド全引抜時と全挿入時のボロン反応度の差は最大でも 0.007% $\Delta k / ppm$ と小さい。

表 3.1 - 6 の結果を整理して測定値と比較し、計算精度を評価した結果を表 3.1 - 7 に示す。ここで、重水中ボロン反応度の解析値は、表 3.1 - 6 の結果に基づいて Mロッド全挿入時と全引抜時の結果を平均したものを使用した。

表 3.1 - 7 より、「ふげん」起動試験データに基づく重水中ボロン反応度の WIM

S - A T R / L A Y M O N - 2 A コードの計算誤差は、相対誤差($(C/E-1) \times 100(\%)$)で $-7.6\% \sim +7.9\%$ の範囲にあり、設計誤差である±10%以内である。

次に、従来設計手法であるM E T H U S E L A H - I I / C I T A T I O N コードによる計算精度と比較してみる。表3.1-8に、M E T H U S E L A H - I I / C I T A T I O N コードによる重水中ボロン反応度の計算値と計算精度を示す。計算誤差は、相対誤差で $-6.2 \sim 12.1\%$ の範囲にあり、現設計手法であるW I M S - A T R / L A Y M O N - 2 A コードの $-7.6 \sim +7.9\%$ と比べ同程度もしくは若干悪い程度である。

表 3.1 - 1 ポロン反応度測定試験における臨界時データ (S. 53. 5. 19)

(全炉心, 0% ポイド)

No.	臨界時刻	ポイズン除去塔 通過重水質量(m^3) (FQ32-10 読み)	B ¹⁰ 濃度 (ppm) (同位体希釈法)	減速材 温度 (°C)	冷却材 温度 (°C)	Mロッド位置 (%) **	
						(#305)	(プロコン)
1	19:20	78.00	12.84 ± 0.03 12.88 ± 0.03	18.0	20.0	72.0	70.8
2	20:20	80.92	12.64 ± 0.03 12.59 ± 0.03	16.5	20.0	39.5	38.2
3	23:13	83.01	12.41 ± 0.03 12.27 ± 0.03	16.7	20.0	14.0	13.9

* 士は 2σ , ** 他制御棒は全引抜 (100%)

表 3.1-2 全炉心常温 100% ボイド時 M-rod 積分反応度実測値(S.53.5.18) (FLC 数え落し補正値)

M-rod 位置(%)		投入反応度 (ペリオド法) (%Δk)	Iteration No. 1			Iteration No. 2			Iteration No. 3			炉周期(スケーラー)sec		
(プロコン値)			積分反応度 初期規格値	反応度 内挿値(%Δk)	積分反応度 絶対値(%Δk)	規格値	反応度 内挿値(%Δk)	積分反応度 絶対値(%Δk)	規格値	反応度 内挿値(%Δk)	積分反応度 絶対値(%Δk)	規格値	FLC 数え落し	
引抜前	引抜後												補正前 補正後	
0			0		0	0		0	0		0	0	— —	
3.3	24.9	0.0825	0.002 0.174	0.0010	0.0010	0.002 0.177	0.0009	0.0009	0.002 0.175	0.0010	0.0010	0.002	51.8 ***** (0.0822) (0.0824)	51.6 ***** (0.0822) (0.0824)
20.9	29.8	0.0729	0.124 0.258	0.0585	0.0595	0.120 0.267	0.0556	0.0565	0.115 0.265	0.0539	0.0549	0.112	64.9 (0.0704) (0.0728)	61.8
27.7	34.3	0.0659	0.220 0.358	0.0522	0.1117	0.226 0.357	0.0526	0.1091	0.223 0.356	0.0532	0.1081	0.221	75.0 (0.0634) (0.0659)	71.2
32.7	39.3	0.0679	0.320 0.479	0.0478	0.1595	0.323 0.467	0.0488	0.1579	0.322 0.460	0.0491	0.1572	0.321	70.6 (0.0663) (0.0679)	68.3
37.7	44.8	0.0767	0.442 0.597	0.0521	0.2116	0.428 0.586	0.0495	0.2074	0.423 0.583	0.0497	0.2069	0.423	60.8 (0.0737) (0.0766)	57.5
42.3	49.5	0.0711	0.547 0.684	0.0520	0.2636	0.533 0.673	0.0510	0.2584	0.527 0.672	0.0499	0.2568	0.525	68.1 (0.0680) (0.0711)	64.0
47.5	54.9	0.0618	0.649 0.776	0.0529	0.3165	0.640 0.769	0.0543	0.3127	0.638 0.765	0.0544	0.3112	0.636	83.4 (0.0587) (0.0618)	77.8
53.2	61.4	0.0635	0.748 0.871	0.0482	0.3647	0.738 0.865	0.0469	0.3596	0.734 0.862	0.0467	0.3579	0.732	77.8 (0.0618) (0.0635)	74.9
58.9	68.0	0.0505	0.838 0.942	0.0465	0.4112	0.832 0.933	0.0470	0.4066	0.830 0.933	0.0476	0.4055	0.829	109.7 (0.0473) (0.0505)	101.7
66.4	100 (82.2)	0.0404	0.926 1.0	0.0472 0.0404	0.4539 0.4943	0.918 1.0	0.0430 0.0404	0.4496 0.4900	0.918 1.0	0.0431 0.0404	0.4486 0.4890	0.917 1.0	150.2 (0.0370) (0.0404)	134.9

* CITATION-RZ 計算による M-rod S 字曲線 (E = 0, Cold, B¹⁰=14 ppm, V = 0, 防爆板有り: ZJ 302 78-20 P2-18) 使用

** Δより Δk に変換した値

*** ペリオド法による測定では、制御棒を引き抜いた後、少し挿入してから次のステップに移っているため、あるステップでの引抜前の位置から次のステップの引抜前の位置までの制御棒位置変化による投入反応度を、適当な S 字カーブを仮定して内挿により求めた。

**** スケーラの値を聞いて炉周期 T を求め。 → T テーブルにより反応度 Δ に換算したもの。（FLC の不感時間による数え落し補正値）

表 3.1 - 3 ボロン反応度測定時の各炉心におけるMロッド残存ワース

No.	臨界時データ				Mロッドワース	
	B ¹⁰ 濃度 [*] (ppm)	減速材温度 (℃)	冷却材温度 (℃)	Mロット位置 ^{**} (%)	規格値 ^{***} (%△k)	ワース ^{****} (%△k)
(1)	12.88	18.0	20.0	70.8	0.954	0.021
(2)	12.59	16.5	20.0	38.2	0.435	0.254
(3)	12.39	16.7	20.0	13.9	0.037	0.432

* 図 3.1 - 1 実線の読み (B¹⁰濃度とポイズン除去塔通過重水量の関係を最小2乗法によって $y = a e^{bx}$ という形の実験式にフィッティングさせた。)

** プロコン値

*** 図 3.1 - 2 のMロッドS字カーブ使用

**** (0.449%△k) × (規格値)

表 3.1-4 ポロン反応度測定値（重水温度変化を含む）

使用データ	B ¹⁰ 濃度 (ppm)		Mロッド挿入 反応度 (%△k)	ポイズン反応度 (%△k/ppm B ¹⁰)
	除去前→除去後	変化量		
(1)-(2)	12.88 → 12.59	0.29	0.233	0.803
(2)-(3)	12.59 → 12.39	0.20	0.178	0.890
(1)-(3)	12.88 → 12.39	0.49	0.411	0.839

表 3.1-5 溫度補正後のボロン反応度測定値

使用データ	補正前のボロン 反応度 (%Δk/ppmB ¹⁰)	温 度 補 正 後 の ボ ロ ニ 反 応 度	
		温度補正量(%Δk/ppmB ¹⁰)の計算*	反応度(%Δk/ppmB ¹⁰)
(1)-(2)	0.803	$0.04 \times \frac{18.0 - 16.5}{12.88 - 12.59} = 0.207$	1.010
(2)-(3)	0.890	$0.04 \times \frac{16.5 - 16.7}{12.59 - 12.39} = -0.040$	0.850
(1)-(3)	0.839	$0.04 \times \frac{18.0 - 16.7}{12.88 - 12.39} = 0.106$	0.945

* 減速材温度係数として
用いた。

計算値 4×10^{-4} Δk/℃を

表 3.1-6 WIMS-ATR/LAYMON-2A コードによる重水中ボロン濃度変化時の
実効増倍率と重水中ボロン反応度の計算値

ケース No.	解 析 条 件					実効増倍率 計 算 値	重水中ボロン反応度計算値				
	ボ ロ ン (^{10}B) 濃度 (ppm)	T M (°C)	T C (°C)	ボイド (%)	制御棒位置		制御棒全本全引抜		M-Rod のみ全挿入		
							% ΔK	% ΔK /ppm ^{10}B	% ΔK	% ΔK /ppm ^{10}B	
①	12.34	16.5	20.0	0	全本全引抜	1.00944	0.0	-0.92 ¹			
②	12.615	16.5	20.0	0	全本全引抜	1.00691	-0.253	-0.935 ²			
③	12.86	16.5	20.0	0	全本全引抜	1.00462	-0.482	-0.927 ³			
④	12.34	16.5	20.0	0	M-rod ** 全挿入	1.00407			0.0	-0.913 ¹	
⑤	12.615	16.5	20.0	0	M-rod ** 全挿入	1.00156			-0.251	-0.931 ²	
⑥	12.86	16.5	20.0	0	M-rod ** 全挿入	0.99928			-0.479	-0.921 ³	

* 1 ②-①より算出, * 2 ③-②より算出, * 3 ③-①より算出

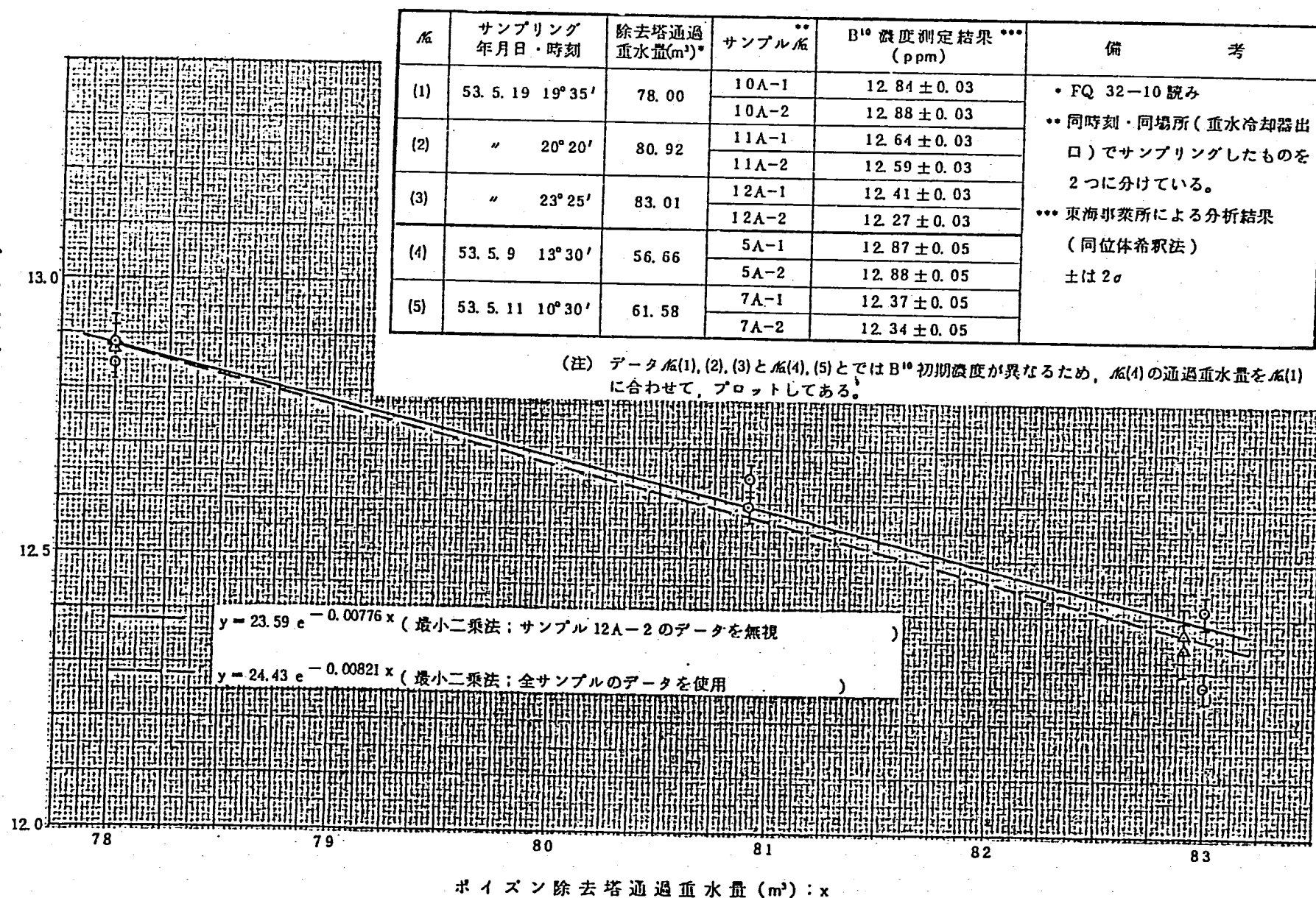
** 他制御棒、全本全引抜き

表 3.1 - 7 「ふげん」起動試験実績データに基づく重水中ボロン反応度の
WIMS-ATR/LAYMON-2Aコードの計算精度

ケ イ ス No	測定値 (E)						解析値 (C)			計算誤差		
	条件 (臨界時データ)				重水中ボロン反応度 (%ΔK/ ppm)		解析条件			重水中ボロン 反応度 (%ΔK/ ppm)	C-E (%ΔK/ ppm)	(C/E-1)×100 (%)
	¹⁰ B濃度 (ppm)	減速材温度 (°C)	冷却材温度 (°C)	Mロッド位置 (°C)	重水温度 補正前	重水温度 補正後	¹⁰ B濃度 (ppm)	減速材温度 (°C)	冷却材温度 (°C)			
1	12.88 ↓ 12.59	18.0 ↓ 16.5	20.0	70.8 ↓ 38.2	0.803	1.010	12.86 ↓ 12.615	16.5	20.0	0.933	-0.077	-7.6
2	12.59 ↓ 12.39	16.5 ↓ 16.7	20.0	38.2 ↓ 13.9	0.890	0.850	12.615 ↓ 12.34	16.5	20.0	0.917	0.067	+7.9
3	12.88 ↓ 12.39	18.0 ↓ 16.7	20.0	70.8 ↓ 13.9	0.839	0.945	12.86 ↓ 12.34	16.5	20.0	0.924	-0.021	-2.2

表 3.1-8 「ふげん」起動試験実績データに基づく垂水中ボロン反応度の
METHUSELAH-II/CITATIONコードの計算精度

ケース No.	測定値 (E)						解析値 (C)			計算誤差		
	条件 (臨界時データ)				重水中ボロン反応度 (%ΔK/ppm)		解析条件			重水中ボロン 反応度	C-E	(C/E-1)×100
	¹⁰ B濃度 (ppm)	減速材温度 (°C)	冷却材温度 (°C)	Mロッド位置 (°C)	重水温度 補正前	重水温度 補正後	¹⁰ B濃度 (ppm)	減速材温度 (°C)	冷却材温度 (°C)	(%ΔK/ppm)	(%ΔK/ppm)	(%)
1	12.88 ↓ 12.59	18.0 ↓ 16.5	20.0	70.8 ↓ 38.2	0.803	1.010	12.86 ↓ 12.615	16.5	20.0	0.947	-0.063	-6.2
2	12.59 ↓ 12.39	16.5 ↓ 16.7	20.0	38.2 ↓ 13.9	0.890	0.850	12.615 ↓ 12.34	16.5	20.0	0.953	0.103	+12.1
3	12.88 ↓ 12.39	18.0 ↓ 16.7	20.0	70.8 ↓ 13.9	0.839	0.945	12.86 ↓ 12.34	16.5	20.0	0.950	0.005	+0.5

重水中の B^{10} 濃度 (ppm) :

(注) データ番号(1), (2), (3)と番号(4), (5)とでは B^{10} 初期濃度が異なるため、番号(4)の通過重水量を番号(1)に合わせて、プロットしてある。

図 3.1-1 液体ポイズン反応度測定試験時におけるポイズン除去塔通過垂水量と垂水中の B^{10} 濃度の関係

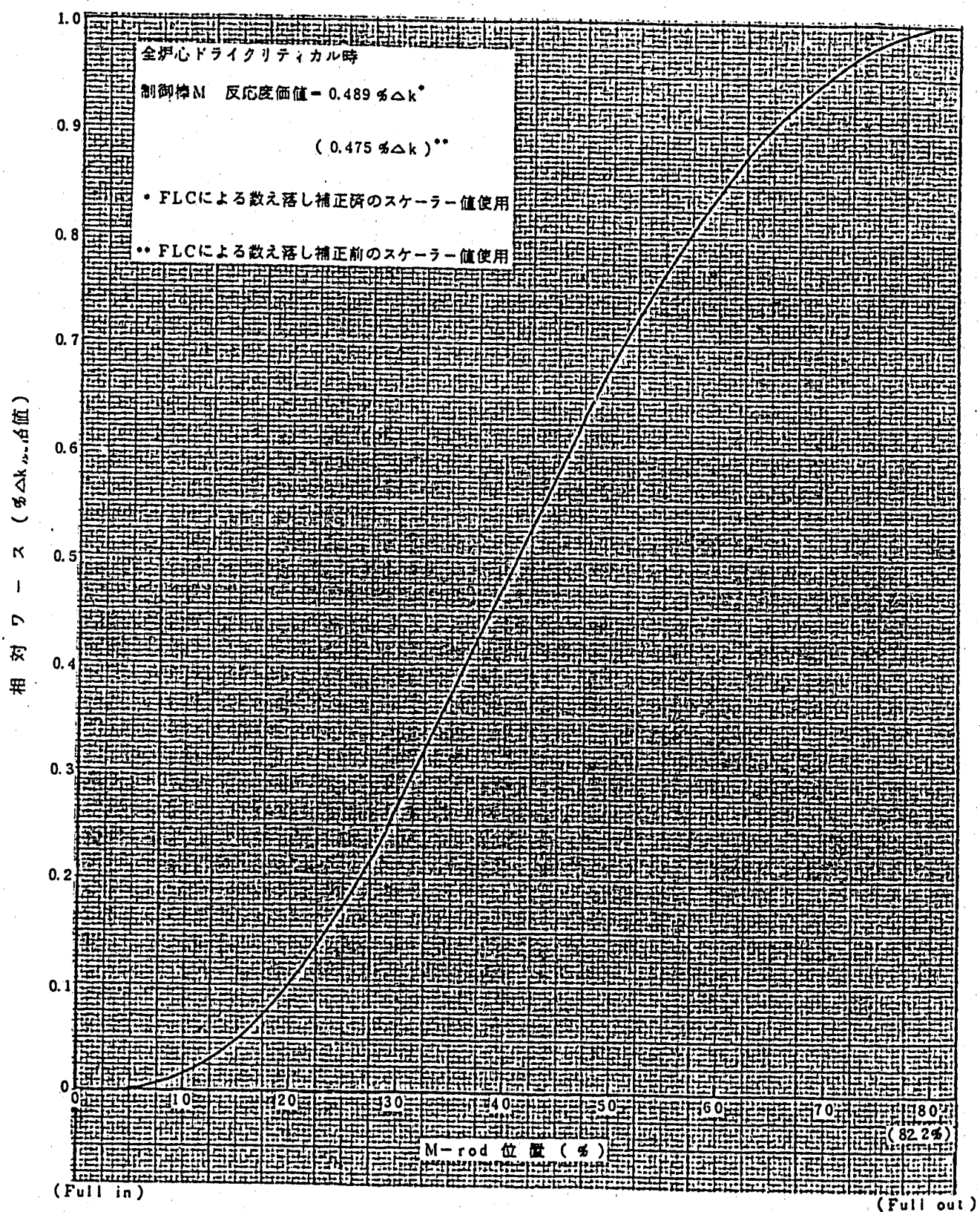


図 3.1-2 ペリオド法による測定値から求めた全炉心ドライクリティカル時 M-rod S字曲線

4. 「ふげん」運転実績データに基づく キセノン反応度計算精度解析

「ふげん」出力変更時の炉心反応度変化（出力係数反応度、制御棒反応度、および減速材温度反応度の合計）を基に出力変更に伴なうキセノン濃度の変化によるキセノン反応度の実績値を推定し、WIMS-ATRコードにより解析したキセノン反応度の計算値と比較することによって計算精度を解析する。

4.1 出力変更時のキセノン反応度の推定

「ふげん」出力変更時の炉心反応度変化（出力係数反応度、制御棒反応度および減速材反応度の合計）を基に、出力変更に伴なうキセノン濃度の変化によるキセノン反応度を推定する。

(1) 運転実測データ

運転実測データとして、ふげん発電所のS.54.5.30のMSIV試験のため出力降下時データとS.54.6.23の通常停止時のデータを使用する。⁽¹⁰⁾

以下に両データを示す。

(a) MSIV試験のための出力降下時データ

S.54.5.30にMSIV試験のために熱出力50%まで出力を降下させた時のTPMの変化の実測データを図4.1-1に示す。また、制御棒位置の記録を表4.1-1に、重水中¹⁰B濃度の変化を図4.1-2及び表4.1-2に示す。

(b) 通常停止時データ

S.54.6.23に行われた通常停止時のTPMの変化の実測データ及び制御棒位置変化の実測データを図4.1-3に示す。

(2) キセノン反応度の推定

(1)の運転実測データを利用してキセノン反応度を推定する。

キセノン反応度を推定するためには、炉心出力シミュレーションコードに出力変化の実績値等を入力し、各時刻での出力係数（ボイド及びドップラ）の反応度、減速材温度反応度、制御棒反応度の変化を算出し、これらの反応度変化の合計を帳消しとするような反応度を求めればよい。ここで、出力係数、減速材温度係数は実績値、制御棒反応度は±10%の精度を有する計算値を使用する。使用した反応度関連データを表4.1-3に、キセノン関連データを表4.1-4に示す。表4.1-3中、出力係数は表4.1-5に示す第1サイクル約2.5GWD/tの実績値を、減速材温度係数は表4.1-6に示す第1サイクル

約 3 Gwd/t の実測値を使用した。また、制御棒反応度は図 4.1-4 に示す LAYMON で計算した E ロッド 4 本の反応度曲線を使用した。

次に、キセノン反応度推定に使用した炉心出力シミュレーションコードはキセノン 1 点近似動特性モデルに基づく“ふげん”起動・停止シミュレーションコード ATROSTAR⁽¹⁾コードを使用した。ATROSTAR コードに入力した出力軌跡を図 4.1-5 及び図 4.1-6 に示す。ここで、図 4.1-5 は S.54.5.30 の MSIV 試験時、図 4.1-6 は S.54.6.23 の通常停止時の出力軌跡の入力モデルを示す。

ATROSTAR コードによって算出したキセノン反応度の推定値を図 4.1-7、図 4.1-8、表 4.1-7 及び表 4.1-8 に示す。ここで、図 4.1-7、表 4.1-7 は MSIV 試験時出力降下時の推定値を、図 4.1-8、表 4.1-8 は通常停止時出力降下時の推定値を示す。また、この場合のキセノン濃度の変化を MSIV 試験時の場合を図 4.1-9 に、通常停止時の場合を図 4.1-10 に示す。

MSIV 試験時のキセノン反応度推定値は図 4.1-7 に示すとく 18° 00' に -0.57 % Δk と最大の反応度を示す。これは、図 4.1-9 に示すとくキセノン濃度が最大値を示すためである。同様に通常停止時の場合は図 4.1-8 に示すとく約 8° 00' に -0.62% Δk と最大の反応度を示す。これは、図 4.1-10 に示すとくキセノン濃度が最大の値を示すためである。

4.2 WIMS-ATR コードに基づくキセノン反応度計算精度評価

WIMS-ATR コードにより作成された核定数^(1,2)を使用して、キセノン反応度（キセノン濃度；ゼロ→定格飽和に対応した反応度）を解析する。解析したキセノン反応度よりキセノン濃度変化によるキセノン反応度を算出し、4.1 節で算出したキセノン反応度推定値と比較することによって計算精度を評価する。

(1) 定格飽和時のキセノン反応度の解析

5月30日及び6月30日に対応する炉心条件で解析した WIMS-ATR コード / LAYMON-2A コードによる定格飽和時のキセノン反応度の計算値を表 4.2-1 に示す。

表 4.2-1 より、MSIV 試験を実施した 5 月 30 日のキセノン反応度は 2.785% Δk、通常停止を実施した 6 月 30 日のキセノン反応度は 2.772% Δk である。

(2) キセノン反応度の計算精度

4.1 節で算出した出力変更に伴なうキセノン濃度の変化と 4.2 節(1)で計算した定格飽和時のキセノン反応度より、出力変更時のキセノン反応度を次式により計算し、4.1 節で算出したキセノン反応度推定値と比較しキセノン反応度の計算精度を評価する。

出力変更時のキセノン反応度の計算式は次の通りである。

$$\left(\frac{\Delta K}{K} \right)_{Xe} = \left(\frac{N_{xe}}{N_{xe_0}} \right) \times \left(\frac{\Delta K}{K} \right)_{Xe_0} \quad (1)$$

ここで

$\left(\frac{\Delta K}{K} \right)_{Xe}$: 出力変更時のキセノン反応度

$\left(\frac{\Delta K}{K} \right)_{Xe_0}$: 定格飽和時のキセノン反応度

N_{xe} : 出力変更時のキセノン濃度

N_{xe_0} : 定格飽和時のキセノン濃度

である。

(1)式より算出したキセノン反応度と推定値を比較した結果を表4.2-2, 図4.2-1, 及び図4.2-2に示す。ここで、図4.2-1はMSIV試験時出力降下時の比較結果、図4.2-2は通常停止時出力降下時の比較結果である。

図4.2-1, 図4.2-2より、キセノン反応度の計算値は推定値と比べ最大値を示す時間が～1時間程度遅くなり、値も若干大きな値を示すが全体的によく一致していると云える。

WIMS-ATR/LAYMON-2Aコードに基づくキセノン反応度の計算誤差は表4.2-2に示す。表4.2-2より推定値算出時に使用した制御棒反応度の計算誤差±10%を考慮してもキセノン反応度の計算誤差は-12.0%～+14.7%の範囲にあり、設計に使用している±20%を越えることはないと考えられる。

表 4.1 - 1 (1) 制御棒位置の記録（実績データ）

月日	時刻	熱出力		L ロッド					E ロッド					C ロッド					MLHGR (kW/ft)
		MW	%	1	2	3	4	平均	1	2	3	4	平均	1	2	3	4	平均	
5/30	11°00'	553.4	99.4	14.7	15.0	14.9	14.9	15.0	25.3	24.4	25.2	24.7	24.9	76.9	77.2	76.1	77.3	76.9	12.14
	12°00'	477.4	85.7						14.6	26.4	25.0	26.5	23.1						10.59
	13°00'	409.1	73.4						23.1	26.4	25.0	26.5	25.3						8.91
	13°30'	362.5	65.1						27.8	27.4	26.5	27.0	27.2						7.89
	14°00'	341.0	61.2						29.3	28.0	27.6	28.2	28.3						7.43
	14°20'	305.6	54.9						30.2	29.6	29.7	29.1	29.7						6.65
	15°00'	268.4	48.2						32.5	33.3	31.3	31.2	32.1						5.85
	16°00'	267.4	48.0						37.2	37.5	34.4	37.2	36.6						6.16
	17°00'	265.7	47.7						39.2	40.2	36.7	40.0	39.0						6.33
	18°00'	268.3	48.2						39.8	41.1	37.8	40.9	39.9						6.47
	19°00'	268.7	48.2						39.4	40.8	37.8	40.9	39.7						6.51
	20°00'	267.4	48.0						38.3	39.8	37.8	39.8	38.7						6.42
	21°00'	269.0	48.3						36.9	38.4	35.7	38.1	37.3						6.37
	22°00'	269.1	48.3						35.3	36.8	34.0	36.4	35.6						6.27
	23°00'	266.5	47.8						33.3	34.7	32.3	34.2	33.6						6.05
5/31	0°00'	269.3	48.3						31.8	32.6	30.5	32.1	31.8						6.07
	1°00'	271.5	48.7						29.5	30.2	28.2	29.3	29.3						6.02
	2°00'	270.6	48.6						27.3	27.5	25.9	26.8	26.9						6.92
	3°00'	271.5	48.7						25.7	25.8	23.8	24.7	25.0						5.89
	4°00'	272.9	49.0						25.4	25.6	23.5	24.3	24.7						5.87
	5°00'	270.7	48.6						25.4	25.5	23.2	23.8	24.5						5.89
	6°00'	269.8	48.4						25.8	25.4	23.3	23.4	24.5						5.91
	7°00'	270.7	48.6						25.4	25.6	23.3	23.6	24.5						5.94
	8°00'	301.3	54.1						25.2	25.0	25.0	25.0	25.1						6.58
	9°00'	334.3	60.0						25.2	25.0	23.4	25.0	24.7						7.27
	10°00'	357.2	64.1						24.7	22.5	22.1	24.7	23.5						7.84
	11°00'	387.8	69.6						22.8	22.5	22.0	23.5	22.5						8.49
	12°00'	421.4	75.7						22.5	22.5	22.0	22.6	22.4						9.19
	13°00'	446.3	80.1						23.0	23.5	23.2	23.3	23.3						9.79
	14°00'	474.9	85.3						25.0	24.4	24.0	24.9	24.6						10.44
	15°00'	476.5	85.5						26.5	26.8	22.8	24.3	25.1						10.45
	16°00'	477.0	85.6						25.7	25.7	25.0	25.0	25.4	↓	↓	↓	↓	↓	10.43
	17°00'	475.1	85.3											78.5	78.8	77.6	78.8	78.4	10.41
	18°00'	478.4	85.9											79.8	80.1	78.8	80.1	79.7	10.49
	19°00'	480.5	86.3	↓	↓	↓	↓	↓						80.4	80.7	79.3	80.6	80.3	10.54

表 4.1 - 1 (2) 制御棒位置の記録（実績データ）

月 日	時刻	熱出力		L ロッド					E ロッド					C ロッド					MLHGR (kW/ft)
		MW	%	1	2	3	4	平均	1	2	3	4	平均	1	2	3	4	平均	
5/31	20°00'	484.3	86.9	14.7	15.0	14.9	14.9	15.0						81.2	81.5	80.1	81.4	81.1	10.59
	21°00'	482.1	86.6											81.8	82.1	80.6	82.0	81.6	10.54
	22°00'	486.9	87.4						25.6	25.3	25.5	25.5	25.5	100	100	100	100	100	10.65
	23°00'	487.4	87.5											80.1	80.6	78.9	80.4	80.0	10.73
6/1	0°00'	488.2	87.6											78.4	78.9	77.3	78.8	78.4	10.76
	1°00'	493.2	88.5											78.0	78.5	76.8	78.3	77.9	10.86
	2°00'	494.3	88.7											77.4	78.0	76.3	77.8	77.4	10.88
	3°00'	498.4	89.5											77.3	77.8	76.1	77.7	77.2	10.98
	4°00'	499.5	89.7											76.3	76.9	75.1	76.7	76.3	11.04
	5	502.0												75.7	76.3	74.5	76.1	75.7	11.09
	6	502.8												74.7	75.2	73.4	75.0	74.6	11.11
	7	506.5												74.2	74.8	72.9	74.5	74.1	11.19
	8	510.0												73.7	74.3	72.4	74.0	73.6	11.28
	9	510.7												72.7	73.3	71.5	73.1	72.7	11.31
	10	512.4												72.3	72.9	71.1	72.7	72.3	11.37
	11	515.2												71.6	72.2	70.4	72.0	71.6	11.45
	12	517.5												71.4	72.0	70.2	71.8	71.4	11.49

表 4. 1 - 2 (1) ポイズン除去記録 (1/2)

月日，時刻	ポイズン除去塔通過量水（m ³ ）		$e^{-\frac{1}{120}x}$	炉心B ¹⁰ 濃度 (ppm)	備 考
	詫み	差：x			
S54 5/31 16 ⁰ 00'	341.80	0	1.0	3.27	
	341.96	0.04	0.9997	"	
	342.50	0.7	0.9942	3.25	
	343.05	1.3	0.9896	3.24	
	343.70	1.9	0.9843	3.22	
	344.95	3.2	0.9741	3.19	
	345.50	3.7	0.9696	3.17	
	346.97	5.2	0.9578	3.13	
	348.67	6.9	0.9444	3.09	
	350.34	8.5	0.9313	3.05	
	352.02	10.2	0.9184	3.00	
	353.82	12.0	0.9047	2.96	
	355.71	13.9	0.8906	2.91	
	357.59	15.8	0.8767	2.87	
	359.39	17.6	0.8637	2.82	
	361.07	19.3	0.8517	2.79	
	362.78	21.0	0.8396	2.75	
	364.43	22.6	0.8281	2.71	
	365.82	24.0	0.8186	2.68	
	367.40	25.6	0.8079	2.64	
	369.16	27.4	0.7961	2.60	
	370.48	28.7	0.7874	2.57	
	373.91	32.1	0.7652	2.50	
	377.35	35.6	0.7436	2.43	
	380.85	39.1	0.7222	2.36	
	381.64	39.8	0.7175	2.35	
	381.98	40.2	0.7155	2.34	
	382.13	40.3	0.7146	"	
	383.95	42.2	0.7038	2.30	
	385.46	43.7	0.6950	2.27	
	387.73	45.9	0.6820	2.23	
	389.98	48.2	0.6693	2.19	
6/2 0	392.38	50.6	0.6561	2.15	

表 4. 1 - 2 (1) ポイズン除去記録 (2/2)

月日，時刻	ポイズン除去塔通過重水塗 (m^3)		$e^{-\frac{1}{120}x}$	炉心 B^{10} 濃度 (ppm)	備 考
	続 み	差 : x			
6/2 1 ⁰ 00'	393.85	52.1	0.6481	2.12	
2	395.49	53.7	0.6393	2.09	
3	396.94	55.1	0.6818	2.07	
4	398.05	56.3	0.6258	2.05	
5	398.92	57.1	0.6213	2.03	
6	399.42	57.6	0.6187	2.02	
7	399.92	58.1	0.6161	2.01	
8	400.44	58.6	0.6134	"	
9	401.06	59.3	0.6103	2.00	
0	401.74	59.9	0.6068	1.98	
11	402.43	60.6	0.6034	1.97	
12	403.13	61.3	0.5999	1.96	
13	403.81	62.0	0.5965	1.95	
14	404.49	62.7	0.5931	1.94	
15	405.38	63.6	0.5887	1.93	
16	406.22	64.4	0.5846	1.91	
17	407.07	65.3	0.5805	1.90	
18	407.68	65.9	0.5775	1.89	
19	408.15	66.4	0.5753	1.88	
20	408.61	66.8	0.5731	1.87	
21	409.07	67.3	0.5709	"	
22	409.59	67.8	0.5684	1.86	
23	409.97	68.2	0.5665	1.85	
6/3 0 ⁰ 00'	410.54	68.7	0.5639	1.84	
1	410.82	69.0	0.5626	"	
2	411.16	69.4	0.5610	1.83	
3	411.47	69.7	0.5596	"	
4	411.68	69.9	0.5586	"	
5	411.75	70.0	0.5583	"	
6	411.78				
7	411.80	{	{	{	
8		}			

表 4. 1 - 2 (2) ポイズン注入記録

月 日 時 刻	ポイズン溶解槽 水位 (mm)	水位差 (mm)	ポイズン注入量 (L)		B ¹⁰ 濃度 増分 (ppm)	炉心B ¹⁰ 濃度 (ppm)	備 考
			× 0.62	積算値			
S54							
5/31 2°00'	1,120					2.81*	
3°00'	"	0		0	0		2°37' ON 3秒OFF6分30秒
4°00'	1,100	10		6.2	0.03	2.84	3°00' "
5°00'	1,085	35		21.7	0.09	2.90	6分
6	1,070	50		31.0	0.13	2.94	
7	1,058	62		38.4	0.16	2.97	
8	1,045	75		46.5	0.19	3.00	
9	1,040	80		49.6	0.20	3.01	
10	1,020	100		62.0	0.25	3.06	
11	1,010	110		68.2	0.28	3.09	
12	1,000	120		74.4	0.30	3.11	
13	975	145		89.9	0.36	3.17	
14	955	165		102.3	0.41	3.22	
15	940	180		111.6	0.45	3.26	
16	{	{		{	{	{	
6/1 8°00'	940	{		{	{	{	
9°00'	935	185		114.7	0.46	3.27	
	{	{		{	{	{	

(注) ポイズン溶解槽 B¹⁰ 濃度 4.86 ppm

$$B^{10} \text{濃度増分} : y \quad y = -\frac{48.5 \times x}{120,000 + x} \quad (x : \text{ポイズン注入量 L})$$

* S54.5.28, 10°00' サンプリング 2.83 ppm と 2.78 ppm の平均値

表4.1-3 キセノン反応度推定値算出に使用した反応度関連データ

項 目	使 用 デ 一 タ	備 考
出 力 係 数	$-6.0 \times 10^{-5} \frac{\Delta K}{K}$ %出力	第一サイクル約2.5Gwd/tの実績値 使用(表4.1-5 参照)
減速材温度係数	$+5.0 \times 10^{-5} \frac{\Delta K}{K}$ °C	第一サイクル約3 Gwd/t の実績値 使用(表4.1-6 参照)
制 御 棒 反 応 度 (Eロッド4本全反応度)	1.314%ΔK	第一サイクル約2.5Gwd/tの LAYMON計算値使用(誤差±10%) (図4.1-4 参照)

表4.1-4 キセノン反応度推定値算出に使用したキセノン関連データ

核種 項目	^{135}I	^{135}Xe	^{149}Pm	備考
崩壊定数 (λ)	2.88×10^{-5}	2.11×10^{-5}	3.56×10^{-6}	
生成割合 (Y)	0.066	0.003	0.013	

表4.1-5 WIMS-ATRコード出力係数計算精度

プラント	条件	実測値 (E) ($\frac{\Delta k}{k}$ / %出力)	計算値 (C) ($\frac{\Delta k}{k}$ / %出力)	誤差	
				$E - C$ ($\frac{\Delta k}{k}$ / %出力)	$(E/C - 1) \times 100$ (%)
ふげん	第1サイクル燃焼度約1GWd/t	-8.2×10^{-5}	-7.9×10^{-5}	-0.3×10^{-5}	+ 3.8
	" 約2.5GWd/t	-6.0×10^{-5}	-6.8×10^{-5}	$+0.8 \times 10^{-5}$	-11.8
	" 約4GWd/t (制御棒パターン交換前)	-5.5×10^{-5}	-6.0×10^{-5}	$+0.5 \times 10^{-5}$	- 8.3
	" 約4GWd/t (制御棒パターン交換後)	-7.1×10^{-5}	-7.1×10^{-5}	0.0×10^{-5}	0.0
	" 約5GWd/t	-6.7×10^{-5}	-6.5×10^{-5}	-0.2×10^{-5}	+ 3.1
	" 末期	-6.2×10^{-5}	-5.9×10^{-5}	-0.3×10^{-5}	+ 5.1
	第2サイクル 初期	-6.3×10^{-5}	-6.5×10^{-5}	$+0.2 \times 10^{-5}$	+ 3.1
	第3サイクル "	-5.6×10^{-5}	-6.5×10^{-5}	$+0.9 \times 10^{-5}$	-13.8

表 4.1-6 WIMS-ATRによる減速材温度反応度係数計算精度

条 件		実測値(E) ($\frac{\Delta k}{k} / ^\circ C$)	計算値(C) ($\frac{\Delta k}{k} / ^\circ C$)	誤差(E-C) ($\frac{\Delta k}{k} / ^\circ C$)
「ふげん」 運転データ	第1サイクル, 燃焼度3.0Gwd/t ^{10}B 濃度 2.3 ppm	5.0×10^{-5}	5.5×10^{-5}	-0.5×10^{-5}
	" 燃焼度4.0Gwd/t ^{10}B 濃度 0.9 ppm	3.4×10^{-5}	2.0×10^{-5}	1.4×10^{-5}

表 4.1 - 7 MSIV 試験時出力降下時の各種反応度変化とキセノン反応度の推定値

月 日 時 刻	T P M よみ (%)	出 力 係 数 反 応 度 (% $\Delta K / K$)	制 御 棒 反 応 度 (% $\Delta K / K$)	減速材温度 反 応 度 (% $\Delta K / K$)	キセノン反応度 実 績 推 定 値 (% $\Delta K / K$)
5/30 16° 00	49.7	+ 0.299	+ 0.235 ± 0.024	- 0.035	- 0.499
5/30 17° 00	49.7	"	+ 0.285 ± 0.029	"	- 0.549
5/30 18° 00	49.7	"	+ 0.305 ± 0.031	"	- 0.569
5/30 19° 00	49.7	"	+ 0.300 ± 0.032	"	- 0.564
5/30 20° 00	49.7	"	+ 0.280 ± 0.028	"	- 0.544
5/30 21° 00	49.7	"	+ 0.253 ± 0.025	"	- 0.517
5/30 22° 00	49.7	"	+ 0.213 ± 0.021	"	- 0.477
5/30 23° 00	49.7	"	+ 0.175 ± 0.018	"	- 0.439
5/31 0° 00	49.7	"	+ 0.140 ± 0.014	"	- 0.404
5/31 1° 00	49.7	"	+ 0.092 ± 0.009	"	- 0.356

* 減速材温度は定格出力時より 7°C 低下

表4.1-8 通常停止時出力低下時の各種反応度変化とキセノン反応度の推定値

月日時刻	TPM よみ (%)	出力係数 反応度 (% $\Delta K/K$)	制御棒 反応度 (% $\Delta K/K$)	減速材温度 反応度 (% $\Delta K/K$)	キセノン反応度 実績推定値 (% $\Delta K/K$)
6/23 5° 00	45.1	+0.319	+0.200 ±0.020	-0.040	-0.479
6/23 30	45.2	"	+0.245 ±0.025	-0.035	-0.529
6/23 6° 00	45.4	"	+0.285 ±0.029	"	-0.569
6/23 30	45.0	"	+0.308 ±0.031	"	-0.592
6/23 7° 00	44.9	"	+0.323 ±0.032	"	-0.607
6/23 30	45.2	"	+0.332 ±0.033	"	-0.616
6/23 8° 00	45.0	"	+0.337 ±0.034	"	-0.621
6/23 30	45.6	"	+0.335 ±0.034	"	-0.619
6/23 9° 00	45.4	"	+0.330 ±0.033	"	-0.614
6/23 30	45.2	"	+0.320 ±0.032	"	-0.604
6/23 10° 00	45.4	"	+0.306 ±0.031	"	-0.590

* 減速材温度は定格出力時と比べ6/23 5° 00で8°C低下、6/25 5° 30で7°C低下

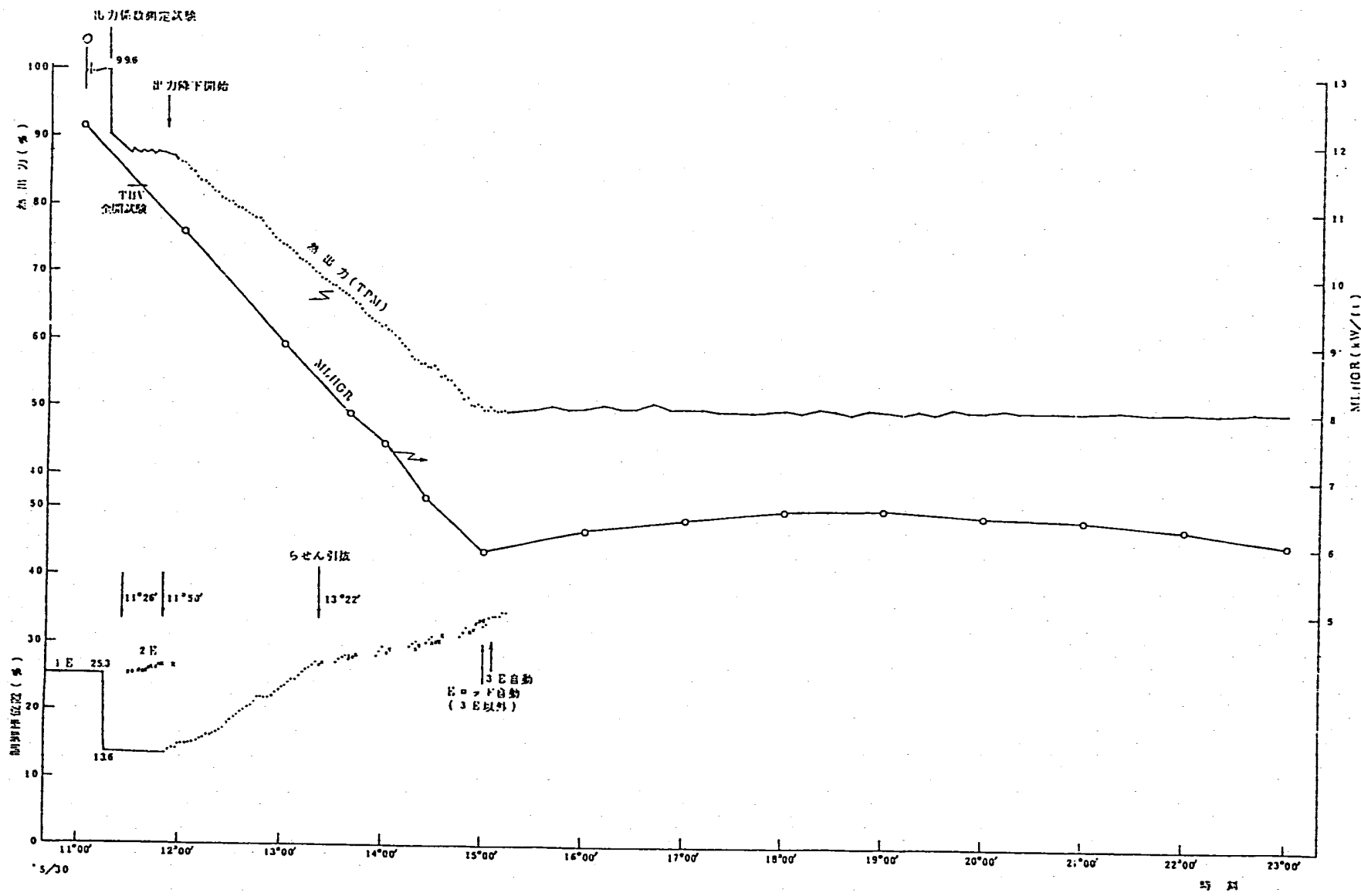


図 4.1-1 主要弁類作動試験時におけるTPMの変化(S. 54. 5. 30実績データ)

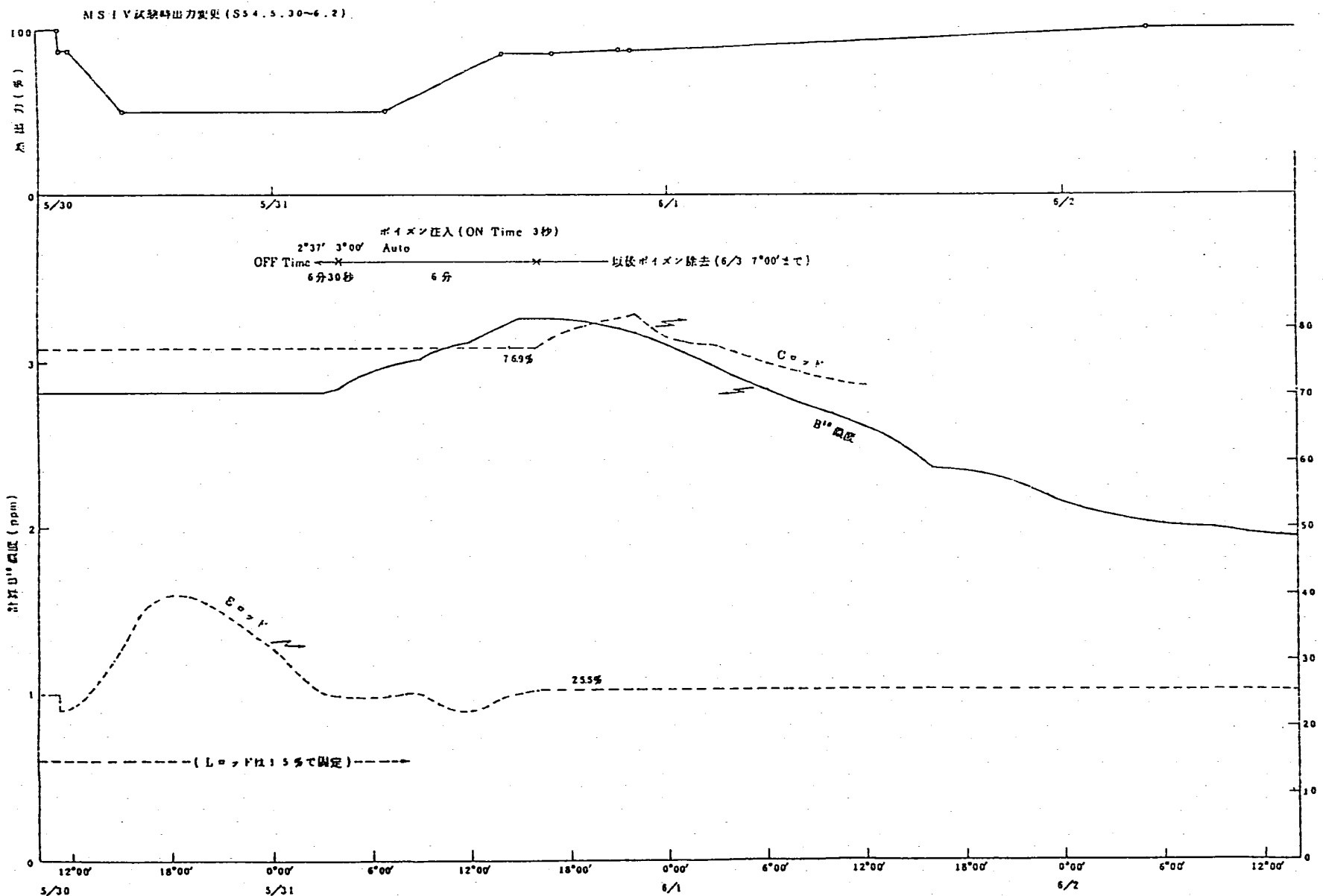


図 4.1-2 MSIV 試験のための出力降下時の運転実績

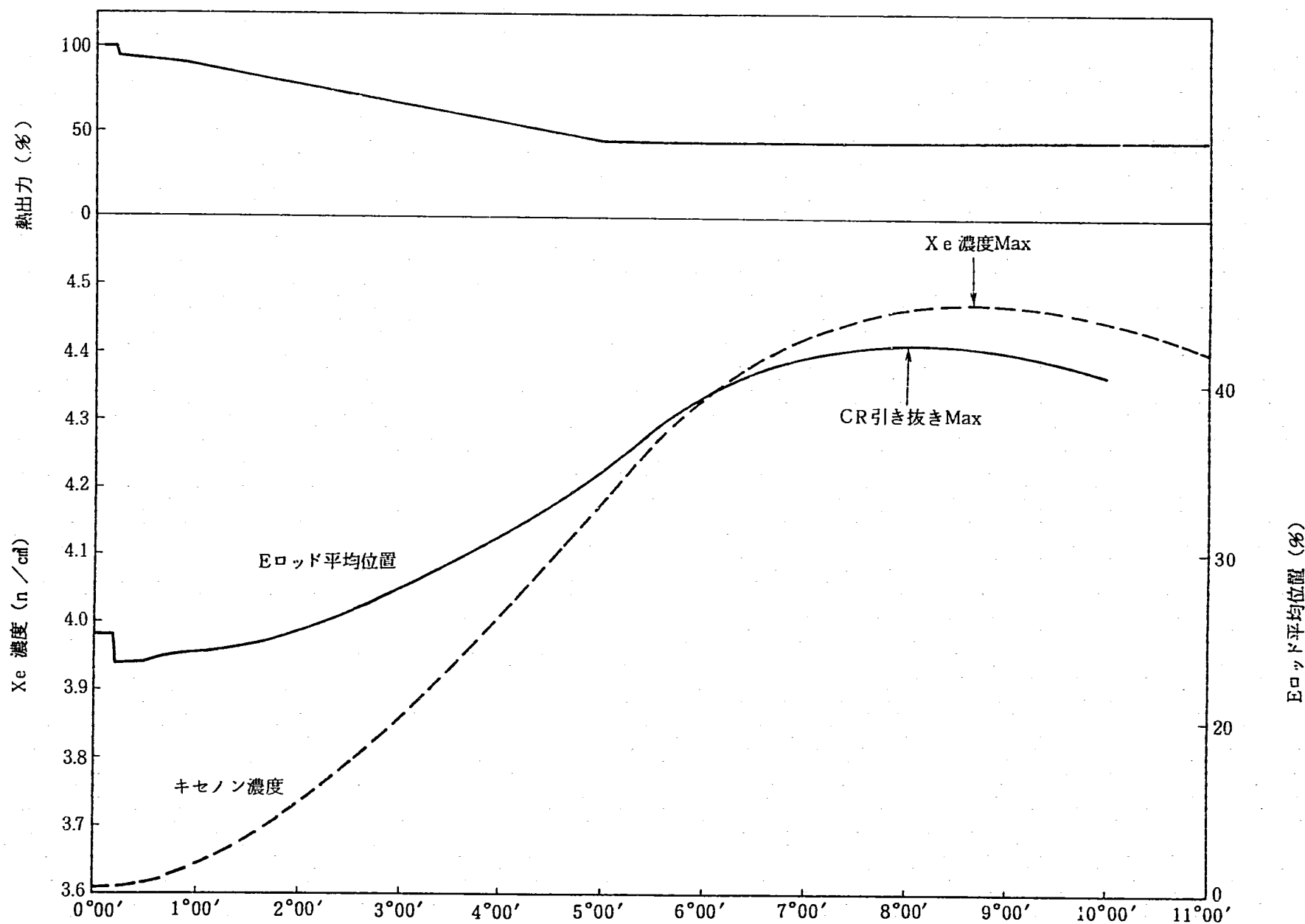


図 4.1-3 通常停止時の運転実績 (S. 54.6.23)

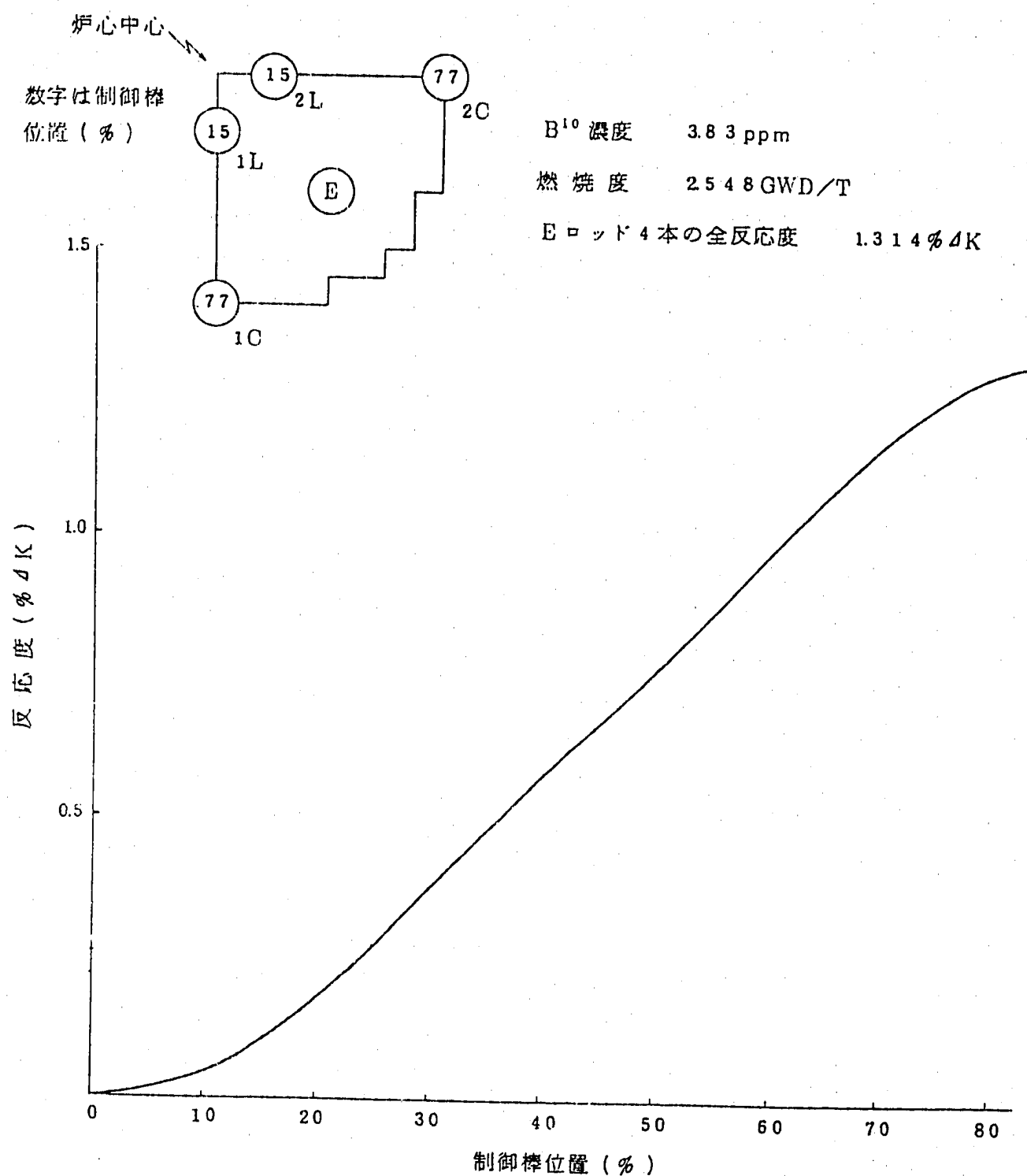
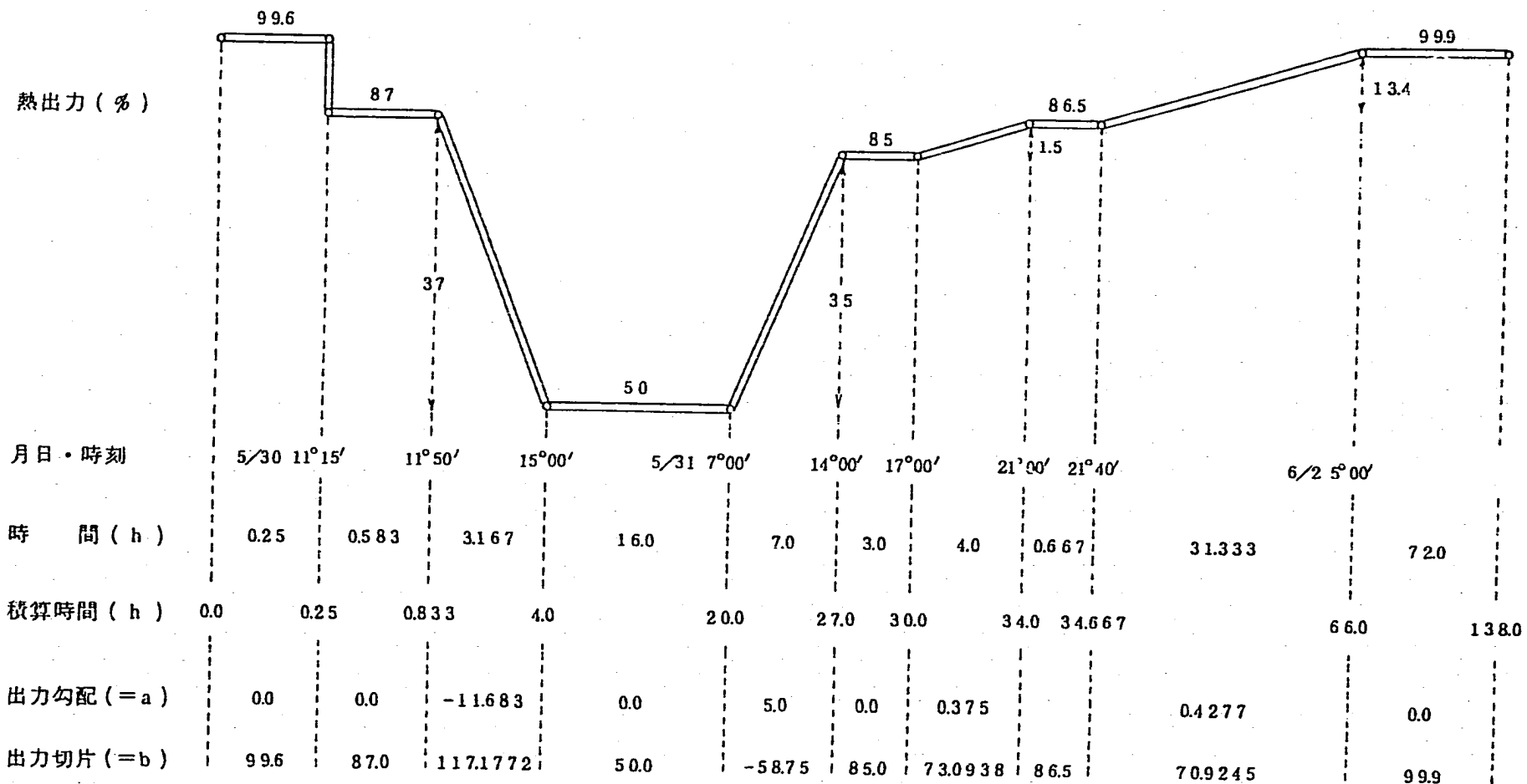


図 4.1-4 2.55GWD/T における E ロッド 4 本の反応度曲線



$$b = c - a \cdot t$$

(t : その前の積算時間)
(c : " 出力)

図4.1-5 ATROSTARコードの計算出力軌跡(S.54.5.30 MSIV試験時)

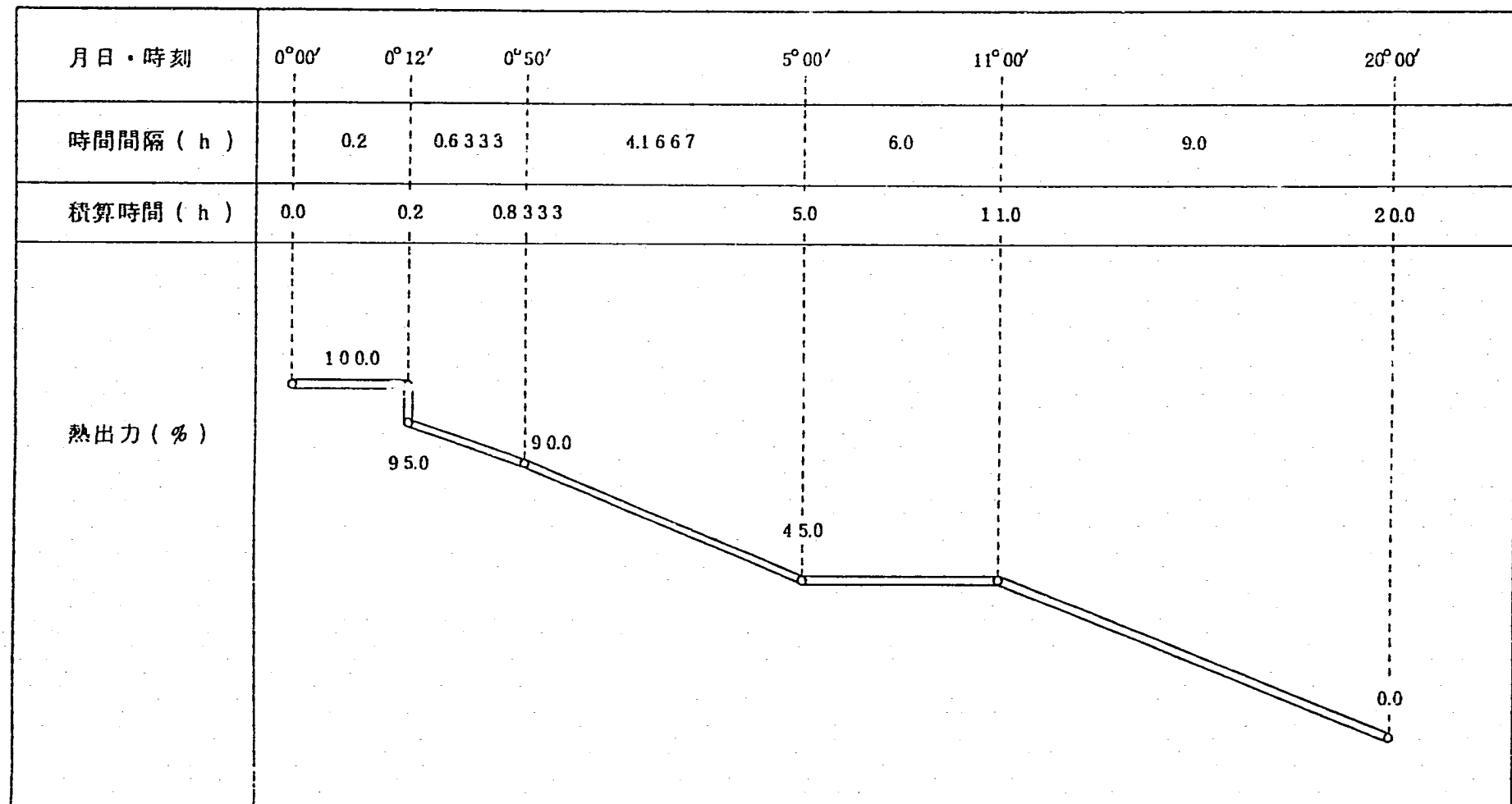


図 4.1-6 ATROSTARコードの計算出力軌跡(S.54.6.23 通常停止時)

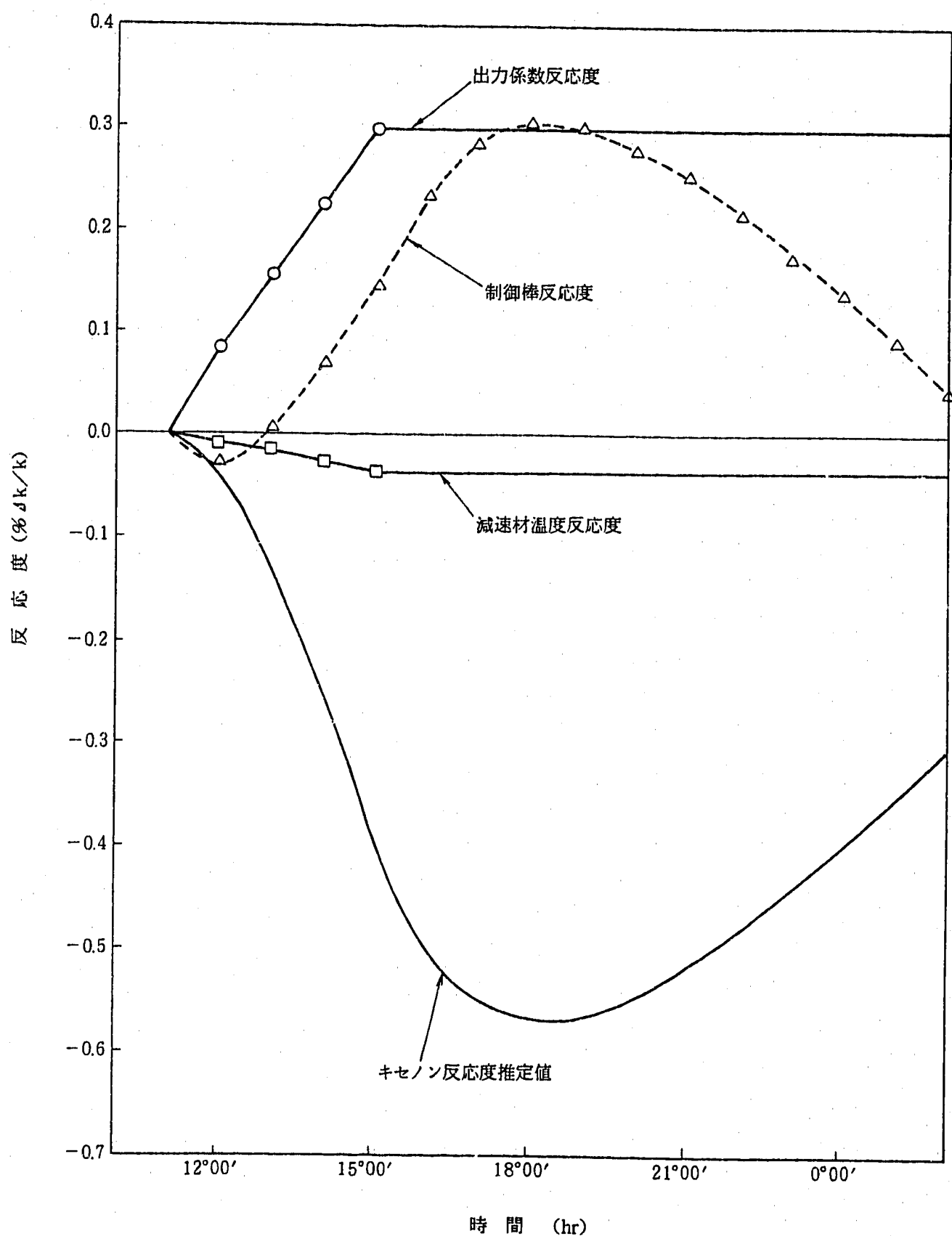


図 4.1-7 MSIV 試験時出力低下時のキセノン反応度推定値の変化

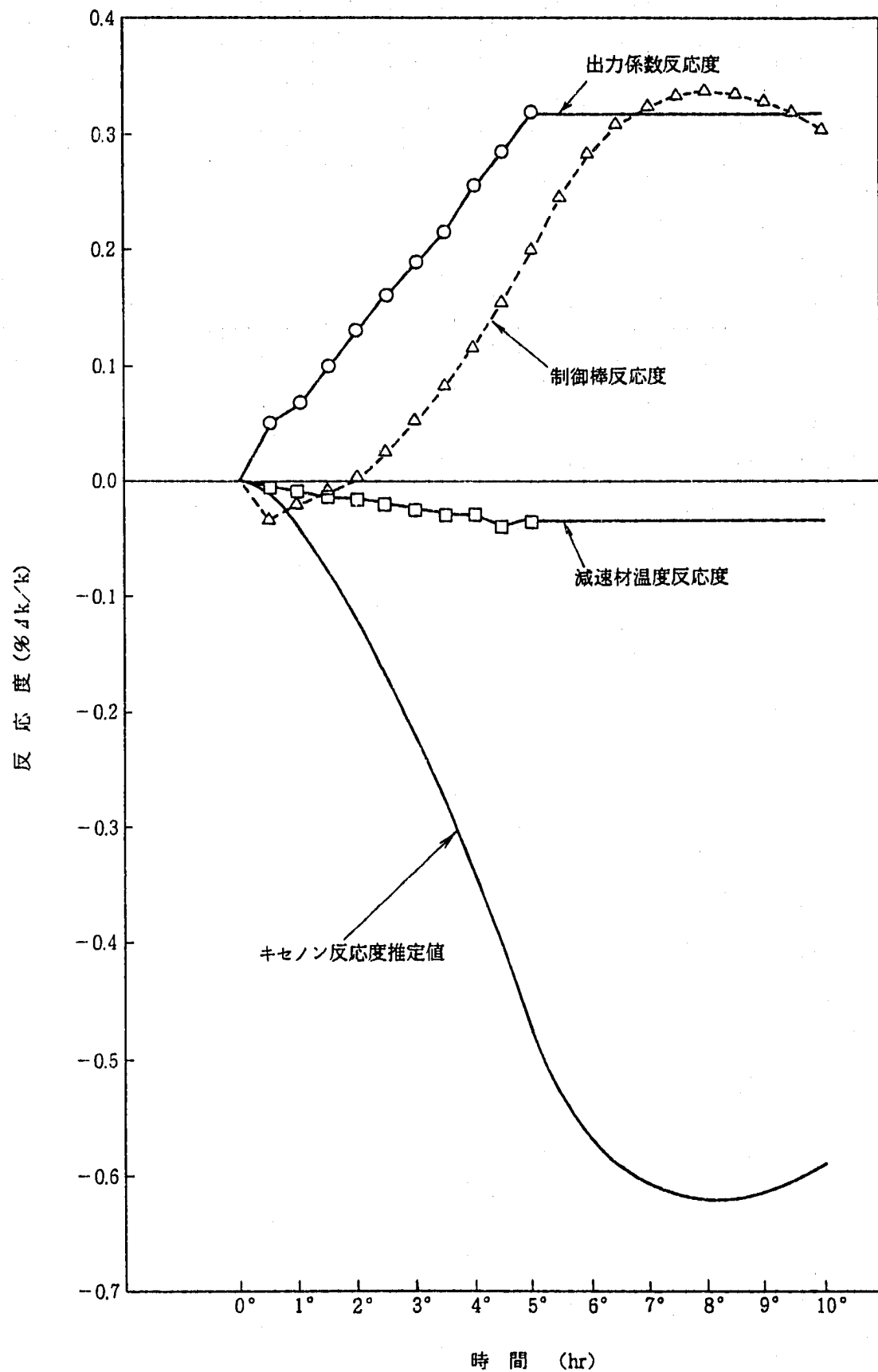


図 4.1-8 通常停止時出力低下時のキセノン反応度推定値の変化

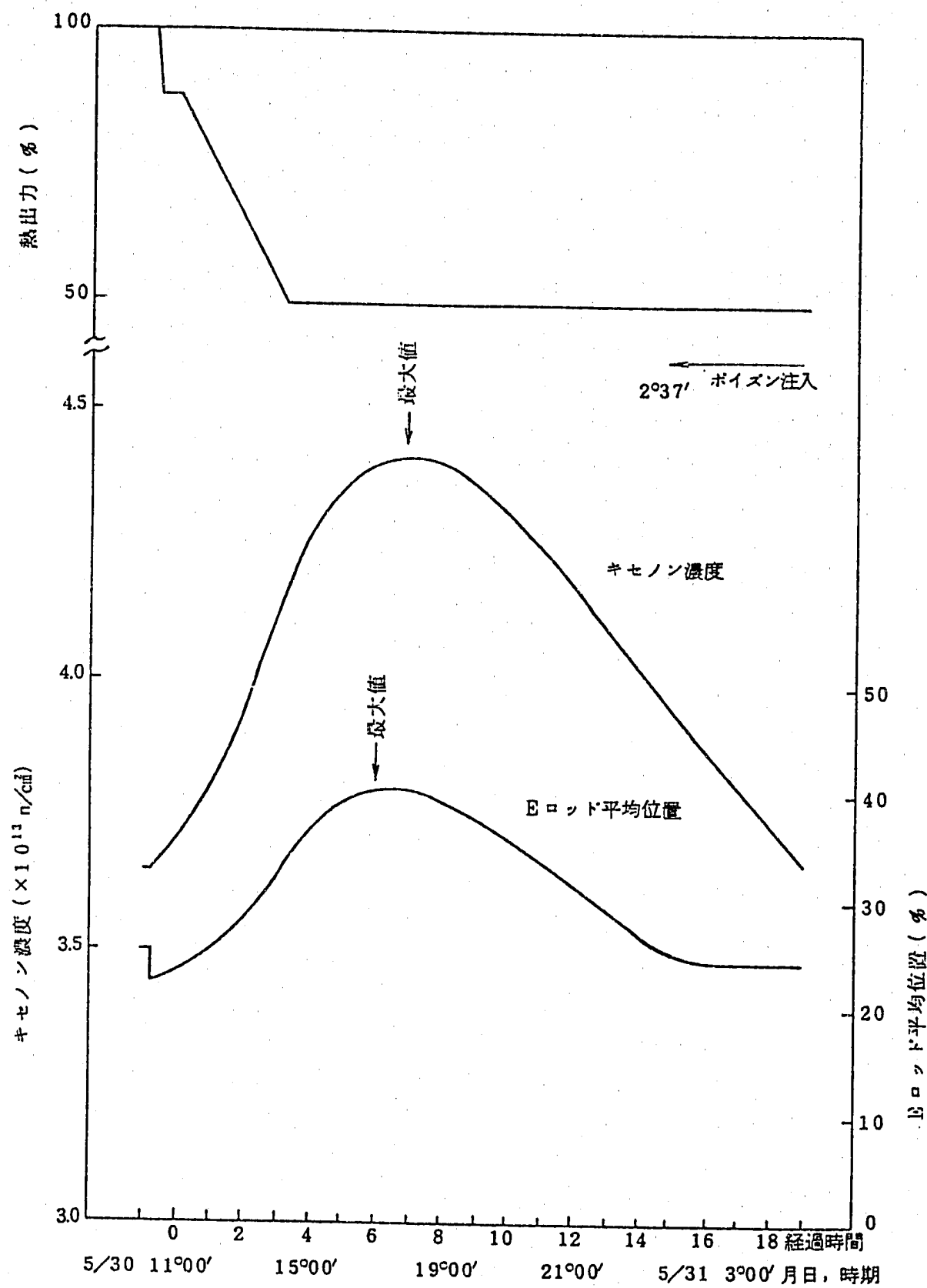


図4.1-9 「ふげん」MSIV試験時出力低下時のEロッド位置及びキセノン濃度変化(S.54.5.30)

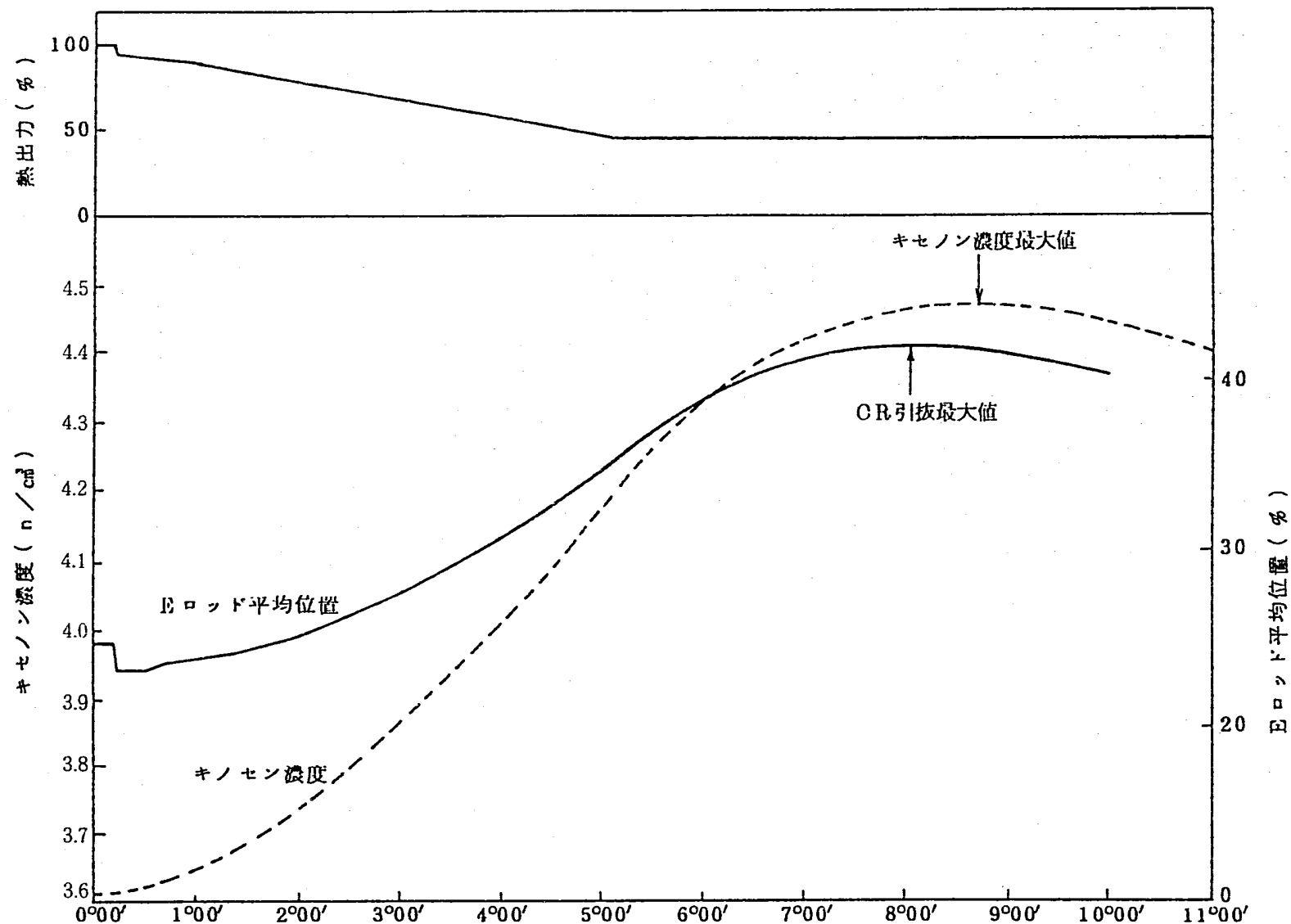


図 4.1-10 「ふげん」通常停止時の E ロッド位置及びキセノン濃度変化 (S. 54. 6. 23)

表4.2-1 WIMS-ATR/LAYMON-2Aコードによる定格飽和時のキセノン反応

月／日	解 析 条 件	実効増倍係数計算値		キセノン反応度 計 算 値 * (%ΔK/K)	備 考
		Xe有り(定格)	Xe無し		
5/30	第一サイクル 燃焼度2.56GWd/t ¹⁰ B濃度2.8ppm	0.98280	1.01017	-2.785	M S I V 試験時 解 析 に 使 用
6/23	第一サイクル 燃焼度2.94GWd/t ¹⁰ B濃度2.3ppm	0.98282	1.01006	-2.772	通 常 停 止 時 解 析 に 使 用

$$* \frac{Xe\text{無し} - Xe\text{有り}}{Xe\text{有り}}$$

表4.2-2 「ふげん」実績データに基づくキセノン反応度計算誤差
(WIMS-ATR/LAYMON-2Aコード)

	月日時刻	TPM よみ (%)	出力係数 反応度 (%ΔK/K)	制御棒 反応度 [*] (%ΔK/K)	減速材温 度反応度 (%ΔK/K)	キセノン反応度 (%ΔK/K)		キセノン反応 度計算誤差 (%)
						実績推定値	計算値	
(1) 「ふげん」 MSIV 試験出力変更時 データ	5/30 16° 00	49.7	+0.299	+0.235 ±0.024	-0.035	-0.499	-0.465	+7.3±5.2
	5/30 17° 00	49.7	"	+0.285 ±0.029	"	-0.549	-0.534	+2.8±5.4
	5/30 18° 00	49.7	"	+0.305 ±0.031	"	-0.569	-0.568	+0.2±5.5
	5/30 19° 00	49.7	"	+0.300 ±0.032	"	-0.564	-0.576	+2.1±5.6
	5/30 20° 00	49.7	"	+0.280 ±0.028	"	-0.544	-0.554	-1.8±5.1
	5/30 21° 00	49.7	"	+0.253 ±0.025	"	-0.517	-0.532	-2.8±4.7
	5/30 22° 00	49.7	"	+0.213 ±0.021	"	-0.477	-0.493	-3.2±4.3
	5/30 23° 00	49.7	"	+0.175 ±0.018	"	-0.439	-0.446	-1.6±4.0
	5/31 0° 00	49.7	"	+0.140 ±0.014	"	-0.404	-0.393	+2.8±3.6
	5/31 1° 00	49.7	"	+0.092 ±0.009	"	-0.356	-0.337	+5.6±2.7
(54.5.30) 「ふげん」通常停止時 データ	6/23 5° 00	45.1	+0.319	+0.200 ±0.020	-0.040	-0.479	-0.435	+10.1±4.6
	6/23 30	45.2	"	+0.245 ±0.025	-0.035	-0.529	-0.499	+6.0±5.0
	6/23 6° 00	45.4	"	+0.285 ±0.029	"	-0.569	-0.552	+3.1±5.3
	6/23 30	45.0	"	+0.308 ±0.031	"	-0.592	-0.590	+0.3±5.3
	6/23 7° 00	44.9	"	+0.323 ±0.032	"	-0.607	-0.618	-1.8±5.2
	6/23 30	45.2	"	+0.332 ±0.033	"	-0.616	-0.638	-3.4±5.2
	6/23 8° 00	45.0	"	+0.337 ±0.034	"	-0.621	-0.651	-4.6±5.2
	6/23 30	45.6	"	+0.335 ±0.034	"	-0.619	-0.657	-5.8±5.2
	6/23 9° 00	45.4	"	+0.330 ±0.033	"	-0.614	-0.654	-6.1±5.0
	6/23 30	45.2	"	+0.320 ±0.032	"	-0.604	-0.649	-6.9±4.9
	6/23 10° 00	45.4	"	+0.306 ±0.031	"	-0.590	-0.635	-7.1±4.9
*1 ±10%の計算誤差を考慮								
*2 (推定値/計算値-1) ×100%								
正側最大値								+14.7
負側最大値								-12.0

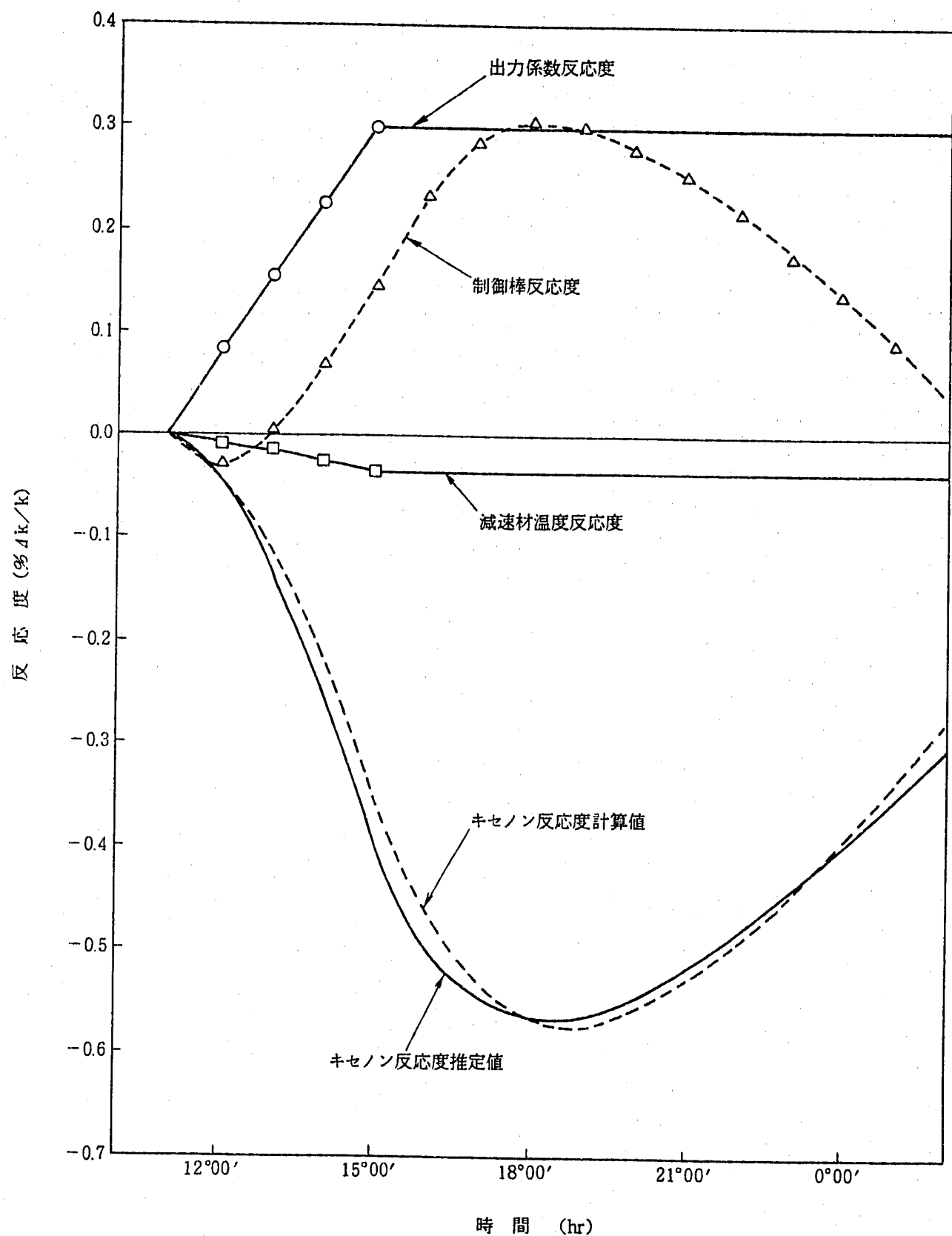


図 4.2-1 MSIV 試験時出力降下時のキセノン反応度の計算値と推定値の比較

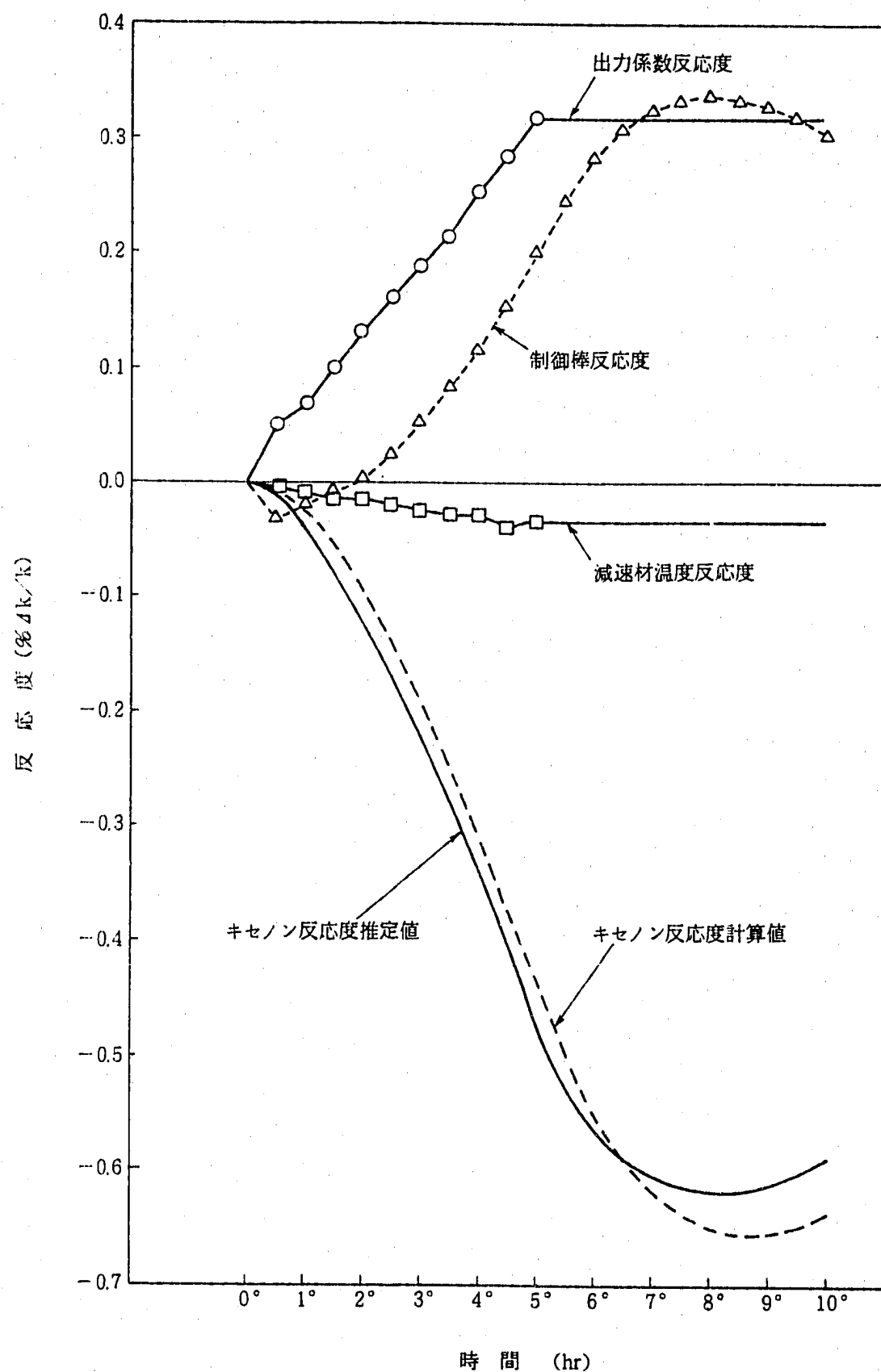


図 4.2-2 通常停止時出力低下時のキセノン反応度の計算値と推定値の比較

5. 結論

大洗工学センター臨界工学試験室（DCA）の実験データ及びふげん発電所の起動試験、運転実績データを用いてDCA Pu-U2領域炉心のチャンネル出力分布、SUS制御棒の反応度価値ふげんの重水中ボロン反応度及びキセノン反応度の計算精度解析を実施し、核設計コードWIMS-ATRの計算精度を確認した。

本検討の結果を以下に要約する。

- (1) DCA Pu-U2領域炉心のチャンネル出力分布の平均誤差(RMS)は4.8%，径方向ピーキング係数の相対誤差は+2.1%であり、計算値と実験値は比較的良く一致している。
- (2) DCA Pu-U2領域炉心のSUS制御棒反応度価値の計算誤差((C/E-1(%)))は-5.9%であり、設計誤差である±10% (C/E-1)以内である。
- (3) 「ふげん」起動試験実績データに基づく重水中ボロン反応度の計算誤差((C/E-1(%)))は-2.2%～+7.9%であり、設計誤差である±10%以内である。
- (4) 「ふげん」運転実績データに基づくキセノン反応度の計算誤差は-12.0～+14.7%であり、設計誤差である±20%以内である。

今後、本検討の成果を新型転換炉実証炉の設計に反映して行く必要がある。

6. 謝　　辞

本研究の遂行にあたり、御協力を頂いた日立製作所笹川勝、金戸邦和氏、日立エンジニアリング株式会社増田博之、堂元昇氏をはじめ、関係各位に対し、心から感謝の意を表する。

7. 参考文献

- (1) (株)日立製作所：新型転換炉実証炉炉心性能向上の検討成果報告書，PNC ZJ3124 87-500, '87年6月
- (2) M. J. Brinkworth, J. A. Griffiths : METHUSELAH-II A Fortran Program and Nuclear Data Library for Physics Assessment of Liquid Moderated Reactors, AEEW-R480
- (3) J. R. Askew et al., "A General Description of the Lattice Code WIMS ENEA Computer Programme Library EW304"
- (4) (株)日立製作所：新型転換炉実証炉のための設計コードの開発－36本クラスタ局所ピーキング係数，SUS制御棒反応度価値の計算精度と設計手法の改良－，PNC ZJ302 84-07, '84年2月
- (5) (株)日立製作所：新型転換炉実証炉のための設計コードの開発－DCAガドリニア入り燃料データに基づくLAYMON-2Aプログラムの改良・整備－，PNC ZJ302 85-06, '85年2月
- (6) ORNL : Nuclear Reactor Core Analysis Code CITATION REVISION2, July, 1971
- (7) (株)日立製作所：新型転換炉実証炉核設計コードの計算精度解析(Ⅱ)－制御棒反応度価値及びDCA出力分布，'88年7月
- (8) W. J. Eich et al., : Calculation of Reactivity Worth of Rod-Cluster Control Elements and Correlation of Theory with Experiment, Nucl. Sci. Eng. 24, 272-283 (1966)
- (9) (株)日立製作所：新型転換炉原型炉「ふげん」起動試験に基づく制御棒計画および炉心管理プログラム(Ⅰ)－試験データに基づく炉心計画の検討、評価－，ZJ302 79-03, '79年2月
- (10) (株)日立製作所：新型転換炉原型炉ふげん発電所長期制御棒計画及び燃料取替計画作成，PNC ZJ302 80-04, '80年3月
- (11) (株)日立製作所：新型転換炉原型炉“ふげん”炉心管理プログラムシステムの開発，ZJ302 78-04, '78年2月
- (12) (株)日立製作所：新型転換炉実証炉核設計コードの計算精度解析，'88年4月
- (13) DCA実験レポート PNC ZN 81-208
- (14) DCA実験レポート PNC SN 72-23 「チェスボード炉心実験」

8. 付 錄

8.1 計算に使用した核定数

本検討に使用したWIMS-ATRコードで計算したLAYMON-2Aコード用の核定数（B定数）を表8.1-1～表8.1-4に示す。参考のためにこれらB定数のLAYMON-2Aコードにおけるフィッティング式を表8.1-15～表8.1-17に示す。

一方、CITATIONコード用の核定数を図8.1-1に示す。

8.2 WIMS-ATRコードとMETHUSELAH-IIコードのキセノン反応度及びボロン反応度の比較

(1) METHUSELAH-IIコードで解析したキセノン反応度の計算精度

従来の計算精度評価に使用したMETHUSELAH-IIコードを使用したキセノン反応度の計算法と今回のWIMS-ATRコードによるキセノン反応度の計算法を比較して表8.2-1に示す。従来の方法で使用したキセノン反応度は表8.2-2の示すMETHUSELAH-IIコードの格子計算の結果より算出したPuO₂, UO₂格子とUO₂格子のキセノン反応度をインポータンス合成法で合成したものである。このキセノン反応度を使用した場合のキセノン反応度の計算誤差を表8.2-1に示す。表8.2-1よりこの方法によるMETHUSELAH-IIコードのキセノン反応度の計算誤差は-18.7%～+5.9%であり、WIMS-ATRコードの計算誤差-12.0%～+14.7%と比べ6～9%ほど負側に大きな誤差を示すが、設計誤差である±20%の範囲内にある。

(2) WIMS-ATRコードとMETHUSELAH-IIコードの格子ベースでのキセノン反応度の比較

表8.2-4格子計算ベースでのWIMS-ATRコードとMETHUSELAH-IIコードのキセノン反応度の比較を示す。表8.2-4に示すごとくMETHUSELAH-IIコードと比べWIMS-ATRコードの方が若干小さ目の値を示すが、ほとんど差がなく、したがってLAYMON-2Aコードでキセノン反応度を算出すれば両コードとも同程度のキセノン反応度の値を示すことが予想される。

(3) WIMS-ATRコードとMETHUSELAH-IIコードの格子ベースでのボロン反応度の比較

表8.2-5に定格出力時、燃焼 50MWd/tで計算した格子計算ベースでのWIMS-ATRコードとMETHUSELAH-IIコードのボロン反応度(%Δk[∞]/ppm)の比較を示す。MOX燃料ではWIMS-ATRコードの方が若干大きく、UO₂燃料で

は逆に若干小さい傾向を示すが、両コードとも大差がない値を示す。

8.3 DCA Pu-U2 領域炉心チャンネル出力分布実験データについて

2.1節の炉心境界定数サーチに使用したDCA Pu-U2 領域炉心チャンネル出力分布は下記のごとくして算出した。

図9.3-1に実験で得られたチャンネル出力（□で示す。）と推定チャンネル出力（＊で示す。）を示す。

炉心境界定数をサーチするためには全チャンネルの出力が必要であることからチャンネル出力実験値を使用して実験値のないチャンネル出力を次のようにして算出した。

まず、D軸上のチャンネル出力は中心から等距離にある2つの実験値を平均した。即ちcチャンネルの値はaチャンネルとbチャンネルの値を平均した。

次にD軸とC'軸にはさまれたチャンネルはB軸とC'軸の実験値よりチャンネル出力と中心からの距離の関係図をプロットし、図8.3-2に示す炉心からの距離を使用してチャンネル出力の値を読みとった。同様に、C軸とD軸にはさまれたチャンネルはA軸とC軸の実験値により同様の方法で求めた。

* PNC ZN941 82-93 の値使用

表 8.1-1 新吸収面積法によるLAYMON-2AコードB定数のまとめ（クラス3入力値）(1/1)
 DCA(0.54, 0.54, 0.54)PUO₂, E=0(Gwd/l), ¹⁰B=0(ppm), VOID=0(%)

B定数	関連項目	値	B定数	関連項目	値
B ₁	M ²	1.858 +2	B ₂₆	ボイド燃焼度 積算因子	
B ₂	M ²		B ₂₇	v	2.670
B ₃	M ²		B ₂₈	v	
B ₄	δKcr	-6.765 -2	B ₂₉	v	
B ₅	クラスタ内 燃料ピン本数	28.0	B ₃₀	Σf	2.678 -3
B ₆	K [∞] uncont	1.257	B ₃₁	Σf	
B ₇	δKcr		B ₃₂	Σf	
B ₈	特殊燃料か 否かのフラグ		B ₃₃	Σf	
B ₉	K [∞] uncont		B ₃₄	Σf	
B ₁₀	δKcr		B ₃₅	M ²	
B ₁₁	—		B ₃₆	M ²	
B ₁₂	K [∞] uncont		B ₃₇	δKcr	
B ₁₃	δKe		B ₃₈	特殊燃料内層ピン の被覆管外径	
B ₁₄	δKe		B ₃₉	K [∞] uncont	
B ₁₅	δKe		B ₄₀	δKcr	
B ₁₆	δKe		B ₄₁	特殊燃料外層ピン の被覆管外径	
B ₁₇	δKd		B ₄₂	K [∞] uncont	
B ₁₈	δKd		B ₄₃	= I Σ f φ ₀	
B ₁₉	δKd		B ₄₄	= x Σ f φ ₀	
B ₂₀	δKe		B ₄₅	λI	
B ₂₁	δKe		B ₄₆	λx	
B ₂₂	燃焼度積算因子 (St.Fuel=1.0)		B ₄₇	—	
B ₂₃	ボイド燃焼度 積算因子		B ₄₈	Σf	
B ₂₄	チャンネル 流量分布		B ₄₉	δKm	
B ₂₅	チャンネル 流量分布		B ₅₀	δKm	

表 8.1-2 新吸収面積法によるLAYMON-2AコードB定数のまとめ（クラス3入力値）(1/1)
 DCA(1.20, 1.20, 1.20) UO₂, E=0(Gwd/t), ¹⁰B=0(ppm), VOID=0(%)

B定数	関連項目	値	B定数	関連項目	値
B ₁	M ²	1.957 +2	B ₂₆	ボイド燃焼度 積算因子	
B ₂	M ²		B ₂₇	v	2.449
B ₃	M ²		B ₂₈	v	
B ₄	δKcr		B ₂₉	v	
B ₅	クラスタ内 燃料ピン本数	28.0	B ₃₀	Σf	2.602 -3
B ₆	K [∞] uncont	1.190	B ₃₁	Σf	
B ₇	δKcr		B ₃₂	Σf	
B ₈	特殊燃料か 否かのフラグ		B ₃₃	Σf	
B ₉	K [∞] uncont		B ₃₄	Σf	
B ₁₀	δKcr		B ₃₅	M ²	
B ₁₁	—		B ₃₆	M ²	
B ₁₂	K [∞] uncont		B ₃₇	δKcr	
B ₁₃	δKe		B ₃₈	特殊燃料内層ピン の被覆管外径	
B ₁₄	δKe		B ₃₉	K [∞] uncont	
B ₁₅	δKe		B ₄₀	δKcr	
B ₁₆	δKe		B ₄₁	特殊燃料外層ピン の被覆管外径	
B ₁₇	δKd		B ₄₂	K [∞] uncont	
B ₁₈	δKd		B ₄₃	= I Σf φ _o	
B ₁₉	δKd		B ₄₄	= x Σf φ _o	
B ₂₀	δKe		B ₄₅	λI	
B ₂₁	δKe		B ₄₆	λx	
B ₂₂	燃焼度積算因子 (St.Fuel=1.0)		B ₄₇	—	
B ₂₃	ボイド燃焼度 積算因子		B ₄₈	Σf	
B ₂₄	チャンネル 流量分布		B ₄₉	δKm	
B ₂₅	チャンネル 流量分布		B ₅₀	δKm	

表 8.1-3 LAYMON-2AコードB定数のまとめ(クラス3入力値)(1/1)

ふげん(0.80, 0.80, 0.55)APUO₂, COLD E=0(Gwd/t), ¹⁰B=12.34(ppm), VOID=0(%)

B定数	関連項目	値	B定数	関連項目	値
B ₁	M ²	1.806 +2	B ₂₆	ボイド燃焼度 積算因子	
B ₂	M ²		B ₂₇	ν	2.699
B ₃	M ²		B ₂₈	ν	
B ₄	δK_{cr}	-1.350 -1	B ₂₉	ν	
B ₅	クラスタ内 燃料ピン本数	28.0	B ₃₀	Σf	2.821 -3
B ₆	K [∞] uncont	1.043	B ₃₁	Σf	
B ₇	δK_{cr}		B ₃₂	Σf	
B ₈	特殊燃料か 否かのフラグ		B ₃₃	Σf	
B ₉	K [∞] uncont		B ₃₄	Σf	
B ₁₀	δK_{cr}		B ₃₅	M ²	
B ₁₁	—		B ₃₆	M ²	
B ₁₂	K [∞] uncont		B ₃₇	δK_{cr}	
B ₁₃	δK_e		B ₃₈	特殊燃料内層ピン の被覆管外径	
B ₁₄	δK_e		B ₃₉	K [∞] uncont	
B ₁₅	δK_e		B ₄₀	δK_{cr}	
B ₁₆	δK_e		B ₄₁	特殊燃料外層ピン の被覆管外径	
B ₁₇	δK_d		B ₄₂	K [∞] uncont	
B ₁₈	δK_d		B ₄₃	= I $\Sigma f \phi_0$	
B ₁₉	δK_d		B ₄₄	= x $\Sigma f \phi_0$	
B ₂₀	δK_e		B ₄₅	λI	
B ₂₁	δK_e		B ₄₆	λx	
B ₂₂	燃焼度積算因子 (St.Fuel=1.0)		B ₄₇	—	
B ₂₃	ボイド燃焼度 積算因子		B ₄₈	Σf	
B ₂₄	チャンネル 流量分布		B ₄₉	δK_m	
B ₂₅	チャンネル 流量分布		B ₅₀	δK_m	

表 8.1 - 4 LAYMON-2A コード B 定数のまとめ (クラス 3 入力値) (1/1)

ふげん(1.50, 1.50, 1.50)AUO₂, COLD, E=0(Gwd/t), ¹⁰B=12.34(ppm), VOID=0(%)

B定数	関連項目	値	B定数	関連項目	値
B ₁	M ²	1.878 +2	B ₂₆	ボイド燃焼度 積算因子	
B ₂	M ²		B ₂₇	v	2.448
B ₃	M ²		B ₂₈	v	
B ₄	δ K _{c r}		B ₂₉	v	
B ₅	クラスタ内 燃料ピン本数	28.0	B ₃₀	Σ f	2.945 -3
B ₆	K [∞] ^{uncont}	1.040	B ₃₁	Σ f	
B ₇	δ K _{c r}		B ₃₂	Σ f	
B ₈	特殊燃料か 否かのフラグ		B ₃₃	Σ f	
B ₉	K [∞] ^{uncont}		B ₃₄	Σ f	
B ₁₀	δ K _{c r}		B ₃₅	M ²	
B ₁₁	—		B ₃₆	M ²	
B ₁₂	K [∞] ^{uncont}		B ₃₇	δ K _{c r}	
B ₁₃	δ K _e		B ₃₈	特殊燃料内層ピン の被覆管外径	
B ₁₄	δ K _e		B ₃₉	K [∞] ^{uncont}	
B ₁₅	δ K _e		B ₄₀	δ K _{c r}	
B ₁₆	δ K _e		B ₄₁	特殊燃料外層ピン の被覆管外径	
B ₁₇	δ K _d		B ₄₂	K [∞] ^{uncont}	
B ₁₈	δ K _d		B ₄₃	= I Σ f φ _o	
B ₁₉	δ K _d		B ₄₄	= x Σ f φ _o	
B ₂₀	δ K _e		B ₄₅	λ I	
B ₂₁	δ K _e		B ₄₆	λ x	
B ₂₂	燃焼度積算因子 (St.Fuel=1.0)		B ₄₇	—	
B ₂₃	ボイド燃焼度 積算因子		B ₄₈	Σ f	
B ₂₄	チャンネル 流量分布		B ₄₉	δ Km	
B ₂₅	チャンネル 流量分布		B ₅₀	δ Km	

表 8.1-5 LAYMON-2AコードB定数のまとめ(クラス3入力値)(1/1)

ふげん(0,80,0,80,0,55)APUQ, COLD E=0(Gwd/t), $\delta B=12.615(\text{ppm})$, VOID=0(%)

B定数	関連項目	値	B定数	関連項目	値
B ₁	M ²	1.803 +2	B ₂₆	ボイド燃焼度 積算因子	
B ₂	M ²		B ₂₇	ν	2.699
B ₃	M ²		B ₂₈	ν	
B ₄	δK_{cr}	-1.346 -1	B ₂₉	ν	
B ₅	クラスタ内 燃料ピン本数	28.0	B ₃₀	Σf	2.820 -3
B ₆	K $^{\infty}$ uncont	1.040	B ₃₁	Σf	
B ₇	δK_{cr}		B ₃₂	Σf	
B ₈	特殊燃料か 否かのフラグ		B ₃₃	Σf	
B ₉	K $^{\infty}$ uncont		B ₃₄	Σf	
B ₁₀	δK_{cr}		B ₃₅	M ²	
B ₁₁	---		B ₃₆	M ²	
B ₁₂	K $^{\infty}$ uncont		B ₃₇	δK_{cr}	
B ₁₃	δK_e		B ₃₈	特殊燃料内層ピン の被覆管外径	
B ₁₄	δK_e		B ₃₉	K $^{\infty}$ uncont	
B ₁₅	δK_e		B ₄₀	δK_{cr}	
B ₁₆	δK_e		B ₄₁	特殊燃料外層ピン の被覆管外径	
B ₁₇	δK_d		B ₄₂	K $^{\infty}$ uncont	
B ₁₈	δK_d		B ₄₃	= I $\Sigma f \phi_0$	
B ₁₉	δK_d		B ₄₄	= x $\Sigma f \phi_0$	
B ₂₀	δK_e		B ₄₅	λI	
B ₂₁	δK_e		B ₄₆	λx	
B ₂₂	燃焼度積算因子 (St,Fuel=1.0)		B ₄₇	—	
B ₂₃	ボイド燃焼度 積算因子		B ₄₈	Σf	
B ₂₄	チャンネル 流量分布		B ₄₉	δK_m	
B ₂₅	チャンネル 流量分布		B ₅₀	δK_m	

表 8.1 - 6 LAYMON-2A コード B 定数のまとめ (クラス 3 入力値) (1/1)

ふげん(1.50, 1.50, 1.50)AUO₂, COLD E=0(Gwd/t), ¹⁰B=12.615(ppm), VOID=0(%)

B定数	関連項目	値	B定数	関連項目	値
B ₁	M ²	1.875 +2	B ₂₆	ボイド燃焼度 積算因子	
B ₂	M ²		B ₂₇	ν	2.448
B ₃	M ²		B ₂₈	ν	
B ₄	δK_{cr}		B ₂₉	ν	
B ₅	クラスタ内 燃料ピン本数	28.0	B ₃₀	Σf	2.943 -3
B ₆	K $^{\infty}$ uncont	1.037	B ₃₁	Σf	
B ₇	δK_{cr}		B ₃₂	Σf	
B ₈	特殊燃料か 否かのフラグ		B ₃₃	Σf	
B ₉	K $^{\infty}$ uncont		B ₃₄	Σf	
B ₁₀	δK_{cr}		B ₃₅	M ²	
B ₁₁	—		B ₃₆	M ²	
B ₁₂	K $^{\infty}$ uncont		B ₃₇	δK_{cr}	
B ₁₃	δK_e		B ₃₈	特殊燃料内層ピン の被覆管外径	
B ₁₄	δK_e		B ₃₉	K $^{\infty}$ uncont	
B ₁₅	δK_e		B ₄₀	δK_{cr}	
B ₁₆	δK_e		B ₄₁	特殊燃料外層ピン の被覆管外径	
B ₁₇	δK_d		B ₄₂	K $^{\infty}$ uncont	
B ₁₈	δK_d		B ₄₃	= I $\Sigma f \phi_0$	
B ₁₉	δK_d		B ₄₄	= x $\Sigma f \phi_0$	
B ₂₀	δK_e		B ₄₅	λI	
B ₂₁	δK_e		B ₄₆	λx	
B ₂₂	燃焼度積算因子 (St.Fuel=1.0)		B ₄₇	—	
B ₂₃	ボイド燃焼度 積算因子		B ₄₈	Σf	
B ₂₄	チャンネル 流量分布		B ₄₉	δK_m	
B ₂₅	チャンネル 流量分布		B ₅₀	δK_m	

表 8.1-7 LAYMON-2Aコード B 定数のまとめ (クラス 3 入力値) (1/1)

ふげん(0.80, 0.80, 0.55)APUO₂, COLD E=0(Gwd/t), ¹⁰B=12.86(ppm), VOID=0(%)

B定数	関連項目	値	B定数	関連項目	値
B ₁	M ²	1.801 +2	B ₂₆	ボイド燃焼度 積算因子	
B ₂	M ²		B ₂₇	v	2.699
B ₃	M ²		B ₂₈	v	
B ₄	δ K _{c r}	-1.343 -1	B ₂₉	v	
B ₅	クラスタ内 燃料ピン本数	28.0	B ₃₀	Σ f	2.818 -3
B ₆	K [∞] _{uncont}	1.038	B ₃₁	Σ f	
B ₇	δ K _{c r}		B ₃₂	Σ f	
B ₈	特殊燃料か 否かのフラグ		B ₃₃	Σ f	
B ₉	K [∞] _{uncont}		B ₃₄	Σ f	
B ₁₀	δ K _{c r}		B ₃₅	M ²	
B ₁₁	—		B ₃₆	M ²	
B ₁₂	K [∞] _{uncont}		B ₃₇	δ K _{c r}	
B ₁₃	δ K _e		B ₃₈	特殊燃料内層ピン の被覆管外径	
B ₁₄	δ K _e		B ₃₉	K [∞] _{uncont}	
B ₁₅	δ K _e		B ₄₀	δ K _{c r}	
B ₁₆	δ K _e		B ₄₁	特殊燃料外層ピン の被覆管外径	
B ₁₇	δ K _d		B ₄₂	K [∞] _{uncont}	
B ₁₈	δ K _d		B ₄₃	= I Σ f φ _o	
B ₁₉	δ K _d		B ₄₄	= x Σ f φ _o	
B ₂₀	δ K _e		B ₄₅	λ I	
B ₂₁	δ K _e		B ₄₆	λ x	
B ₂₂	燃焼度積算因子 (St.Fuel=1.0)		B ₄₇	—	
B ₂₃	ボイド燃焼度 積算因子		B ₄₈	Σ f	
B ₂₄	チャンネル 流量分布		B ₄₉	δ K _m	
B ₂₅	チャンネル 流量分布		B ₅₀	δ K _m	

表 8.1 - 8 LAYMON-2AコードB定数のまとめ(クラス3入力値)(1/1)

ふげん(1.50, 1.50, 1.50)AUO₂ COLD E=0(Gwd/t), $^{10}B=12.86(\text{ppm})$, VOID=0(%)

B定数	関連項目	値	B定数	関連項目	値
B ₁	M ²	1.872 +2	B ₂₆	ボイド燃焼度 積算因子	
B ₂	M ²		B ₂₇	v	2.448
B ₃	M ²		B ₂₈	v	
B ₄	δK_{cr}		B ₂₉	v	
B ₅	クラスタ内 燃料ピン本数	28.0	B ₃₀	Σf	2.941 -3
B ₆	K [∞] uncont	1.035	B ₃₁	Σf	
B ₇	δK_{cr}		B ₃₂	Σf	
B ₈	特殊燃料か 否かのフラグ		B ₃₃	Σf	
B ₉	K [∞] uncont		B ₃₄	Σf	
B ₁₀	δK_{cr}		B ₃₅	M ²	
B ₁₁	—		B ₃₆	M ²	
B ₁₂	K [∞] uncont		B ₃₇	δK_{cr}	
B ₁₃	δK_e		B ₃₈	特殊燃料内層ピン の被覆管外径	
B ₁₄	δK_e		B ₃₉	K [∞] uncont	
B ₁₅	δK_e		B ₄₀	δK_{cr}	
B ₁₆	δK_e		B ₄₁	特殊燃料外層ピン の被覆管外径	
B ₁₇	δK_d		B ₄₂	K [∞] uncont	
B ₁₈	δK_d		B ₄₃	= I $\Sigma f \phi_0$	
B ₁₉	δK_d		B ₄₄	= x $\Sigma f \phi_0$	
B ₂₀	δK_e		B ₄₅	λI	
B ₂₁	δK_e		B ₄₆	λx	
B ₂₂	燃焼度積算因子 (St.Fuel=1.0)		B ₄₇	—	
B ₂₃	ボイド燃焼度 積算因子		B ₄₈	Σf	
B ₂₄	チャンネル 流量分布		B ₄₉	δK_m	
B ₂₅	チャンネル 流量分布		B ₅₀	δK_m	

表 8.1 - 9(1) LAYMON-2Aコード B 定数のまとめ(クラス 3 入力値)(1/3)

ふげん(0.80, 0.80, 0.55)APU0: HOT

B 定数	関連項目	値	B 定数	関連項目	値
B ₁	M ²	2.860 +2	B ₂₆	ボイド燃焼度 積算因子	0.0
B ₂	M ²	-3.426 -1	B ₂₇	v	2.716
B ₃	M ²	9.710 -2	B ₂₈	v	6.961 -3
B ₄	δ K _{c r}	-1.851 -1	B ₂₉	v	-4.464 -5
B ₅	クラスタ内 燃料ピン本数	28.0	B ₃₀	Σ f	0.0
B ₆	K [∞] uncont	1.173	B ₃₁	Σ f	0.0
B ₇	δ K _{c r}	-1.460 -1	B ₃₂	Σ f	0.0
B ₈	特殊燃料か 否かのフラグ	0.0	B ₃₃	Σ f	0.0
B ₉	K [∞] uncont	-3.230 -2	B ₃₄	Σ f	0.0
B ₁₀	δ K _{c r}	2.836 -2	B ₃₅	M ²	-6.125 -3
B ₁₁	—	0.0	B ₃₆	M ²	1.344 -3
B ₁₂	K [∞] uncont	-1.227 -2	B ₃₇	δ K _{c r}	-9.218 -3
B ₁₃	δ K _e	3.916 -4	B ₃₈	特殊燃料内層ピン の被覆管外径	0.0
B ₁₄	δ K _e	-1.313 -5	B ₃₉	K [∞] uncont	1.504 -2
B ₁₅	δ K _e	6.357 -7	B ₄₀	δ K _{c r}	1.192 -4
B ₁₆	δ K _e	-1.092 -8	B ₄₁	特殊燃料外層ピン の被覆管外径	0.0
B ₁₇	δ K _d	5.726 -3	B ₄₂	K [∞] uncont	1.765 -4
B ₁₈	δ K _d	0.0	B ₄₃	= I Σ f φ _o	2.560 +10
B ₁₉	δ K _d	0.0	B ₄₄	= x Σ f φ _o	1.12 +9
B ₂₀	δ K _e	-1.969 -2	B ₄₅	λ I	2.88 -5
B ₂₁	δ K _e	2.033 -3	B ₄₆	λ x	2.11 -5
B ₂₂	燃焼度積算因子 (St.Fuel=1.0)	1.0	B ₄₇	—	—
B ₂₃	ボイド燃焼度 積算因子	1.0	B ₄₈	Σ f	0.0
B ₂₄	チャンネル 流量分布	0.0	B ₄₉	δ K _m	-8.108 -4
B ₂₅	チャンネル 流量分布	0.0	B ₅₀	δ K _m	2.154 -4

表 8.1 - 9 (2) LAYMON-2Aコード B 定数のまとめ (クラス 3 入力値)(2/3)
ふげん(0.80, 0.80, 0.55)APUO₂ HOT

B定数	関連項目	値	B定数	関連項目	値
B ₅₁	δK_m	8.919	B ₇₆	δK_{xe}	2.783 -4
B ₅₂	δK_m	-4.229 -6	B ₇₇	δK_{xe}	0.0
B ₅₃	δK_m	-7.616 -4	B ₇₈	δK_{xe}	0.0
B ₅₄	δK_{sm}	-2.686 -2	B ₇₉	δK_{xe}	0.0
B ₅₅	δK_{sm}	5.288 -2	B ₈₀	チャンネル流量分布	1.077
B ₅₆	δK_{sm}	-3.267 -2	B ₈₁	チャンネル流量分布	0.005
B ₅₇	δK_{sm}	6.373 -3	B ₈₂	チャンネル流量分布	-0.0489
B ₅₈	LPF	0.0	B ₈₃	チャンネル流量分布	0.2355
B ₅₉	LPF	0.0	B ₈₄	チャンネル流量分布	-0.07388
B ₆₀	LPF	0.0	B ₈₅	チャンネル流量分布	-0.1190
B ₆₁	K^∞ に対するスペクトル補正係数	1.0	B ₈₆	LPF	0.0
B ₆₂	K^∞ に対するスペクトル補正係数	0.0	B ₈₇	LPF	0.0
B ₆₃	K^∞ に対するスペクトル補正係数	0.0	B ₈₈	LPF	0.0
B ₆₄	K^∞ に対するスペクトル補正係数	0.0	B ₈₉	LPF	0.0
B ₆₅	K^∞ に対するスペクトル補正係数	0.0	B ₉₀	LPF	0.0
B ₆₆	M^2 に対するスペクトル補正係数	1.0	B ₉₁	LPF	0.0
B ₆₇	M^2 に対するスペクトル補正係数	0.0	B ₉₂	SPMODK (防振板による K^∞ 補正因子)	9.197 -1
B ₆₈	M^2 に対するスペクトル補正係数	0.0	B ₉₃	SPMODK (防振板による K^∞ 補正因子)	2.723 -3
B ₆₉	M^2 に対するスペクトル補正係数	0.0	B ₉₄	SPMODK (防振板による K^∞ 補正因子)	1.376 -2
B ₇₀	M^2 に対するスペクトル補正係数	0.0	B ₉₅	SPMODK (防振板による K^∞ 補正因子)	-3.594 -4
B ₇₁	δK_{xe}	2.642 -2	B ₉₆	SPMODM (防振板による M^2 補正因子)	1.074
B ₇₂	δK_{xe}	-1.498 -4	B ₉₇	SPMODM (防振板による M^2 補正因子)	1.548 -3
B ₇₃	δK_{xe}	-1.624 -6	B ₉₈	SPMODM (防振板による M^2 補正因子)	-3.521 -2
B ₇₄	δK_{xe}	4.023 -1	B ₉₉	SPMODM (防振板による M^2 補正因子)	-3.858 -4
B ₇₅	δK_{xe}	-1.452 -2	B ₁₀₀	—	0.0

表 8.1-9(3) LAYMON-2A コード B 定数のまとめ (クラス 3 入力値)(3/3)
 ふげん(0.80, 0.80, 0.55) APUO₂ HOT

表 8.1 + 10 LAYMON-2A コード B 定数のまとめ (クラス 35, 38, 43 入力値)

ふげん(0.80, 0.80, 0.55) APU0₁-U0₂ HOT

B 定数	関連項目	値	B 定数	関連項目	値
a	Σf	2.265 -3	d	LPF(3-lay)	-2.795 -6
b	Σf	3.621 -4	e	LPF(3-lay)	-3.436 -4
c	Σf	-1.056 -5	f	LPF(3-lay)	1.417 -2
d	Σf	-2.212 -5	g	LPF(3-lay)	-1.698 -2
e	Σf	-4.167 -5	a	LPF(4-lay)	
f	Σf	4.943 -7	b	LPF(4-lay)	
g	Σf	-2.766 -5	c	LPF(4-lay)	
h	Σf	9.398 -7	d	LPF(4-lay)	
a	LPF(1-lay)	7.427 -1	e	LPF(4-lay)	
b	LPF(1-lay)	2.037 -2	f	LPF(4-lay)	
c	LPF(1-lay)	-5.490 -4	g	LPF(4-lay)	
d	LPF(1-lay)	8.573 -7	a	$\delta K_{e,cr}$	2.090 -3
e	LPF(1-lay)	7.945 -4	b	$\delta K_{e,cr}$	9.328 -5
f	LPF(1-lay)	-3.258 -2	c	$\delta K_{e,cr}$	-3.595 -6
g	LPF(1-lay)	5.796 -2			
a	LPF(2-lay)	9.198 -1			
b	LPF(2-lay)	8.048 -3			
c	LPF(2-lay)	-4.564 -4			
d	LPF(2-lay)	6.308 -6			
e	LPF(2-lay)	3.785 -4			
f	LPF(2-lay)	-1.787 -2			
g	LPF(2-lay)	1.086 -2			
a	LPF(3-lay)	1.105			
b	LPF(3-lay)	-6.794 -3			
c	LPF(3-lay)	2.834 -4			

表 8.1 - 11(1) LAYMON-2Aコード B 定数のまとめ (クラス 3 入力値)(1/3)

ふげん(1.50, 1.50, 1.50)AUO₂ HOT

B定数	関連項目	値	B定数	関連項目	値
B ₁	M ²	3.042 +2	B ₂₆	ボイド燃焼度 積算因子	0.0
B ₂	M ²	-3.414 -1	B ₂₇	v	2.457
B ₃	M ²	9.582 -2	B ₂₈	v	2.547 -2
B ₄	δK_{cr}	-2.044 -1	B ₂₉	v	-4.458 -4
B ₅	クラスタ内 燃料ピン本数	28.0	B ₃₀	Σf	0.0
B ₆	K [∞] uncont	1.203	B ₃₁	Σf	0.0
B ₇	δK_{cr}	-1.615 -1	B ₃₂	Σf	0.0
B ₈	特殊燃料か 否かのフラグ	0.0	B ₃₃	Σf	0.0
B ₉	K [∞] uncont	-5.779 -2	B ₃₄	Σf	0.0
B ₁₀	δK_{cr}	3.432 -2	B ₃₅	M ²	-6.416 -3
B ₁₁	—	0.0	B ₃₆	M ²	-1.065 -3
B ₁₂	K [∞] uncont	-1.432 -2	B ₃₇	δK_{cr}	-9.943 -3
B ₁₃	δK_e	-1.159 -3	B ₃₈	特殊燃料内層ピン の被覆管外径	0.0
B ₁₄	δK_e	9.977 -5	B ₃₉	K [∞] uncont	1.633 -2
B ₁₅	δK_e	-3.541 -6	B ₄₀	δK_{cr}	1.125 -4
B ₁₆	δK_e	4.936 -8	B ₄₁	特殊燃料外層ピン の被覆管外径	0.0
B ₁₇	δK_d	5.811 -3	B ₄₂	K [∞] uncont	2.210 -4
B ₁₈	δK_d	0.0	B ₄₃	= I $\Sigma f \phi_0$	2.46 +10
B ₁₉	δK_d	0.0	B ₄₄	= x $\Sigma f \phi_0$	1.13 +9
B ₂₀	δK_e	-9.199 -3	B ₄₅	λI	2.88 -5
B ₂₁	δK_e	9.463 -4	B ₄₆	λx	2.11 -5
B ₂₂	燃焼度積算因子 (St.Fuel=1.0)	1.0	B ₄₇	—	0.0
B ₂₃	ボイド燃焼度 積算因子	1.0	B ₄₈	Σf	0.0
B ₂₄	チャンネル 流量分布	0.0	B ₄₉	δK_m	-1.169 -3
B ₂₅	チャンネル 流量分布	0.0	B ₅₀	δK_m	2.417 -4

表 8.1 - 11(2) LAYMON-2AコードB定数のまとめ（クラス3入力値）(2/3)
ふげん(1.50, 1.50, 1.50)AUO₂ HOT

B定数	関連項目	値	B定数	関連項目	値
B ₅₁	δ Km	1.007 +1	B ₇₆	δ Kxe	5.708 -5
B ₅₂	δ Km	-5.548 -6	B ₇₇	δ Kxe	0.0
B ₅₃	δ Km	-9.557 -4	B ₇₈	δ Kxe	0.0
B ₅₄	δ Ksm	-2.978 -2	B ₇₉	δ Kxe	0.0
B ₅₅	δ Ksm	5.657 -2	B ₈₀	チャンネル流量分布	オリフィスなし 1.077
B ₅₆	δ Ksm	-3.334 -2	B ₈₁	チャンネル流量分布	オリフィスあり 0.6714
B ₅₇	δ Ksm	6.223 -3	B ₈₂	チャンネル流量分布	0.005 -0.0640
B ₅₈	LPF	0.0	B ₈₃	チャンネル流量分布	-0.0489 -0.0351
B ₅₉	LPF	0.0	B ₈₄	チャンネル流量分布	0.2355 0.1550
B ₆₀	LPF	0.0	B ₈₅	チャンネル流量分布	-0.07388 -0.08376
B ₆₁	K [∞] に対するスペクトル補正係数	1.0	B ₈₆	LPF	-0.1190 -0.0796
B ₆₂	K [∞] に対するスペクトル補正係数	0.0	B ₈₇	LPF	0.0
B ₆₃	K [∞] に対するスペクトル補正係数	0.0	B ₈₈	LPF	0.0
B ₆₄	K [∞] に対するスペクトル補正係数	0.0	B ₈₉	LPF	0.0
B ₆₅	K [∞] に対するスペクトル補正係数	0.0	B ₉₀	LPF	0.0
B ₆₆	M ² に対するスペクトル補正係数	1.0	B ₉₁	LPF	0.0
B ₆₇	M ² に対するスペクトル補正係数	0.0	B ₉₂	SPMODK (防振板によるK [∞] 補正因子)	9.131 -1
B ₆₈	M ² に対するスペクトル補正係数	0.0	B ₉₃	SPMODK (防振板によるK [∞] 補正因子)	3.024 -3
B ₆₉	M ² に対するスペクトル補正係数	0.0	B ₉₄	SPMODK (防振板によるK [∞] 補正因子)	1.367 -2
B ₇₀	M ² に対するスペクトル補正係数	0.0	B ₉₅	SPMODK (防振板によるK [∞] 補正因子)	-3.828 -5
B ₇₁	δ Kxe	2.978 -2	B ₉₆	SPMODM (防振板によるM ² 補正因子)	1.068
B ₇₂	δ Kxe	-4.138 -4	B ₉₇	SPMODM (防振板によるM ² 補正因子)	1.716 -3
B ₇₃	δ Kxe	4.523 -6	B ₉₈	SPMODM (防振板によるM ² 補正因子)	-3.610 -2
B ₇₄	δ Kxe	3.185 -1	B ₉₉	SPMODM (防振板によるM ² 補正因子)	-1.620 -4
B ₇₅	δ Kxe	-6.408 -3	B ₁₀₀	—	0.0

表 8.1-11(3) LAYMON-2A コード B 定数のまとめ (クラス 3 入力値)(3/3)
 ふげん(1.50, 1.50, 1.50)AUO₂ HOT

表 8.1 - 12 LAYMON-2AコードB定数のまとめ（クラス35,38,43入力値）
ふげん(1,50,1,50,1,50)AU0₂ HOT

B定数	関連項目	値	B定数	関連項目	値
a	Σf	2.298 -3	d	LPF(3-lay)	8.197 -6
b	Σf	3.564 -4	e	LPF(3-lay)	-3.634 -4
c	Σf	-1.271 -5	f	LPF(3-lay)	1.532 -2
d	Σf	-1.738 -5	g	LPF(3-lay)	-1.412 -2
e	Σf	-3.444 -5	a	LPF(4-lay)	
f	Σf	5.971 -7	b	LPF(4-lay)	
g	Σf	-2.134 -5	c	LPF(4-lay)	
h	Σf	3.771 -7	d	LPF(4-lay)	
a	LPF(1-lay)	7.418 -1	e	LPF(4-lay)	
b	LPF(1-lay)	4.669 -3	f	LPF(4-lay)	
c	LPF(1-lay)	6.612 -4	g	LPF(4-lay)	
d	LPF(1-lay)	-2.315 -5	a	$\delta K_{e,cr}$	1.025 -3
e	LPF(1-lay)	8.805 -4	b	$\delta K_{e,cr}$	1.496 -4
f	LPF(1-lay)	-3.579 -2	c	$\delta K_{e,cr}$	-4.211 -6
g	LPF(1-lay)	5.027 -2			
a	LPF(2-lay)	8.541 -1			
b	LPF(2-lay)	4.037 -3			
c	LPF(2-lay)	2.657 -4			
d	LPF(2-lay)	-1.199 -5			
e	LPF(2-lay)	4.283 -4			
f	LPF(2-lay)	-2.119 -2			
g	LPF(2-lay)	9.965 -3			
a	LPF(3-lay)	1.138			
b	LPF(3-lay)	-2.291 -3			
c	LPF(3-lay)	-2.049 -4			

表 8.1 -- 13(1) LAYMON-2AコードB定数のまとめ (クラス3入力値)(1/3)

ふげん(2.50, 1.50)ASP HOT

B定数	関連項目	値	B定数	関連項目	値
B ₁	M ²	2.964 +2	B ₂₆	ボイド燃焼度 積算因子	0.0
B ₂	M ²	-2.786 -1	B ₂₇	v	2.451
B ₃	M ²	7.358 -2	B ₂₈	v	1.923 -2
B ₄	δKcr	0.0	B ₂₉	v	-2.137 -4
B ₅	クラスタ内 燃料ピン本数	36.0	B ₃₀	Σf	0.0
B ₆	K [∞] uncont	1.213	B ₃₁	Σf	0.0
B ₇	δKcr	0.0	B ₃₂	Σf	0.0
B ₈	特殊燃料か 否かのフラグ	1.0	B ₃₃	Σf	0.0
B ₉	K [∞] uncont	-5.912 -2	B ₃₄	Σf	0.0
B ₁₀	δKcr	0.0	B ₃₅	M ²	-7.563 -3
B ₁₁	—	0.0	B ₃₆	M ²	4.299 -4
B ₁₂	K [∞] uncont	-1.490 -2	B ₃₇	δKcr	0.0
B ₁₃	δKe	-6.370 -4	B ₃₈	特殊燃料内層ピン の被覆管外径	0.97
B ₁₄	δKe	3.016 -5	B ₃₉	K [∞] uncont	1.125 -2
B ₁₅	δKe	-4.788 -7	B ₄₀	δKcr	0.0
B ₁₆	δKe	2.985 -9	B ₄₁	特殊燃料外層ピン の被覆管外径	1.472
B ₁₇	δKd	5.551 -3	B ₄₂	K [∞] uncont	2.394 -4
B ₁₈	δKd	0.0	B ₄₃	= I Σ f φ _o	2.49 +10
B ₁₉	δKd	0.0	B ₄₄	= x Σ f φ _o	1.15 +9
B ₂₀	δKe	-9.733 -3	B ₄₅	λI	2.58 -5
B ₂₁	δKe	8.138 -4	B ₄₆	λx	2.51 -5
B ₂₂	燃焼度積算因子 (St.Fuel=1.0)	1.4	B ₄₇	—	0.0
B ₂₃	ボイド燃焼度 積算因子	1.4	B ₄₈	Σf	0.0
B ₂₄	チャンネル 流量分布	0.0	B ₄₉	δKm	-1.077 -3
B ₂₅	チャンネル 流量分布	0.0	B ₅₀	δKm	2.391 -4

表 8.1 - 13(2) LAYMON-2AコードB定数のまとめ (クラス3入力値)(2/3)

ふげん(2.50.1.50)ASP HOT

B定数	関連項目	値	B定数	関連項目	値	
B ₅₁	δ Km	9.940	B ₇₆	δ Kxe	9.715 -5	
B ₅₂	δ Km	-4.795 -6	B ₇₇	δ Kxe	0.0	
B ₅₃	δ Km	-9.643 -4	B ₇₈	δ Kxe	0.0	
B ₅₄	δ Ksm	-2.621 -2	B ₇₉	δ Kxe	0.0	
B ₅₅	δ Ksm	5.101 -2	B ₈₀	チャンネル流量分布	1.133	
B ₅₆	δ Ksm	-3.099 -2	B ₈₁	チャンネル流量分布	0.095	
B ₅₇	δ Ksm	5.917 -3	B ₈₂	チャンネル流量分布	-0.0739	
B ₅₈	LPF	0.0	B ₈₃	チャンネル流量分布	0.2975	
B ₅₉	LPF	0.0	B ₈₄	チャンネル流量分布	-0.1039	
B ₆₀	LPF	0.0	B ₈₅	チャンネル流量分布	-0.1846	
B ₆₁	K∞に対するスペクトル補正係数	MOX 9.737 -1	UO ₂ 9.933 -1	B ₈₆	LPF	0.0
B ₆₂	K∞に対するスペクトル補正係数	-1.784 -2	-8.913 -3	B ₈₇	LPF	0.0
B ₆₃	K∞に対するスペクトル補正係数	2.861 -4	9.563 -5	B ₈₈	LPF	0.0
B ₆₄	K∞に対するスペクトル補正係数	1.237 -4	-7.751 -4	B ₈₉	LPF	0.0
B ₆₅	K∞に対するスペクトル補正係数	7.669 -4	-3.717 -4	B ₉₀	LPF	0.0
B ₆₆	M ² に対するスペクトル補正係数	1.105	1.030	B ₉₁	LPF	0.0
B ₆₇	M ² に対するスペクトル補正係数	4.258 -2	2.833 -2	B ₉₂	SPMODK (防振板によるK∞補正因子)	9.149 -1
B ₆₈	M ² に対するスペクトル補正係数	1.873 -3	-6.292 -5	B ₉₃	SPMODK (防振板によるK∞補正因子)	3.115 -3
B ₆₉	M ² に対するスペクトル補正係数	-1.821 -3	1.339 -3	B ₉₄	SPMODK (防振板によるK∞補正因子)	9.579 -3
B ₇₀	M ² に対するスペクトル補正係数	-2.099 -3	9.914 -4	B ₉₅	SPMODK (防振板によるK∞補正因子)	-2.275 -4
B ₇₁	δ Kxe	3.072 -2	B ₉₆	SPMODM (防振板によるM ² 補正因子)	1.065	
B ₇₂	δ Kxe	-4.200 -4	B ₉₇	SPMODM (防振板によるM ² 補正因子)	2.480 -3	
B ₇₃	δ Kxe	2.946 -6	B ₉₈	SPMODM (防振板によるM ² 補正因子)	-3.760 -2	
B ₇₄	δ Kxe	2.651 -1	B ₉₉	SPMODM (防振板によるM ² 補正因子)	-2.950 -4	
B ₇₅	δ Kxe	-7.738 -3	B ₁₀₀	—	0.0	

表 8.1-13(3) LAYMON-2Aコード B 定数のまとめ（クラス 3 入力値）(3/3)
ふげん(2, 50, 1, 50)ASP HOT

表 8. 1 - 14 LAYMON-2A コード B 定数のまとめ (クラス 35, 38, 43 入力値)

ふげん(2.50, 1.50) ASP HOT

B 定数	関連項目	値	B 定数	関連項目	値
a	Σf	2.404 -3	d	LPF(3-lay)	8.395 -7
b	Σf	1.946 -4	e	LPF(3-lay)	-2.969 -4
c	Σf	-1.257 -5	f	LPF(3-lay)	5.655 -3
d	Σf	-2.049 -5	g	LPF(3-lay)	-3.122 -3
e	Σf	-3.715 -5	a	LPF(4-lay)	
f	Σf	4.966 -7	b	LPF(4-lay)	
g	Σf	-2.941 -5	c	LPF(4-lay)	
h	Σf	5.429 -7	d	LPF(4-lay)	
a	LPF(1-lay)	7.200 -1	e	LPF(4-lay)	
b	LPF(1-lay)	-6.045 -3	f	LPF(4-lay)	
c	LPF(1-lay)	5.417 -5	g	LPF(4-lay)	
d	LPF(1-lay)	-1.469 -6	a	$\delta K_{e,cr}$	0.0
e	LPF(1-lay)	6.424 -4	b	$\delta K_{e,cr}$	0.0
f	LPF(1-lay)	-1.203 -2	c	$\delta K_{e,cr}$	0.0
g	LPF(1-lay)	8.172 -3			
a	LPF(2-lay)	0.0			
b	LPF(2-lay)	0.0			
c	LPF(2-lay)	0.0			
d	LPF(2-lay)	0.0			
e	LPF(2-lay)	0.0			
f	LPF(2-lay)	0.0			
g	LPF(2-lay)	0.0			
a	LPF(3-lay)	1.280			
b	LPF(3-lay)	3.412 -3			
c	LPF(3-lay)	-3.127 -5			

表 8.1 - 15(1) B 定数におけるフィッティング式一覧表

番	項目	フィッティング式 (METS = 20 オプション)	記号の説明	備考
1	$M^2 \left(\frac{D}{\Sigma a} \right)$	$B_1 \cdot (1 + B_2 \cdot U + B_3 \cdot U^2) \cdot (1 + B_{35} \cdot Z) \cdot (1 + B_{36} \cdot E)$	Z : B ¹⁰ 濃度 (ppm) E : 燃焼度 (GWd/t)	
2 K _∞ δK_{CR} δK_E 平衡時 過渡時	K _∞ (K _∞)	$B_6 \cdot (1 + B_9 \cdot U + B_{39} \cdot U^2) \cdot (1 + B_{12} \cdot Z + B_{42} \cdot Z^2) \cdot \frac{(1 + B_{10} \cdot (1 + B_{12} \cdot E) \cdot (U - U_0) + B_{13} \cdot (1 + B_{14} \cdot E) \cdot (U - U_0)^2)}{(1 + B_{16} \cdot E + B_{17} \cdot E^2)}$	U : 冷却材相対密度	$K_{\infty} = K_{\bar{\infty}} (1 + c \delta K_{CR}) \times (1 + \delta K_E) \times (1 + \delta K_{X_e} + \delta K_D) \times (1 + \delta K_{Sm}) (1 + \delta K_M)$
	δK_E	$B_4 \cdot (1 + B_7 \cdot U + B_{10} \cdot U^2 + B_{37} \cdot Z + B_{40} \cdot Z^2)$	$U_0 : B_{10,5}$	
	平衡時	$(B_{20} + B_{21} \cdot \bar{V}E) \cdot E + B_{13} \cdot E^2 + B_{14} \cdot E^3 + B_{15} \cdot E^4 + B_{16} \cdot E^5$	$\bar{V}E : \text{燃焼を通じての平均ポイド率}$	クラス4①番地(EGD)が入力されているとき, E ≥ EGDでは別の式を使用
	過渡時	$\delta K_{X_e} \cdot (B_{71} + B_{72} \cdot E + B_{73} \cdot E^2) \cdot (1 - \frac{X_e^R}{X_e})$ $\frac{X_e^R}{X_e} = P_S \cdot \frac{1 + \alpha}{P_S + \alpha}, \alpha = \frac{\lambda_X}{(\sigma_X \phi)_R} = B_{74} + B_{75} \cdot E + B_{76} \cdot E^2$	X : 定格出力時の X _e 濃度 X : 出力レベル P における X _e 濃度	
	過渡時	$\delta K_{X_e} = (B_{71} + B_{72} \cdot E + B_{73} \cdot E^2) - (B_{77} + B_{78} \cdot E + B_{79} \cdot E^2) X_e(t)$ $X_e(t) = \frac{B_{45} \cdot I(t-1) + T F M P \cdot P_S}{T E M P \cdot P_S + B_{46}} [1 - \exp\{-(-T E M P \cdot P_S + B_{46}) \cdot \Delta t\}]$ $+ X_e(t-1) \cdot \exp\{-(-T E M P \cdot P_S + B_{46}) \cdot \Delta t\}$	$P_S = P_{ijk} \cdot \frac{P_{TH}}{P_R}$ P _{ijk} : セグメント相対出力 P _{TH} : 熱出力 P _R : 定格出力	
	過渡時	$I(t) = \frac{B_{43} \cdot P_S}{B_{45}} \{1 - \exp(-B_{45} \cdot \Delta t)\} + I(t-1) \cdot \exp(-B_{45} \cdot \Delta t)$		
	過渡時	$T E M P (\sigma_X \phi)_R = \frac{B_{45}}{B_{74} + B_{75} \cdot E + B_{76} \cdot E^2}$		
	過渡時	$B_{43} = \gamma_1 \sum_i \phi_i, B_{44} = \gamma_X \sum_i \phi_i, B_{45} = \lambda_I, B_{46} = \lambda_X$		
	δK_D	$B_{17} \cdot \{1 + B_{18} \cdot (1 - B_{19} \cdot U)\} \cdot (1 - P_S)$		
	δK_{Sm}	$B_{54} \cdot E^3 + B_{55} \cdot E^2 + B_{56} \cdot E + B_{57}$		
	δK_M	$\{B_{49} + B_{50} (Z + B_{51} \cdot U) + B_{52} \cdot Z^2 + B_{53} \cdot U^2\} \cdot (1 - \frac{P_{TH}}{P_R})$		

表 8.1 - 15(2) (続き)

No	項目	フィッティング式 (METS = 2.0 オプション)	記号の説明	備考
3	特殊燃料スペクトル補正係数	$F_{K\infty} \cdot (1+B_{62} \cdot V_f) \cdot (1+B_{63} \cdot Z) \cdot (1+B_{64} \cdot E) \cdot (1+B_{65} \cdot \Delta E)$	V_f : ポイド率 Z : B^{10} 濃度 (ppm) E : 燃焼度 (GWd/t) ΔE : (周囲の標準燃料の平均燃焼度) - (特燃の燃焼度)	$K'_{\infty} = F_{K\infty} \cdot K_{\infty}$
		$F_M^2 \cdot (1+B_{67} \cdot V_f) \cdot (1+B_{68} \cdot Z) \cdot (1+B_{69} \cdot E) \cdot (1+B_{70} \cdot \Delta E)$		$M^{2\prime} = F_M^2 \cdot M^2$
4	防振板効果の補正因子	$SPMODK(K_{\infty}) \cdot (1+B_{92} \cdot Z) \cdot (1+B_{94} \cdot U) \cdot (1+B_{95} \cdot E)$	U : 冷却材相対密度	$SPMODK = \frac{K_{co}(\text{防振板あり})}{K_{\infty}(\text{防振板なし})}$
		$SPMODM(M^2) \cdot (1+B_{97} \cdot Z) \cdot (1+B_{98} \cdot U) \cdot (1+B_{99} \cdot E)$		$SPMODM = \frac{M^2(\text{防振板あり})}{M^2(\text{防振板なし})}$
5	ν	$B_{27} + B_{28} \cdot E + B_{29} \cdot E^2$		
6	Σ_t	$\{B_{30} + B_{31} \cdot (E + B_{32} \cdot U) + B_{33} \cdot E^2 + B_{34} \cdot U^2\} (1 + B_{48} \cdot Z)$		クラス 43 ①番地が 1 のときは別のフィッティング式を使用
7	局所出力ピーピング係数	$B_{50} \cdot (1 + B_{66} \cdot E + B_{67} \cdot E^2 + B_{68} \cdot E^3 + B_{69} \cdot E^4 + B_{60} \cdot E^5) \cdot (1 + B_{69} \cdot Z) \cdot (1 + B_{90} \cdot V_f + B_{91} \cdot V_f^2)$		クラス 35 ①番地が 1 のときは別のフィッティング式を使用
8	燃焼度・ポイド燃焼度横算因子	$E_{ijk} = E_{ijk} + B_{22} \cdot \Delta E \cdot P_{ijk}$		
		$V_{ijk} = V_{ijk} + B_{23} \cdot \Delta E \cdot P_{ijk} \cdot \{V_{t,ijk} + B_{26} \cdot (C_{ijk} + 1)\}$	V_t : ポイド横算燃焼度 C_t : 各ノードの制御率	
9	チャンネル流量分布(l)	$WF_{ij} \cdot F_{ij} \{1 + B_{24} \cdot (P_{ij}-1) + B_{25} \cdot (P_{ij}-1)^2\}$		$B_{40} \sim B_{45}$ がすべて 0 のとき使用 F_{ij} はクラス 6 で入力
10		$FC = B_{40} - B_{41} \cdot \frac{P_{TH}}{P_R}$	P_{TH} : 熱出力 P_R : 定格出力	
		$BC = B_{42} - B_{43} \cdot \frac{P_{TH}}{P_R}$		
		$CC = B_{44} - B_{45} \cdot \frac{P_{TH}}{P_R}$		
		$WF_{ij} \cdot FC \{1 + BC(P_{ij}-1) + CC(P_{ij}-1)^2\}$		

表 8.1-16 局所出力ピーキング係数(LPF) のフィッティング式

No.	項目	フィッティング式	記号の説明	備考
35	LPF	$\text{LPF}_{jk} = a_{jk} \cdot (1 + b_{jk} \cdot E + c_{jk} \cdot E^2 + d_{jk} \cdot E^3)$ $\times (1 + e_{jk} \cdot Z) \cdot (1 + f_{jk} \cdot V + g_{jk} \cdot V^2)$ <p>ここで、 j : 燃料タイプ k : 燃料層No。 (k = 1 : 内層, k = 2 : 中間層, k = 3 : 外層)</p>	E : 燃焼度 (GWd/t) Z : 10 B濃度 (PPm) V : ボイド率	Class 35でBCOEF(j,k,1)～BCOEF(j,k,7)定数として入力 ie; BCOEF(j,k,1) = a _{jk} : : : BCOEF(j,k,7) = g _{jk}

表 8.1-17 核分裂断面積(Σf)のフィッティング式

NO.	項目	フィッティング式	記号の説明	備考
43	Σf	$\Sigma f = a + b \cdot U + c \cdot Z$ $+ (d + e \cdot U + f \cdot Z + g \cdot VE) \cdot E$ $+ h \cdot E^2$	E : 燃焼度 (GWd/t) Z : 10 B 濃度 (ppm) U : 冷却材相対密度 VE : 燃焼を通じての 平均ボイド率	クラス43でBEC(1,N)~BEC(8,N) 定数として入力。 N : 燃料タイプ

1	1 1.42019 2.70612 -02	1.19352 -03 1.65880 -03	5.92720 -04
1	2 1.24232	3.52814 -03 1.18389 -03 2.36846 -02	4.53656 -04
1	3 0.84986	8.51644D-03 1.19544D-02 0.0	4.48598D-03
2	1 1.42640 2.69898 -02	1.22092 -03 1.68786 -03	6.08030 -04
2	2 1.24809	3.48346 -03 1.17354 -03 2.38955 -02	4.82090 -04
2	3 0.84653	7.79251 -03 1.01629 -02 0.0	4.18164D-03
3	1 1.42019 2.70023 -02	1.25235 -03 1.65880 -03	5.92720 -04
3	2 1.24232	5.51723 -03 1.18389 -03 2.19955 -02	4.53656 -04
3	3 0.84986	8.51644D-03 1.19544D-02 0.0	4.48598D-03
5	1 1.53907 2.62585D-02	-5.29191D-05 0.0	0.0
5	2 1.23968	6.50558D-06 0.0 1.89000 -02	0.0
5	3 8.47296 -01	1.24943D-04 0.0 0.0	0.0

1 ----- DCA 0.54wt% PuO₂ - UO₂燃料, E=0(MWd/t), ¹⁰B=0ppm, Void=0%

2 ----- DCA 1.2wt% UO₂燃料, E=1(MWd/t), ¹⁰B=0ppm, Void=0%

3 ----- 1の燃料の制御棒入り定数

5 ----- 2の燃料, 重水定数

図 8.1-1 新吸収面積法におけるDCA(Pu-U)2領域炉心のCITATION 3群格子定数

表 8.2-1 従来及び今回の定格飽和時キセノン反応度の解析法、計算結果の比較

	解 析 法			計 算 結 果
	格 子 計 算	炉 心 計 算	キセノン反応度の定義	
従 来 使 用 キセノン反応度	METHUSELAH-II コード使用	左記のMOXとUO ₂ の結 果をインポータンスで合成 (表9.2-3 参照)	(%) $\Delta K = \frac{(Xe\text{なし}) - (Xe\text{有り})}{K_{eff}}$	3.0% ΔK
今 回 使 用 キセノン反応度	WIMS-ATR コード使用	LAYMON-2A コード使用	(%) $\Delta K/K = \frac{(Xe\text{なし}) - (Xe\text{有り})}{(Xe\text{有り})}$	M S I V 試験時 2.785 (%) $\Delta K/K$ 通常停止時 2.772 (%) $\Delta K/K$

表 8.2-2 METHUSELAH-II コードで計算したキセノン及びサマリウム反応度**
 (「ふげん」初装荷炉心BOC)

B^{10} (ppm)	Core Condition	Core Configuration					
		PuO ₂ -UO ₂		UO ₂		2 Region	
7.5	Hot Operation	k _e	(%) Δk _e	k _e	(%) Δk _e	k _e	(%) Δk _e *
	Without (Xe+Sm)	1.0678	0.	1.0669	0.	—	0.
	With Sm, Without Xe	1.0524	-1.54	1.0570	-0.99	—	-1.35
	With Xe Without Sm	1.0400	-2.78	1.0373	-2.96	—	-2.84
	With(Xe+Sm)	1.0254	-4.24	1.0280	-3.89	—	-4.12
	Without (Xe+Sm)	1.1630	0.	1.1793	0.	—	0.
0.0	With Sm, Without Xe	1.1456	-1.74	1.1677	-1.16	—	-1.54
	With Xe, Without Sm	1.1314	-3.16	1.1446	-3.47	—	-3.27
	With(Xe+Sm)	1.1150	-4.80	1.1338	-4.55	—	-4.71

* (Δk_e of PuO₂-UO₂) × 0.657 + (Δk_e of UO₂) × 0.343

** SJ302 73-24新型転換炉原型炉“ふげん”伝熱流動実験データ等に基づく
 炉心特性評価('73年7月)

表 9.2-3 より

$${}^{10}\text{B} \sim 3 \text{ ppm} \text{ での Xe 反応度} ; \frac{2.84 + 3.27}{2} = 3.06\% \Delta k$$

表 8.2-3 「ふげん」実績データに基づくMETHUSELAH-IIコードのキセノン反応度計算誤差

	月日時刻	TPM よみ (%)	出力係数 反応度 (%ΔK/K)	制御棒 反応度 (%ΔK/K)	減速材温度 反応度 (%ΔK/K)	キセノン反応度 (%ΔK/K)		キセノン反応 度計算誤差 (%)
						実績推定値	計算値*	
(1) 「ふげん」 MSIV 試験出力変更時 データ	5/30 16° 00	49.7	+0.299	+0.235 ±0.024	-0.035	-0.499	-0.501	-0.4±4.8
	5/30 17° 00	49.7	"	+0.285 ±0.025	"	-0.549	-0.577	-4.9±5.0
	5/30 18° 00	49.7	"	+0.305 ±0.031	"	-0.569	-0.613	-7.2±5.1
	5/30 19° 00	49.7	"	+0.300 ±0.032	"	-0.564	-0.620	-9.0±5.2
	5/30 20° 00	49.7	"	+0.280 ±0.028	"	-0.544	-0.605	-10.1±4.6
	5/30 21° 00	49.7	"	+0.253 ±0.025	"	-0.517	-0.573	-9.8±4.4
	5/30 22° 00	49.7	"	+0.213 ±0.021	"	-0.477	-0.501	-4.8±4.2
	5/30 23° 00	49.7	"	+0.175 ±0.018	"	-0.439	-0.479	-8.4±3.8
	5/31 0° 00	49.7	"	+0.140 ±0.014	"	-0.404	-0.423	-4.5±3.3
	5/31 1° 00	49.7	"	+0.092 ±0.009	"	-0.356	-0.363	-1.9±2.5
(2) 「ふげん」通常停止時 データ	6/23 5° 00	45.1	+0.329	+0.200 ±0.020	-0.040	-0.479	-0.471	-1.7±4.2
	6/23 30	45.2	"	+0.245 ±0.025	-0.035	-0.529	-0.540	-2.0±4.6
	6/23 6° 00	45.4	"	+0.285 ±0.029	"	-0.569	-0.596	-4.5±4.8
	6/23 30	45.0	"	+0.308 ±0.031	"	-0.592	-0.638	-7.2±4.9
	6/23 7° 00	44.9	"	+0.323 ±0.032	"	-0.607	-0.670	-9.4±4.8
	6/23 30	45.2	"	+0.332 ±0.033	"	-0.616	-0.691	-10.9±4.8
	6/23 8° 00	45.0	"	+0.337 ±0.034	"	-0.621	-0.705	-11.9±4.8
	6/23 30	45.6	"	+0.335 ±0.034	"	-0.619	-0.710	-12.8±4.8
	6/23 9° 00	45.4	"	+0.330 ±0.033	"	-0.614	-0.708	-13.3±4.7
	6/23 30	45.2	"	+0.320 ±0.032	"	-0.604	-0.701	-13.8±4.6
	6/23 10° 00	45.4	"	+0.306 ±0.031	"	-0.590	-0.688	-14.2±4.5
* METHUSELAH-II							正側最大値	+5.9
							負側最大値	-18.7

表 8.2-4 格子計算ベースでのMETHUSELAH-II コードとWIMS-ATRコードの
キセノン反応度(8Kxe)の比較

燃料タイプ \ コード	①METHUSELAH-II	②WIMS-ATR	②/①
Aタイプ MOX	2.749×10^{-2}	2.642×10^{-2}	0.961
Aタイプ UO ₂	3.014×10^{-2}	2.978×10^{-2}	0.988
Bタイプ MOX	2.447×10^{-2}	2.424×10^{-2}	0.991
Bタイプ UO ₂	3.015×10^{-2}	2.958×10^{-2}	0.981

$$* \delta K_{xe} = \frac{K^\infty (Xe\text{なし}) - K^\infty (Xe\text{有り})}{K^\infty (Xe\text{有り})}$$

表 8.2-5 格子計算ベースでのMETHUSELAH-IIコードとWIMS-ATRコードの
ボロン反応度 ($\% \Delta K_\infty / \text{ppm}$) の比較 (定格出力時)

燃 料	B 定数 K_∞	① METHUSELAH-II	② WIMS-ATR	②/①
A タイプ MOX	B_6	1.144	1.156	—
	B_{12}	-1.153 -2	-1.227 -2	—
	B_{42}	1.513 -4	1.756 -4	—
A タイプ UO_2	B_6	1.174	1.167	—
	B_{12}	-1.356 -2	-1.432 -2	—
	B_{42}	1.910 -4	2.210 -4	—
A タイプ MOX	$K_\infty ({}^{10}B=12)$	1.01064	1.01517	—
	$K_\infty ({}^{10}B=13)$	1.00178	1.00609	—
	$\% \Delta K_\infty / \text{ppm}$	1.886	0.908	1.025
A タイプ UO_2	$K_\infty ({}^{10}B=12)$	1.01526	1.00360	—
	$K_\infty ({}^{10}B=13)$	1.00494	0.99334	—
	$\% \Delta K_\infty / \text{ppm}$	1.032	1.026	0.994

$$K_\infty = B_6 (1 + B_{12} \cdot {}^{10}B + B_{42} \cdot ({}^{10}B)^2) \quad (\text{LAYMON-2Aコードの式})$$

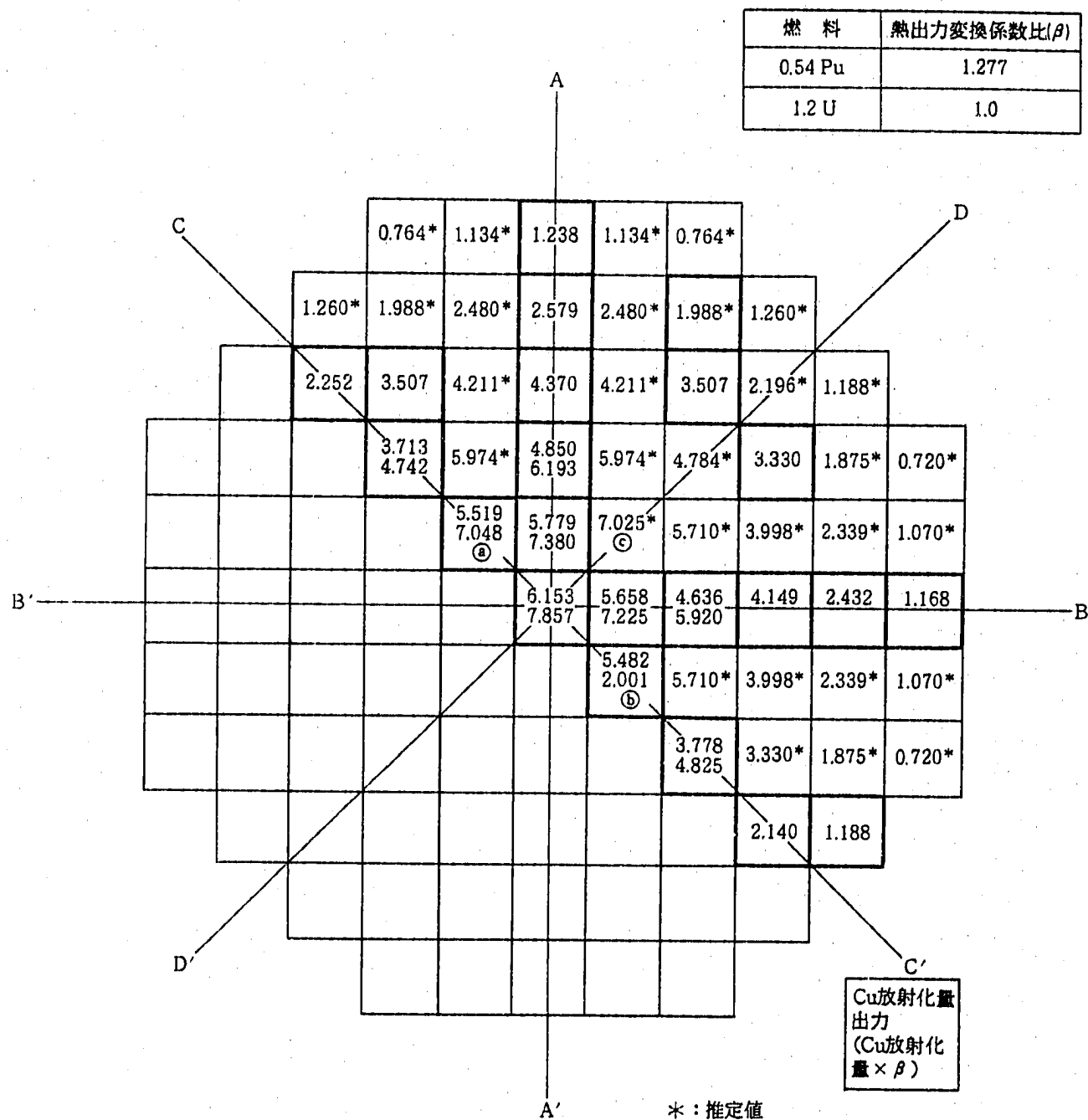
外側領域 : 1.2 wt% UO₂内側領域 : 0.54 wt% PuO₂ - UO₂

図 8.3-1 DCA SUS制御棒無挿入時の実験結果の出力分布

I	J チャンネル	1	2	3	4	5	6
1				134.6	127.5	125.0	
2			125.0	111.8	103.0	100.0	
3		125.0	106.1	90.1	79.1	75.0	
4	134.6	111.8	90.1	70.7	55.9	50.0	
5	127.5	103.1	79.1	55.9	35.4	25.0	
6	125.0	100.0	75.0	50.0	25.0	0.0	

単位 (cm)

図 8.3-2 DCA炉心の炉心中心からのチャンネル位置